

Landesamt für Natur und Umwelt  
des Landes Schleswig-Holstein

**Untersuchung über die Beschaffenheit der schleswig-  
holsteinischen Seen  
Seenprogramm 2002**

**Untersuchung des Phyto- und Zooplanktons  
im Kleinen Plöner See und im Lanker See  
(Schleswig-Holstein)**

**Abschlußbericht 2003**  
von  
Berit Speth

**Auftragnehmer:**

Speth & Speth GbR,  
Rothenhörn 9,  
24647 Wasbek

## Inhalt:

<b>1 Aufgabenstellung</b>	<b>1</b>
<b>2 Material und Methoden</b>	<b>1</b>
2.1 Phytoplankton	1
2.2 Zooplankton	2
<b>3 Ergebnisse und Diskussion</b>	<b>4</b>
3.1 Phytoplankton	4
3.1.1 Artenzusammensetzung	4
3.1.2 Biovolumen-Anteile	5
3.1.3 Jahreszeitliche Entwicklung der Phytoplanktongruppen	6
3.2 Zooplankton	15
3.2.1 Artenzusammensetzung	15
3.2.2 Biomasse-Anteile	16
3.2.3 Jahreszeitliche Entwicklung der Zooplanktongruppen	18
<b>5 Zusammenfassung</b>	<b>26</b>
<b>6 Literatur</b>	<b>28</b>

## Anhang:

Bildtafeln

Tabellen: Tabelle I - IX

## 1 Aufgabenstellung

Anhand qualitativer und quantitativer Phyto- und Zooplanktonproben soll die Planktonbiozönose des Kleinen Plöner Sees und des Lanker Sees charakterisiert werden.

Artenzusammensetzung, Dominanzverhältnisse und die jahreszeitliche Entwicklung werden dargestellt und unter trophischen Aspekten diskutiert. Aus dem komplexen Wirkungsgefüge der im limnischen Ökosystem bestehenden Interaktionen werden ausgewählte, bedeutsame Aspekte erläutert. Der Zeigerwert einzelner Gruppen oder spezieller Taxa wird zur ökologischen Charakterisierung der Planktonbiozönose herangezogen.

## 2 Material und Methoden

Der Kleine Plöner See hat eine Fläche von 239 ha, eine maximale Tiefe von 31 m und eine mittlere Tiefe von 9 m. Er zählt zum Seetyp des geschichteten Hartwasserversees des Tieflandes mit relativ großem Einzugsgebiet (Typ 10). Der Lanker See besitzt eine Fläche von 380 ha, eine maximale Tiefe von 20,5 m und eine mittlere Tiefe von 3,6 m. Beim Lanker See handelt es sich um einen ungeschichteten Hartwasserversee des Tieflandes mit relativ großem Einzugsgebiet (Typ 11). Beide Seen werden von der Schwentine durchflossen. Der Kleine Plöner See wurde über der tiefsten Stelle, der Lanker See über der tiefsten Stelle und im flachen südlichen Becken im Jahresverlauf 11mal beprobt. Pro Probenahme wurden qualitative und quantitative Phyto- und Zooplanktonproben genommen.

### 2.1 Phytoplankton

Es standen 33 mit Formalin fixierte Netzplanktonproben (10 µm) aus 0-5 m und 32\* mit Lugolscher Lösung fixierte Wasserproben aus 1 m Tiefe zur Verfügung.

Die Bestimmung der Organismen erfolgte sowohl anhand der Netzplankton- als auch anhand der Wasserproben unter Verwendung folgender Literatur: BOURRELLY (1966, 1968, 1970), ETTL (1983), ETTL & GÄRTNER (1988), HUBER-PESTALOZZI (1938, 1950,

\* Die Septemberprobe der tiefsten Stelle des Lankers Sees wurde aufgrund unzureichender Fixierung verworfen.

1955), KOMÁREK (1999), KOMÁREK & ANAGNOSTIDIS (1998), KOMÁREK & FOTT (1983), KRAMMER & LANGE-BERTALOT (1991), LENZENWEGER (1997), NYGAARD (1945), POPOVSKY & PFIESTER 1990, STARMACH (1985).

Die quantitative Auswertung erfolgte anhand der Wasserproben nach der Sedimentationsmethode nach UTERMÖHL (1958). Ein Aliquot der Wasserprobe (2,973, 10 ml oder 50 ml) wurde in Sedimentationskammern überführt und nach Absinken der Organismen im umgekehrten Mikroskop (LEITZ DM IL) im Phasenkontrast ausgezählt. Die nach Anzahl oder Biovolumen wichtigsten Arten wurden ausgezählt. Nach WILLÉN (1976) werden, indem eine begrenzte Anzahl von Arten gezählt wird, mindestens 90% des Phytoplankton-Volumens erfaßt.

Autotropes Picoplankton (APP: 0,2-2 µm) wurde als Gruppe nicht berücksichtigt, da diese Fraktion des Planktons durch die Utermöhl-Methode nicht quantitativ erfaßt wird (WEISSE & KENTER 1991). Eine zuverlässige Quantifizierung des APP's ist nur durch epifluoreszenz-mikroskopische Auszählung nach Filtration auf 0,2 µm Filtern möglich (z.B. SØNDERGAARD 1991, WEISSE & KENTER 1991). Kolonienbildende Cyanophyceae, deren Einzelzellen in die Größenordnung des APP's fallen, zählen aufgrund ihrer Koloniemorphologie bzw. -größe nicht zum APP und sind im Umkehrmikroskop quantifizierbar (STOCKNER 1991).

In der Regel wurden mindestens 100 Zellen bzw. Kolonien der dominanten Arten bzw. Gruppen (z.B. *Cryptomonas* spp.) gezählt. Von weniger zahlreichen Arten wurden mindestens 60 Individuen oder der Kammerboden ausgezählt. Der Fehler liegt bei  $\pm$  20% bei 100 bzw.  $\pm$  26% bei 60 gezählten Individuen.

Für die Berechnung der Biovolumina wurden mindestens 20 Zellen der dominanten Arten vermessen. Zur Berechnung der Biovolumina wurden die geometrischen Grundformen zugrunde gelegt (vgl. WILLÉN 1976, ROTT 1981, DEISINGER 1984 LANDMESSER 1993, HILLEBRAND et al. 1999, POHLMANN & FRIEDRICH 2001).

## 2.2 Zooplankton

Es standen 33 mit Formalin fixierte Netzplanktonproben (55 µm) aus 0-10 m zur Verfügung; weiterhin 33 quantitative Proben, wobei das Zooplankton aus jeweils 2,5 l aus 2 bzw. 4 verschiedenen Wassertiefen durch ein 55 µm Netz aufkonzentriert,

formalinfixiert und auf 100 ml aufgefüllt wurde. Aus den quantitativen Proben wurden mit der Stempelpipette entnommene Aliquots oder die gesamte Probe in einer Mäander-Kammer unter dem Binokular ausgezählt. Von den quantitativ bedeutenden Taxa wurden je nach Häufigkeit der Tiere wurden mindestens 100 oder 60 Tiere gezählt. Die wichtigsten Zooplankton-Arten wurden in ausgewählten Proben vermessen. Für weniger häufige Taxa und solche, die in den fixierten Proben stark kontrahiert oder deformiert waren, wurde im wesentlichen auf folgende publizierte Daten (Volumen, Frischgewicht, Trockengewicht): BOTTRELL et al. (1976), McCUALEY (1984), SCHWOERBEL (1986) bzw. auf eigene andere Untersuchungen aus schleswig-holsteinischen Gewässern zurückgegriffen (SPETH 1999, 2001). Die Körpervolumina der Rotatorien wurden nach den von RUTTNER-KOLISKO (1977) vorgeschlagenen Formeln berechnet und unter Annahme einer spezifischen Dichte von 1 und einem Trockengewicht-Frischgewicht-Verhältnis von 0,1 (bzw. 0,039 für *Asplanchna*) in Trockengewicht umgerechnet (BOTTRELL et al. 1976). Die Körpergewichte der Crustaceen wurden nach publizierten Längen-Gewichts-Regressionen berechnet (BOTTRELL et al. 1976, McCUALEY 1984).

Die Bestimmung der Zooplankton-Taxa erfolgte am Umkehrmikroskop (LEITZ DM IL) unter Verwendung folgender Literatur: EINSLE 1993, FLÖßNER 1972, LIEDER 1996, PONTIN 1978, RUTTNER-KOLISKO 1972.

Die *Daphnia*-Arten *D. galeata*, *D. hyalina* und *D. cucullata* treten in norddeutschen Seen häufig nebeneinander auf und bilden untereinander Hybride, die sich morphologisch nur schwer unterscheiden lassen (WOLF 1987). Besonders juvenile Tiere und Übergangsformen sind schwer zuzuordnen (MUMM 1996). Die phänotypische Plastizität der Hybriden ist so groß, daß Hybride z. B. auch wieder reinen Art-Habitus aufweisen können (Dr. H. Stibor, Institut für Meereskunde, Kiel, pers. Mitt.). WOLF (1987) stellt fest, daß sich *D. cucullata* und Cucullata-Galeata-Hybriden morphologisch sehr ähnlich sind.

Tiere der Arten *D. galeata*, *D. hyalina*, *D. cucullata* und ihre Hybriden werden nach ihrem "Habitus" zugeordnet, nicht zuordbare Tiere werden dem Sammel-Taxon *Daphnia „longispina“*-Komplex zugeordnet.

### **3 Ergebnisse und Diskussion**

#### **3.1 Phytoplankton**

##### **3.1.1 Artenzusammensetzung**

Im Kleinen Plöner See wurden 87 verschiedene Phytoplankton-Taxa im Untersuchungszeitraum Januar-Dezember 2002 festgestellt (Tab. I). Diese verteilen sich wie folgt auf die taxonomischen Gruppen: Cyanophyceae: 21, Cryptophyceae: 3, Bacillariophyceae: 16, Chlorophyceae: 31, Conjugatophyceae: 5, Chrysophyceae: 2, Haptophyceae: 1, Dinophyceae: 8, sowie nicht determinierte Flagellaten (<10 µm).

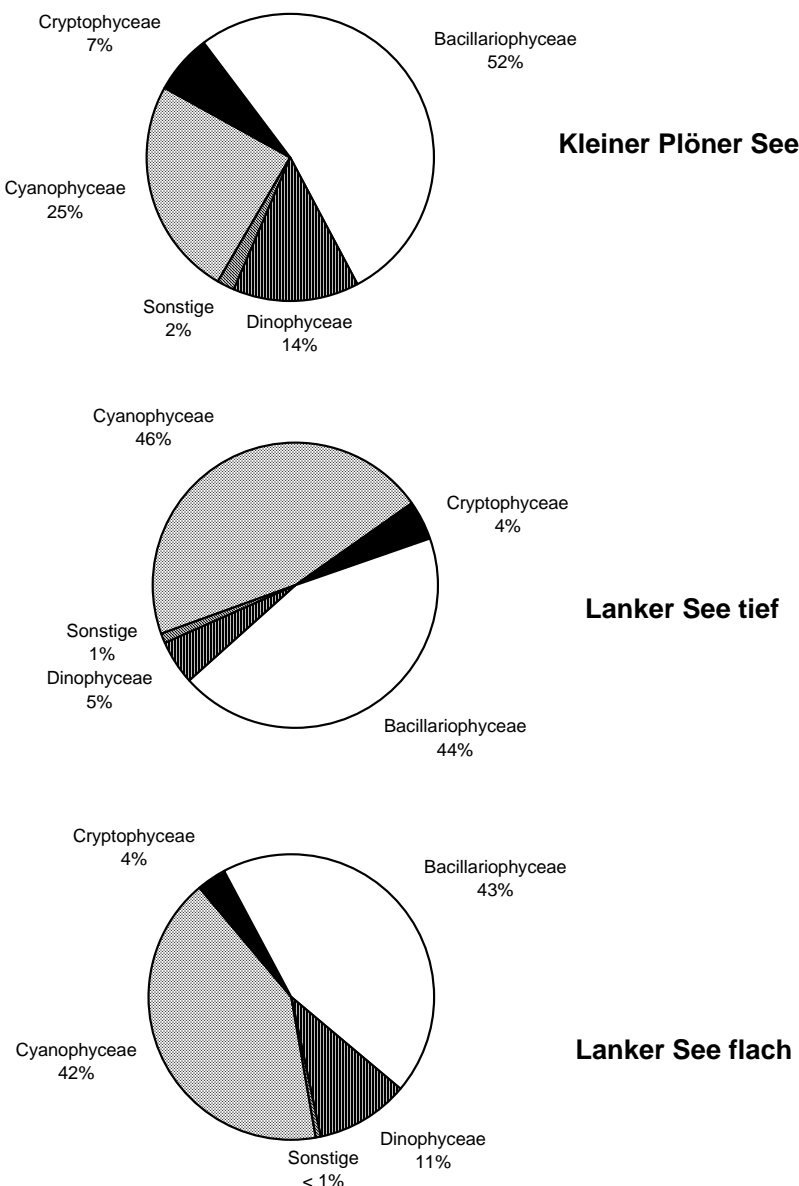
Im Lanker See wurden 93 verschiedene Phytoplankton-Taxa im Untersuchungszeitraum Januar-November 2002 festgestellt (Tab. II). Diese verteilen sich wie folgt auf die taxonomischen Gruppen: Cyanophyceae: 22, Cryptophyceae: 3, Bacillariophyceae: 18, Euglenophyceae: 1, Chlorophyceae: 29, Conjugatophyceae: 5, Chrysophyceae: 2, Haptophyceae: 1, Dinophyceae: 12, sowie nicht determinierte Flagellaten (<10 µm).

Das Auftreten der Arten im Untersuchungszeitraum, sowie die Abundanzen und Biovolumina der wichtigsten Arten sind in Tab. III-V aufgeführt.

Unterschiede in der Artenzusammensetzung betrafen in der Regel Arten der Begleitflora, die keine quantitative Bedeutung erlangten. Zum Beispiel die im Lanker See gefundenen Taxa *Anabaena compacta*, *Aulacoseira granulata* var. *angustissima*, *Skeletonema* sp., die höher eutrophierte Verhältnisse indizieren, wurden im Kleinen Plöner See nicht beobachtet. Ebenso waren im flacheren Lanker See Dinoflagellaten artenreicher vertreten. Viele Dinoflagellaten-Arten scheinen den litoralen Bereich zu präferieren (HÖLL 1928).

### 3.1.2 Biovolumen-Anteile

Kieselalgen (Bacillariophyceae) stellten im Jahresmittel im Kleinen Plöner See mit 52% den höchsten Anteil am Phytoplankton-Biovolumen (Abb. 1). Blaualgen (Cyanophyceae) stellten den zweithöchsten Anteil (25%) gefolgt von Dinoflagellaten (Dinophyceae, 14%). Im Lanker See waren in beiden Seeteilen Kieselalgen und Blaualgen im Jahresmittel etwa gleichbedeutend bei einem Biovolumen-Anteil von 44% bzw. 46% an der tiefsten Stelle und 43% bzw. 42% im flachen Becken. Im flachen Becken waren Dinoflagellaten im Jahresmittel mit einem Anteil von 11% deutlich stärker vertreten als an der tiefsten Stelle (5%).

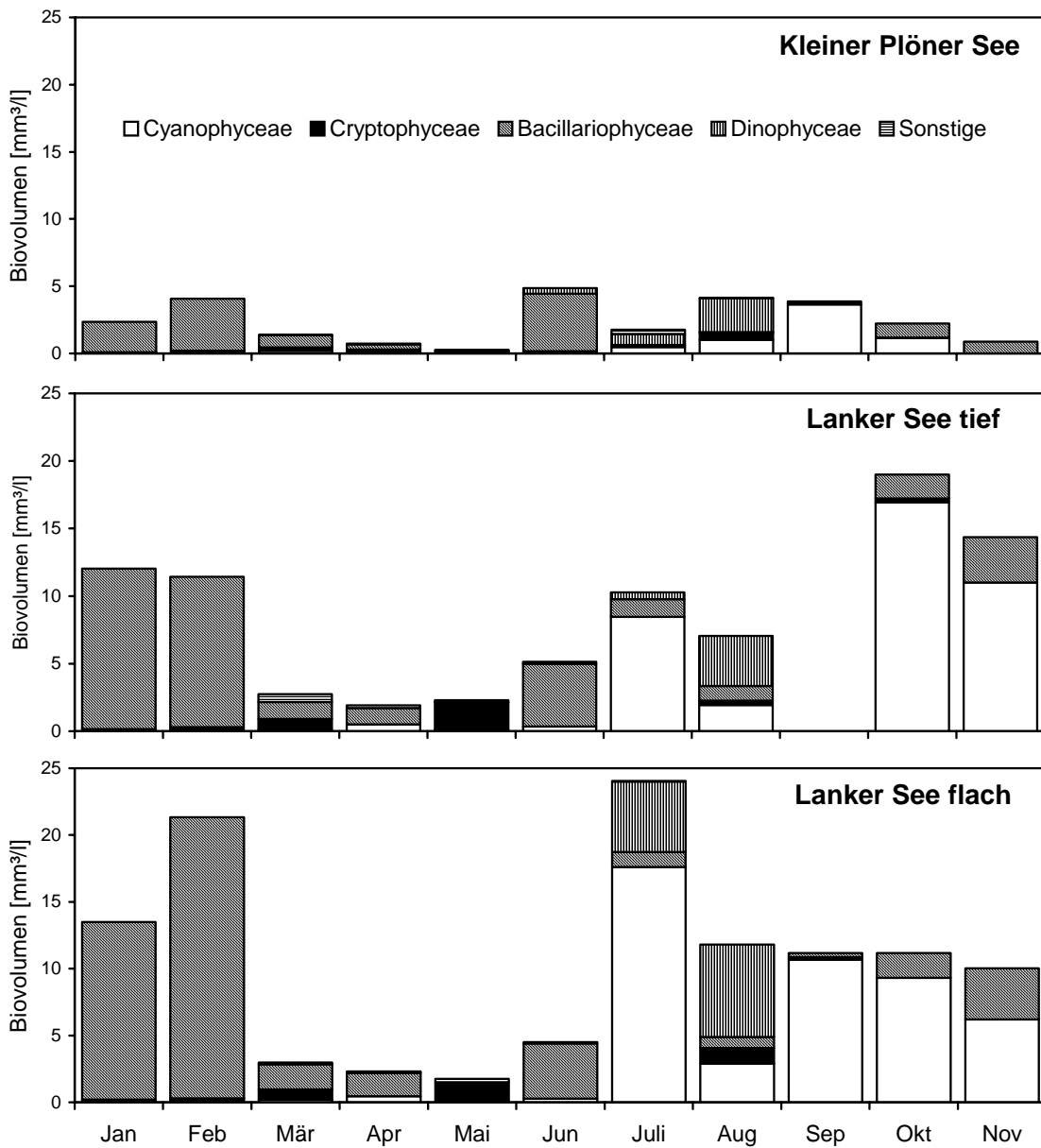


**Abb. 1:** Biovolumenanteile wichtiger Phytoplanktongruppen im Kleinen Plöner See und den beiden Becken des Lanker Sees im Zeitraum Januar – November/Dezember 2002.

### 3.1.3 Jahreszeitliche Entwicklung der Phytoplanktongruppen

Der jahreszeitliche Verlauf der Biovolumina der Phytoplanktongruppen ist in Abb. 2 dargestellt.

**Kleiner Plöner See:** Im Winter (Januar, Februar) dominierten zentrale Kieselalgen ( $\geq 95\%$ ), v.a. die kettenbildende *Aulacoseira islandica*, die während des ersten Biovolumen-Maximums im Februar ( $4,1 \text{ mm}^3/\text{l}$ ) einen Anteil von 68% ausmachte. Bis zum Mai nahm das Gesamt-Biovolumen kontinuierlich ab bei gleichzeitig abnehmender Dominanz von Kieselalgen. Innerhalb der Kieselalgen trat eine Verschiebung von *A. islandica* zu solitären zentralen Kieselalgen (z.B. *Stephanodiscus*) auf. Zur Zeit des Biovolumen-Minimums im Mai ( $0,3 \text{ mm}^3/\text{l}$ ) stellten Kryptoplankter (Cryptophyceae) den Hauptanteil von 53%. Grünalgen (Chlorophyceae, v.a. *Ankyra*) erreichten einen Anteil von 25%, und der Dinoflagellat *Ceratium hirundinella* stellte weitere 19%. Im Juni war ein erstes sommerliches Biovolumen-Maximum von  $4,9 \text{ mm}^3/\text{l}$  ausgebildet, das zu 81% von der koloniebildenden Kieselalge *Fragilaria crotonensis* gebildet wurde, die von der kettenbildenden Kieselalge *Stephanodiscus binderanus* (6%) begleitet wurde. Im Juli dominierte bei deutlich niedrigerem Gesamt-Biovolumen der Dinoflagellat *Peridiniopsis polonicum* (45%), der im August sogar 61% des zweiten sommerlichen Maximums ( $4,1 \text{ mm}^3/\text{l}$ ) ausmachte. In beiden Monaten waren auch Blaualgen bereits relativ stark vertreten, wobei im Juli *Anabaena*-Arten, im August daneben auch *Aphanizomenon* und *Limnothrix* von Bedeutung waren. Das nur wenig niedrigere Gesamt-Biovolumen im September wurde dagegen zu 95% von Blaualgen bestritten, von denen *Limnothrix* spp. dominierten (81%). *Limnothrix* spp. (z.B. *L. redekei*) waren bei zurückgegangenem Biovolumen auch im Oktober die vorherrschende Blaualgen (46%). Insgesamt betrug die Dominanz der Blaualgen "nur" noch 52%, während Kieselalgen, v.a. solitäre zentrale Vertreter, im Oktober wieder einen Biovolumen-Anteil von 47% erreichten. Im Dezember war das Gesamt-Biovolumen stark zurückgegangen und wurde fast ausschließlich durch zentrale Kieselalgen ( $> 99\%$ , v.a. *A. islandica*) gebildet.



**Abb. 2:** Jahreszeitlicher Verlauf der Biovolumina einzelner Phytoplanktongruppen im Kleinen Plöner See und den beiden Becken des Lanker Sees im Zeitraum Januar – November/Dezember 2002.

Die saisonale Abfolge des Planktons im Kleinen Plöner See kann durch das PEG-Modell für einen eutrophen See erklärt werden (SOMMER et al. 1986). Im Winter und im Frühjahr dominierten Kieselalgen die Phytoplankton-Biozönose. Nach anfänglicher Dominanz der großen kettenbildenden *A. islandica* entwickelten sich im April verstärkt kleinere zentrale Kieselalgen und kleine Flagellaten wie Kryptoplankter und *Chrysochromulina*, die dem herbivoren Zooplankton als Nahrung dienten.

Entsprechend nahm die Biomasse des Zooplanktons im April deutlich zu - wobei hier zunächst kleine Zooplankter mit kurzen Generationszeiten wie Protozoen und Rädertiere starke Populationen aufbauten - und erreichte im Mai ein Maximum, welches v.a. von größeren langsam wachsenden Wasserflöhen (*Daphnia* spp.) und calanoiden Ruderfußkrebsen (*Eudiaptomus* spp.) gebildet wurde. Das zeitgleich beobachtete Minimum im Phytoplanktonbiovolumen (Klarwasserstadium) ist nach dem Modell durch den starken Fraßdruck des herbivoren Zooplanktons zu erklären. Nach der Theorie führt die wieder erhöhte Nährstoffverfügbarkeit nach dem Klarwasserstadium zu einem erneuten Anstieg des Phytoplanktons, wobei idealerweise zunächst eine Assoziation von Kryptoplanktern und kolonialen Grünalgen dominiert. Im Kleinen Plöner See herrschten Kryptoplankter während des erfaßten Minimums vor in Begleitung der einzelligen Grünalgen *Ankyra* spp. und nur geringen Anteilen kolonialer Vertreter. Die schnell wachsende *Ankyra* hat einen hohen Lichtbedarf (REYNOLDS 1988), ist nicht fraßresistent (REYNOLDS et al. 1982) und erreicht in der Regel Entwicklungsmaxima kurz nach dem Klarwasserstadium (z.B. SOMMER 1993). Die starke Entwicklung der koloniebildenden Kieselalge *Fragilaria crotonensis* im Juni ist vermutlich auf ein ansteigendes Si:P-Verhältnis zurückzuführen, was z.B. der Fall sein kann, wenn der während des Klarwasserstadiums freigesetzte Phosphor zunehmend aufgezehrt wird (SOMMER 1987). Ebenfalls in guter Übereinstimmung mit dem PEG-Modell ist die nachfolgende Entwicklung zu einer von Blaualgen und Dinoflagellaten dominierten sommerlichen Phytoplanktongemeinschaft. Eine solche Verschiebung folgt oft einer Aufzehrung der Silizium-Vorräte (SOMMER 1987, SOMMER et al. 1986).

Die im Hinblick auf ihre Biomasse im Sommer dominanten Formen (z.B. *Fragilaria crotonensis*, *Dinobryon* spp., *Anabaena spiroides/crassa*, und vermutlich auch *A. circinalis*) sind schlecht freßbar bis "fast unfreßbar" (SOMMER 1987). Auch für *Peridiniopsis polonicum* kann aufgrund seiner Größe eine relativ schlechte Freßbarkeit angenommen werden. Die im PEG-Modell postulierte Verschiebung von großen herbivoren Crustaceen (große *Daphnia* spp. und *Eudiaptomus* spp.) zu kleineren Arten (*Chydorus sphaericus*, *Daphnia cucullata*, *Bosmina coregoni*) und Rotatorien, welche in ihrem Freßvorgang weniger anfällig gegen Störungen durch schwer freßbare Algen sind, ist auch im Kleinen Plöner See zu beobachten. Kleine, gut freßbare Phytoplankter (Cryptophyceen, *Chrysotrichulina parva*), die z.T. in beachtlichen Abundanzen (aber geringen Biomasseanteilen) auftraten, standen

neben Bakterien (nicht untersucht) diesen Herbivoren als Nahrung zur Verfügung. Ab Oktober wurde das Phytoplankton im Kleinen Plöner See wieder zunehmend durch Kieselalgen dominiert.

Das Diatomeen-Maximum im Februar wurde v.a. durch die kettenbildende *Aulacoseira islandica* gebildet. Nach der von KILHAM et al. (1986) aufgestellten Hypothese sind *Aulacoseira* spp. an hohe Nährstoffverfügbarkeit und Wasserdurchmischung (Turbulenz) angepaßt, wobei letzteres häufig mit Schwachlichtbedingungen einhergeht. Solche Bedingungen werden durch ein hohes Si : Licht-Verhältnis charakterisiert. So fanden MAKULLA & SOMMER (1993) im Kellersee und im Behlersee unter sehr hohen Si : Licht-Verhältnissen eine starke Dominanz von *A. islandica* in der Frühjahrsblüte. In beiden Seen kam es zu einem starken Rückgang im Biovolumen - noch vor dem Einsetzen der Temperaturschichtung - mit oder als Folge einer Abnahme des Si : Licht-Verhältnisses.

*Stephanodiscus binderanus*, eine in ökologischer Hinsicht wenig bekannte Art, scheint nach Angaben von KLEE & STEINBERG (1987), KRAMMER & LANGE-BERTALOT (1993) stark eutrophe Gewässer zu bevorzugen. *S. binderanus* zählte im Kleinen Plöner See nicht zu den dominanten Arten.

Blaualgen waren über eine lange Phase, die sich von Ende Juli bis Ende Oktober erstreckt dominant (24-95%). *Limnothrix* spp. war das quantitativ wichtigste Taxon mit Schwerpunkt im Herbst. Die Gattung gilt als schwachlichtadaptiert und durchmischungstolerant. Sie charakterisiert typischerweise die Biozönose in flachen, durchmischten, hypertrophen Gewässern (REYNOLDS 1984, RÜCKER et al. 1997, KÖHLER & HOEG 2000). Insbesondere unter Bedingungen, bei denen die Organismen häufig bzw. regelmäßig aus der euphotischen Zone ausgetragen werden, hat *Limnothrix* einen Selektionsvorteil (z.B. REYNOLDS 1994). In geschichteten Seen zeigt z.B. *Limnothrix redekei* ihre maximalen Wachstumsphasen im Frühjahr und im Herbst. Mit abnehmender Einstrahlung und abnehmender Stabilität der Schichtung im September kann ein erneutes epilimnisches Wachstum von *Limnothrix* stattfinden (MEFFERT 1989). Vor der starken Entwicklung von *Limnothrix* waren im Kleinen Plöner See nostocale Blaualgen (v.a. *Anabaena*) dominant. WIEDNER et al. ( 2002) beobachteten eine zunehmende Dominanz von Oscillatoriales (*Limnothrix*, *Planktothrix*) gegenüber Nostocales mit abnehmender Intensität der photosynthetisch

aktiven Strahlung (PAR) im Spätsommer. Dabei trugen die Blaualgen selbst durch ihr Wachstum zu ihrer Beschattung bei.

**Tab. 1:** Mittlere Biovolumina des Phytoplanktons im Kleinen Plöner See und im Lanker See 2002.

	<b>Biovolumen Jahresmittel</b>		
	Kleiner Plöner See [mm <sup>3</sup> /l]	Lanker See tiefste Stelle [mm <sup>3</sup> /l]	Lanker See flaches Becken [mm <sup>3</sup> /l]
Cyanophyceae	0,60	3,94	4,33
Cryptophyceae	0,16	0,38	0,37
Bacillariophyceae	1,26	3,77	4,55
Dinophyceae	0,34	0,44	1,12
Sonstige	0,05	0,09	0,05
<b>Summe</b>	<b>2,41</b>	<b>8,62</b>	<b>10,42</b>
	<b>Biovolumen April-September</b>		
Cyanophyceae	0,77	1,92	4,59
Cryptophyceae	0,22	0,52	0,51
Bacillariophyceae	0,83	1,59	1,43
Dinophyceae	0,54	0,73	1,75
Sonstige	0,07	0,15	0,08
<b>Summe</b>	<b>2,43</b>	<b>4,90</b>	<b>8,36</b>
<b>Degradationsstufe</b>	<b>gut</b>	<b>gut</b>	<b>moderat</b>

Der Jahresmittelwert und der Mittelwert über die Vegetationsperiode des Gesamt-Biovolumens ist im Kleinen Plöner See deutlich geringer als im Lanker See (Tab. 1). Nach den von MISCHKE et al. (eingereicht) vorgeschlagenen Grenzbereichen der Degradationsstufen ist der Kleine Plöner See als "gut" einzustufen.

Im Vergleich zu früheren Untersuchungen aus dem Jahr 1984 (LAWAKÜ unveröffentl.), die anhand von Netzplankton durchgeführt wurden und somit nicht direkt vergleichbar sind, bestehen hinsichtlich der in bezug auf ihre Häufigkeit wichtigen Taxa einige Unterschiede. So war 1984 die sommerliche Phytoplanktonbiozönose besonders durch die Blaualgen *Microcystis aeruginosa* und *M. wesenbergii* geprägt, und auch *Ceratium hirundinella* war von großer Bedeutung. *Limnothrix* wurde hingegen nicht beobachtet und *Peridiniopsis polonicum* spielte nur eine geringe

Rolle. Hinsichtlich der wichtigsten Kieselalgen bestand größere Übereinstimmung: *A. islandica* und zentrale Vertreter (*Stephanodiscus* spp.) dominierten im Frühjahr und im Herbst, *S. binderanus* und *Fragilaria crotonensis* herrschten zeitweilig im Sommer vor. Ein starkes Auftreten von *Nitzschia* sp. wie im Herbst 1984 wurde dagegen in dieser Untersuchung nicht beobachtet. Die starke Dominanz von *Limnothrix* in der vorliegenden Untersuchung kann durch eine erhöhte Trübung z.B. infolge höherer Produktivität bewirkt worden sein und somit auf eine erhöhte Trophie gegenüber 1984 hindeuten. Da aber keine Daten über Biovolumina aus dem Jahr 1984 vorliegen, ist eine Beurteilung erschwert. Es sei in diesem Zusammenhang angemerkt, daß der oberhalb gelegene Große Plöner See, dessen Phytoplanktonbesiedlung seit 1998 jedes Jahr untersucht wird, im Jahr 2002 ebenfalls eine ungewöhnlich starke Dominanz von *Limnothrix* im Spätsommer und Herbst aufwies. Es stellt sich die Frage, ob die 2002 beobachtete Dominanz der Oscillatoriales im Spätsommer/Herbst im Kleinen Plöner See und im Lanker See (s.u.) ein regelmäßig auftretendes Charakteristikum ist oder ob es sich um eine besondere Situation handelt.

Dominanzverhältnisse und Biovolumina des Phytoplanktons weisen den Kleinen Plöner See als eutrophes, geschichtetes Gewässer aus. Das mittlere Biovolumen über die Vegetationsperiode liegt im Bereich der Werte, die für die - seltener beprobten - Schwentineseen Behler See und Dieksee, welche demselben Seetyp angehören, ermittelt wurden (SPETH 2002). Die relativ lang anhaltene Phase, in der Blaualgen mäßig oder stark dominant waren, und die Dominanz der oscillatorialen Gattung *Limnothrix* im Herbst deuten auf eine Tendenz zu höher eutrophierten Verhältnissen hin.

**Lanker See:** Im Januar und im Februar war in beiden Seeteilen eine starke Kieselalgen-Entwicklung zu verzeichnen, die in erster Linie durch *A. islandica* gebildet wurde. Ihr Biovolumen-Anteil lag im Januar bei > 90% und 75-80% im Februar. Dabei waren die Gesamt-Biovolumina im flachen Becken höher als an der tiefsten Stelle (Januar-Maximum 12,0 mm<sup>3</sup>/l) mit einem deutlichen Maximum im Februar (21,3 mm<sup>3</sup>/l). Im März, April und Mai war das Biovolumen deutlich erniedrigt (< 3 mm<sup>3</sup>/l) mit einem Minimum im flachen Becken im Mai (1,8 mm<sup>3</sup>/l). An der tiefsten Stelle war das Biovolumen im April mit 1,9 mm<sup>3</sup>/l etwas niedriger als im Mai. Das

Phytoplankton wurde im März und im April in beiden Seeteilen durch Kieselalgen dominiert, wobei - besonders an der tiefsten Stelle - neben solitären zentralen Vertretern zunehmend pennate Kieselalgen (*Asterionella formosa*, *Fragilaria crotonensis*) an Bedeutung gewinnen. Im Mai dominierten in beiden Seeteilen Kryptoplankter (> 80%), die von kokkalen Grünalgen (6% bzw. 15%, v.a. *Ankyra*) begleitet wurden. Die erneute Entwicklung von Kieselalgen, v.a. von *Aulacoseira granulata*, bewirkte einen deutlichen Anstieg des Biovolumens im Juni. Im flachen Seeteil war *Stephanodiscus binderanus* ein wichtiger Begleiter. Das sommerliche Maximum im Juli wurde in beiden Seeteilen durch nostocale Blaualgen (82% bzw. 73%, v.a. *Anabaena affinis*) bestimmt. Dabei war das Maximum im flachen Seeteil mit 24,0 mm<sup>3</sup>/l mehr als doppelt so hoch wie an der tiefsten Stelle (10,3 mm<sup>3</sup>/l). Im flachen Seeteil waren weiterhin Dinoflagellaten (22%, v.a. *Peridiniopsis polonicum*), an der tiefsten Stelle die Kieselalgen *A. granulata* und kettenbildende *Stephanodiscus* spp., die zusammen 13% des Biovolumens ausmachten, von Bedeutung. Im August war in beiden Seeteilen ein erniedrigtes, aber immer noch hohes Biovolumen ausgebildet, das zu 53% bzw. 58% von *Peridiniopsis polonicum* gebildet wurde. Weiterhin stellten diverse Blaualgen einen Anteil von 28% bzw. 24% am Biovolumen, wobei nostocale Vertreter überwogen (z.B. *Anabaena spiroides* var. *tumida*, *A. circinalis*). An der tiefsten Stelle stieg das Biovolumen im Oktober\* zu einem Herbst-Maximum (19,0 mm<sup>3</sup>/l) an, welches zu 89% von Blaualgen (v.a. *Limnothrix* spp., *Planktothrix cf. agardhii*) gebildet wurde. Im November ging das Gesamt-Biovolumen, das weiterhin von *Limnothrix* spp. (73%) dominiert wurde, in diesem Seeteil nur leicht zurück. Zentrale Kieselalgen nahmen wieder an Bedeutung zu (23% des Biovolumens).

Dagegen blieb im flachen Seeteil von September bis November das Biovolumen mit 11,2-10,0 mm<sup>3</sup>/l in etwa auf dem Niveau des August-Wertes. Dabei dominierten in dieser Phase mit leicht abnehmender Tendenz Blaualgen (95-62%, v.a. *Limnothrix* spp.), während der Anteil der Kieselalgen, überwiegend zentrale Vertreter, bis zum November von 3% auf 38% zunahm.

\* Die Septemberprobe der tiefsten Stelle wurde aufgrund unzureichender Fixierung verworfen.

Auch im durchschnittlich flacheren Lanker See kann die saisonale Abfolge des Planktons durch das PEG-Modell für einen eutrophen See erklärt werden (SOMMER et al. 1986). Dabei entspricht die Abfolge der dominanten Taxa bzw. Gruppen im

wesentlichen den oben geschilderten Verhältnissen im Kleinen Plöner See. In folgenden Punkten traten Unterschiede in der saisonalen Sukzession auf:

- 1) *Aulacoseira granulata* war die dominante Kieselalge im Sommer (Juni). *Aulacoseira* spp. sind an hohe Nährstoffverfügbarkeit und Wasserdurchmischung (Turbulenz) angepaßt (KILHAM et al. 1986), wobei letzteres häufig mit Schwachlichtbedingungen einhergeht. Solche Bedingungen werden durch ein hohes Si : Licht-Verhältnis charakterisiert. *A. granulata* kommt bevorzugt in eutrophen Gewässern vor.
  - 2) Auch *Stephanodiscus binderanus* zählte im flacheren Seeteil mit einem Biovolumen-Anteil von 11% im Juni mit zu den dominanten Arten. *Stephanodiscus binderanus*, eine in ökologischer Hinsicht wenig bekannte Art, scheint nach Angaben von KLEE & STEINBERG (1987), KRAMMER & LANGE-BERTALOT (1993) stark eutrophe Gewässer zu bevorzugen.
  - 3) *Anabaena affinis* war die quantitativ wichtigste nostocale Blaualge im Lanker See. Diese Art tritt in mesotrophen bis eutrophen stehenden Gewässern auf und bildet mitunter eine schwache "Wasserblüte" (KOMÁREK 1999). KOMÁREK (1958) fand sie auch häufig in Teichen und in einem stark eutrophisierten Flußarm.
- Blaualgen waren über eine lange Phase, die sich von Ende Juli bis Mitte November erstreckte, dominant (tiefste Stelle: 28-89%, flaches Becken: 24-95%). *Limnothrix* spp. war das quantitativ wichtigste Taxon mit Schwerpunkt im Herbst. Zur ökologischen Charakteristik von *Limnothrix* siehe Kleiner Plöner See (S.9). Wie auch im Kleinen Plöner See ging der Entwicklung von *Limnothrix* eine starke Entwicklung nostocaler Blaualgen (v.a. *Anabaena*) voraus. Diese war deutlich stärker als im Kleinen Plöner See. WIEDNER et al. (2002) beobachteten eine zunehmende Dominanz von Oscillatoriales (*Limnothrix*, *Planktothrix*) gegenüber Nostocales mit abnehmender Intensität der photosynthetisch aktiven Strahlung (PAR) im Spätsommer. Dabei trugen die Blaualgen selbst durch ihr Wachstum zu ihrer Beschattung bei.

Die Jahresmittelwerte und die Mittelwerte über die Vegetationsperiode des Gesamt-Biovolumens sind im Lanker See deutlich höher als im Kleinen Plöner See, wobei die höchsten Werte im flachen Seeteil ermittelt wurden (Tab. 1). Nach den von MISCHKE et al. (eingereicht) vorgeschlagenen Grenzbereichen der Degradationsstufen ergibt

sich für das tiefere nördliche Becken des Lanker Sees ein "guter" Zustand, während der flachere Seeteil einen "moderaten" Zustand aufweist.

Im Vergleich zu früheren Untersuchungen aus dem Jahr 1986 (LAWAKÜ 1989), die anhand von Netzproben und angereicherten Proben durchgeführt wurden und somit nicht direkt vergleichbar sind, bestehen hinsichtlich der in bezug auf ihre Häufigkeit wichtigen Taxa einige Unterschiede. So wurde im Spätsommer 1986 die Phytoplanktongemeinschaft von *Microcystis aeruginosa*, *M. wesenbergii*, *Planktothrix agardhii* und *Aulacoseira granulata* geprägt. *Limnothrix* war dagegen im Spätsommer und im Herbst von untergeordneter Bedeutung. Demvorausgehend waren im Juli 1986 *Anabaena* spp., *A. granulata* und *Stephanodiscus* spp. häufig, was eher mit den 2002 beobachteten Verhältnissen - unter oben genannter Einschränkung - vergleichbar ist. Während *Limnothrix* 1986 nur von untergeordneter Bedeutung war, trat aber *P. agardhii*, eine Charakterart hypertropher flacher Gewässer, zeitweise häufig auf. Blaualgen blieben 1986 aber nicht so lange aspektsprägend wie im Jahr dieser Untersuchung. Da keine Daten über Biovolumen aus dem Jahr 1986 vorliegen, ist eine vergleichende Beurteilung erschwert.

Artenzusammensetzung, Dominanzverhältnisse und die Höhe der Biovolumina weisen den Lanker See als stark eutrophes Gewässer mit deutlicher Tendenz zu hypertrophen Verhältnissen aus. Das zeigt sich v.a. durch die lang anhaltene Phase mit starker Dominanz von Blaualgen, die Dominanz der oscillatorialen Gattung *Limnothrix* und teilweise auch von *Planktothrix cf. agardhii*, sowie durch die sehr hohen Biovolumina im flachen Becken.

## **3.2 Zooplankton**

### **3.2.1 Artenzusammensetzung**

Es wurden im Kleinen Plöner See 42 Zooplankton-Taxa (ohne Protozoen) determiniert. Diese verteilen sich wie folgt auf die taxonomischen Gruppen: Rotatoria: 23, Cladocera: 10, Copepoda: 9.

Im Lanker See wurden 42 Zooplankton-Taxa (ohne Protozoen) determiniert. Diese verteilen sich wie folgt auf die taxonomischen Gruppen: Rotatoria: 24, Cladocera: 9, Copepoda: 9.

Die Artenzusammensetzung zwischen den Probestellen am Lanker See und dem Kleinen Plöner See unterschied sich geringfügig. *Acanthocyclops cf. robustus* wurde nicht im Kleinen Plöner See, *Diacyclops bicuspidatus* wurde nicht im flachen Becken des Lanker Sees gefunden. *Ceriodaphnia* sp. und *Notholca acuminata* wurden nur im Kleinen Plöner See beobachtet. *Anuraeopsis fissa* und *Trichocerca pusilla* wurden nicht im Kleinen Plöner See gefunden. *Filinia longiseta* inkl. var. *limnetica* wurde nicht im flachen Becken des Lanker Sees beobachtet.

Das zeitliche Auftreten und die Abundanzen können Tab. VI-VIII (Anhang) entnommen werden.

### 3.2.2 Biomasse-Anteile

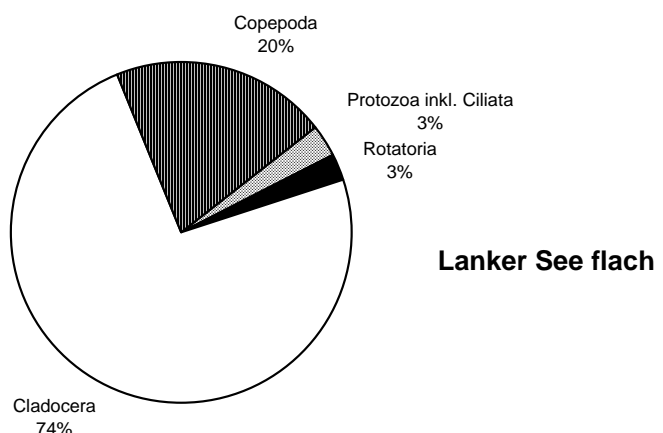
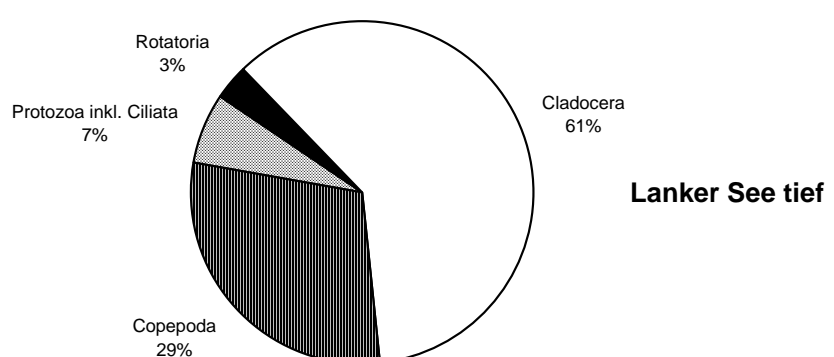
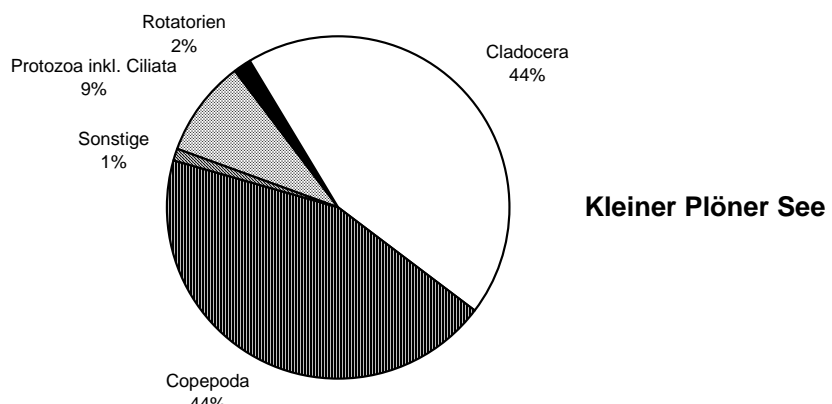
Abbildung 3 zeigt die prozentuale Zusammensetzung des Zooplanktons auf Biomassebasis im Jahresmittel. Die Werte der Jahresmittel zeigt Tab. 2.

Im Kleinen Plöner See stellten Ruderfußkrebse (Copepoda) und Wasserflöhe (Cladocera) mit je 44% die größten Anteile im Jahresmittel. Im Lanker See überwogen in beiden Seeteilen Wasserflöhe im Jahresmittel mit einem Anteil von 61% (tiefste Stelle) bzw. 74% (flaches Becken).

Im Lanker See, insbesondere im flachen Becken war der Anteil von *Leptodora kindtii* höher. Schon geringe Abundanzen dieses großen räuberischen Wasserfloh bewirken einen deutlichen Anstieg in der Biomasse der Wasserflöhe. Ruderfußkrebse waren im Lanker See mit 29% (tiefste Stelle) bzw. 20% (flaches Becken) vertreten. Rädertiere (Rotatoria) hatten einen Biomasse-Anteil von 2% im Kleinen Plöner See und von jeweils 3% in den beiden Seeteilen des Lanker Sees.

**Tab. 2:** Biomasse-Jahresmittel des Zooplanktons im Kleinen Plöner See und im Lanker See 2002 (gerundet auf ganze Zahlen).

	Biomasse-Jahresmittel		
	Kleiner Plöner See [µg/l]	Lanker See tiefste Stelle [µg/l]	Lanker See flaches Becken [µg/l]
Andere Protozoa	3	4	2
Ciliata	26	31	27
Rotatorien	5	17	26
Cladocera	138	318	719
Copepoda	138	154	199
Sonstige	4	<1	1
<b>Gesamt</b>	<b>314</b>	<b>525</b>	<b>974</b>



**Abb. 3:** Biomasseanteile wichtiger Zooplanktongruppen im Kleinen Plöner See und den beiden Becken des Lanker Sees im Zeitraum Januar – November/Dezember 2002.

### 3.2.3 Jahreszeitliche Entwicklung der Zooplanktongruppen

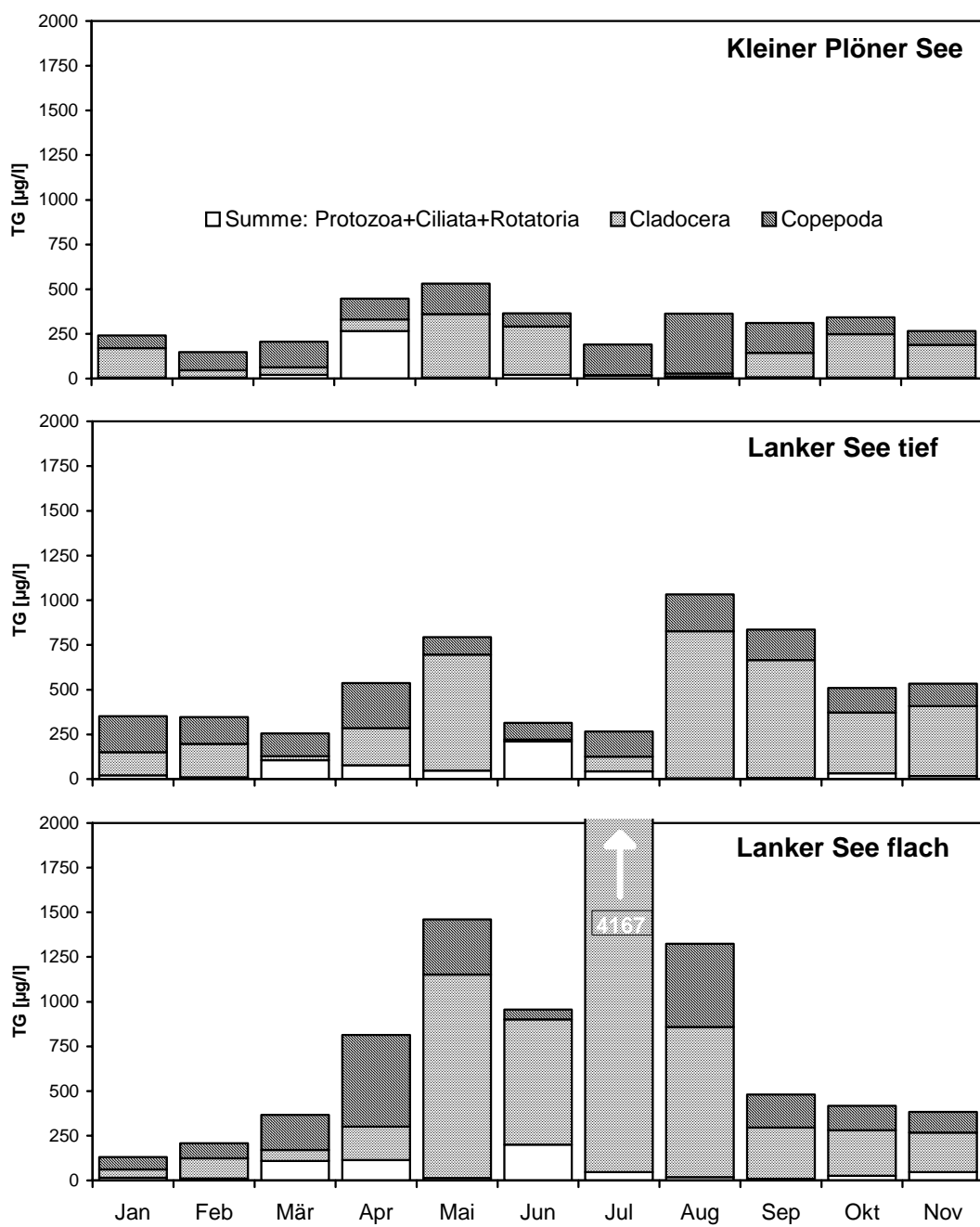
**Kleiner Plöner See:** Der Verlauf der Zooplankton-Biomasse zeigte im Frühjahr einen Anstieg auf ein absolutes Maximum im Mai ( $560 \mu\text{g/l}$ ), nahm bis zum Juli ( $200 \mu\text{g/l}$ ) deutlich ab und blieb ab August auf einem plateauartigem Niveau ( $270-370 \mu\text{g/l}$ ), das aber unter dem Mai-Maximum blieb (Abb. 4).

Einzeller (Ciliata und andere Protozoa) und Rädertiere stellten nur im April einen nennenswerten und in diesem Fall sogar den größten Biomasse-Anteil. Dieser wurde im wesentlichen durch Wimpertiere (Ciliata) verursacht. Wimpertiere und der heterotrophe Dinoflagellat *Gymnodinium helveticum* (als Rest Protozoa) zeigten ihre größte numerische Entfaltung im April (Abb. 5). Wimpertiere erreichten ein zweites Abundanzmaximum im Juli, das im Hinblick auf die Biomasse aber nicht ins Gewicht fiel.

Rädertiere waren im April, im Sommer von Juni bis August und erneut im Oktober am zahlreichsten vertreten, wobei sie in bezug auf die Individuenzahlen das Zooplankton weitaus dominierten (66-82%)(Abb. 5, Tab. IX). Während im April *Synchaeta* spp. die ansonsten divers strukturierte Rädertiergegemeinschaft dominierten, war im Sommer und im Herbst *Keratella cochlearis* das häufigste Rädertier. Aber auch *Synchaeta* spp., *Conochilus unicornis* und *Trichocerca similis* stellten zeitweise bedeutende Anteile.

Wasserflöhe waren im Januar und wieder im Herbst (Oktober/November) am zahlreichsten, wobei Rüsselkrebschen, v.a. *Bosmina coregoni*, im Herbst außerdem *Daphnia cucullata* am häufigsten waren. Im August war *Chydorus sphaericus* der dominante Wasserfloh. Die höchsten Biomassen erreichten die Wasserflöhe dagegen im Mai und im Juni durch die Präsenz großer *Daphnia*-Arten (v.a. *D. hyalina* und Hybriden).

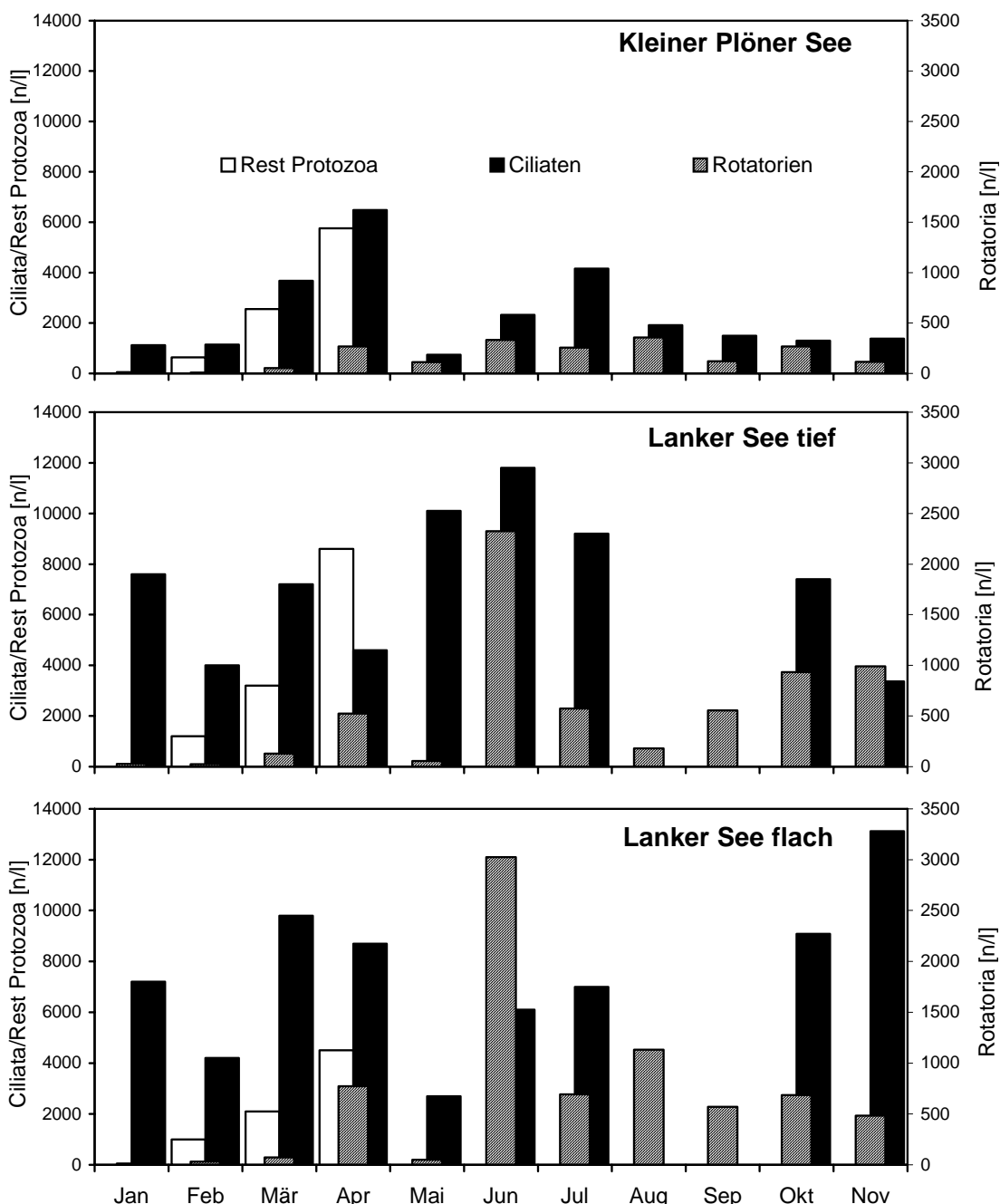
Calanoide Ruderfußkrebse zeigten ihre größte Individuen- und Biomasseentwicklung im Mai (*Eudiaptomus graciloides*, *E. gracilis* und ihre Copepodide) und besonders im August (adulte *Eudiaptomus graciloides*) (Abb. 6). Cyclopoide Ruderfußkrebse waren im Frühjahr (*Cyclops kolensis*, Copepodide) und im Sommer (*Mesocyclops leuckarti*, *Thermocyclops oithonoides*, Copepodide) von Bedeutung.



**Abb. 4:** Jahreszeitlicher Verlauf der Zooplankton-Biomasse wichtiger Gruppen im Kleinen Plöner See und den beiden Becken des Lanker Sees im Zeitraum Januar – November/Dezember 2002.

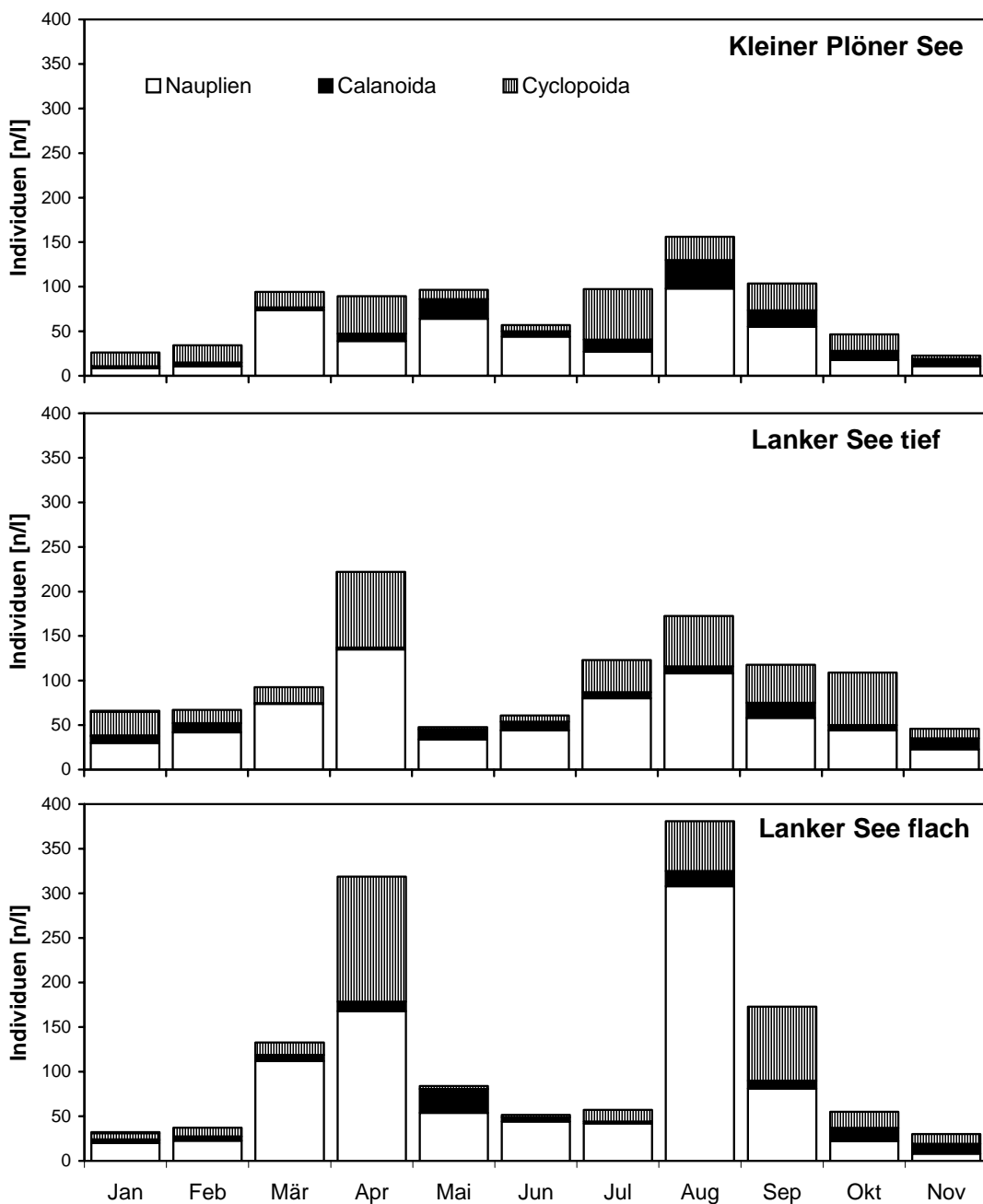
Die Artenzusammensetzung und Dominanzverhältnisse des Zooplanktons weisen auf deutlich eutrophe Bedingungen im Kleinen Plöner See hin. Zum einen zeigten sich - z.B. im Vergleich zum oberhalb gelegenen, 1998 untersuchten Großen Plöner See - Tendenzen in Richtung höher eutrophierter Verhältnisse durch das Auftreten von *Keratella cochlearis* fa. *tecta* von Juli bis Dezember mit Anteilen an der Rädertiergemeinschaft von 8-13% und das - allerdings kurzfristige - dominante

Auftreten von *Chydorus sphaericus* innerhalb der Crustacea (Tab. IX). Im Vergleich zum unterhalb gelegenen Lanker See sind diese Tendenzen aber nur gering ausgebildet. Auch wurden im Gegensatz zum Lanker See weder das Rädertier *Anuraeopsis fissa* noch der cyclopoide Ruderfußkrebs *Acanthocyclops cf. robustus* beobachtet, die ebenso wie *K. cochlearis* fa. *tecta* und *C. sphaericus* höher eutrophierte Verhältnisse präferieren (KARABIN 1985, MAIER 1990).



**Abb. 5:** Jahreszeitlicher Verlauf der Abundanzen der Rotatoria, Ciliata und Rest Protozoa im Kleinen Plöner See und den beiden Becken des Lanker Sees im Zeitraum Januar – November/Dezember 2002.

Von August bis in den Herbst charakterisierten kleine Wasserflöhe (*C. sphaericus* bzw. *D. cucullata* und *B. coregoni*) das Krebstierplankton. Diese werden durch fädige Blaualgen, wie sie im Kleinen Plöner See in diesem Zeitraum zahlreich vertreten sind, weniger in ihrer Nahrungsaufnahme gestört.



**Abb. 6:** Jahreszeitlicher Verlauf der Abundanzen der Copepoda im Kleinen Plöner See und den beiden Becken des Lanker Sees im Zeitraum Januar – November/Dezember 2002.

Wasserflöhe (Cladocera) und cyclopoide Ruderfußkrebse sind in eutrophen Gewässern relativ zahlreicher vertreten als calanoide Ruderfußkrebse (GLIWICZ 1969,

PATALAS 1972, GANNON & STEMBERGER 1978). Das Verhältnis von Calanoida zu Cladocera und Cyclopoida kann aufschlußreich sein, relative Differenzen der trophischen Bedingungen zu entdecken. Die relative Bedeutung der Calanoida war im Kleinen Plöner See höher als im Lanker See (Tab. 3), was tendenziell auf höhere trophische Verhältnisse im Lanker See hinweist.

Mit steigender Trophie nimmt die Abundanz von Rädertieren als auch ihr prozentualer Anteil an der Gesamt-Individuenzahl zu (z.B. RUTTNER-KOLISKO 1972, KARABIN 1985). Die mittleren Abundanzen der Rädertiere waren im Kleinen Plöner See deutlich niedriger als im Lanker See (Tab. 3). Der Individuen-Anteil der Rädertiere im Vergleich zu den Krebstieren war in beiden Seen relativ hoch, im Lanker See tendenziell aber etwas höher (Tab. IX).

Im Vergleich zu früheren Untersuchungen aus dem Jahr 1983/1984 (LAWAKÜ unveröffentl.), die anhand von Netzplankton durchgeführt wurden und somit nicht direkt vergleichbar sind, bestehen hinsichtlich der dominanten Taxa ähnliche Dominanzverhältnisse. *C. sphaericus* schien 1984 von etwas stärkerer Bedeutung als 2002 zu sein, während die *K. cochlearis* fa. *tecta* und auch *Trichocerca*-Arten damals geringere Anteile am Rädertierplankton bildete. Hinsichtlich der Zooplanktonbesiedlung lässt sich keine grundlegende Veränderung feststellen.

**Tab. 3:** Kennwerte des Zooplanktons im Kleinen Plöner See und im Lanker See 2002.

	Kleiner Plöner See	Lanker See tiefste Stelle	Lanker See flaches Becken
Rotatoria			
jährl. mittl. Abundanz [n/l]	173	574	684
Anteil f. <i>tecta</i> an <i>K. cochlearis</i> im Jahresmittel [%]	11	17	26
maximal [%]	31	66	59
Cal/(Cyclo+Clado) exkl. Copepodite	0,17	0,06	0,09
Cal/(Cyclo+Clado) inkl. Copepodite	0,25	0,09	0,11

**Lanker See:** Der Verlauf der Zooplankton-Biomasse zeigte im Frühjahr einen Anstieg auf ein erstes Maximum im Mai (tiefste Stelle: 790 µg/l, flaches Becken: 1460 µg/l). An der tiefsten Stelle nahm die Biomasse danach deutlich ab und erreichte im August ein absolutes Maximum von 1030 µg/l. Im Herbst war ein leichter Rückgang zu verzeichnen (840-510 µg/l). Im flachen Becken erreichte die Biomasse nach kurzem Rückgang im Juni ein absolutes Maximum im Juli von 4170 µg/l. Erst im Herbst ging die Biomasse auf wieder deutlich niedrigere Werte zurück (380-480 µg/l) (Abb. 4).

Einzeller (Ciliata und andere Protozoa) und Rädertiere stellten im März, April und im Juni nennenswerte Biomasse-Anteile (Abb. 4). Während der heterotrophe Dinoflagellat *G. helveticum* im April seine höchsten Abundanzen erreichte, waren Wimpertiere bis auf den August und September zahlreich vertreten und zeigten in den beiden Seeteilen mehrere Abundanz-Maxima (Abb. 5).

Rädertiere erreichten in beiden Seeteilen ein kleineres Abundanzmaximum im April und ein absolutes Maximum im Juni, welches im flachen Becken besonders hoch war. Danach erreichten Rädertiere im flachen Seeteil im August, an der tiefsten Stelle im Oktober/November erneut recht hohe Individuenzahlen. Im April dominierten *Polyarthra dolichoptera/vulgaris* und *Synchaeta* spp. die Rädertiergegemeinschaft. Im Juni war *Keratella cochlearis* am häufigsten, gefolgt von *Synchaeta* spp., *Conochilus unicornis* und *Trichocerca cf. porcellus*. Auch im August war *K. cochlearis* im flachen Becken dominant, wobei ihre fa. *tecta* überwog. Aber auch *Pompholyx sulcata*, *Synchaeta* spp. und *Trichocerca similis* prägten den Aspekt. Das herbstliche Rädertiermaximum an der tiefsten Stelle wurde im wesentlichen von *K. cochlearis*, ihrer fa. *tecta* und *P. sulcata* bestritten.

Wasserflöhe zeigten ihre stärkste numerische Entfaltung an der tiefsten Stelle im Herbst (Oktober/November) unter Dominanz von *Bosmina coregoni* in Begleitung von *Chydorus sphaericus* und *Daphnia cucullata*. Die letzteren beiden bestimmen auch das zweitstärkste Maximum im August. Auch im flachen Becken verursachen *D. cucullata* und *C. sphaericus* das Augustmaximum, während bei etwas niedrigeren Abundanzen im September *B. coregoni* dominiert. Die hohen Biomassen der Wasserflöhe im Mai und im Juli bzw. August werden in erster Linie durch die große räuberische *Leptodora kindtii* bewirkt unter Beteiligung von *Daphnia*-Arten.

An der tiefsten Stelle zeigten calanoide Ruderfußkrebse ihre größte Individuen- und Biomasseentwicklung im November (*Eudiaptomus graciloides*, Copepodide) und im

September (*E. graciloides*, *E. gracilis*, Copepodide) (Abb. 6). Im flachen Becken lagen ihre Schwerpunkt im Mai (*Eudiaptomus graciloides*, *E. gracilis* und ihre Copepodide) und im August (v.a. adulte *Eudiaptomus graciloides*).

Cyclopoide Ruderfußkrebse waren im Frühjahr (*Cyclops kolensis*, *C. vicinus*, Copepodide) und im Sommer (*Mesocyclops leuckarti*, *Thermocyclops oithonoides* bzw. *Acanthocyclops cf. robustus*, Copepodide) von Bedeutung.

Der Lanker See weist - besonders im flachen Seeteil - deutlich höhere Zooplankton-Biomassen (Maxima, Jahresmittel, Tab. 2) auf als der 2002 parallel untersuchte Kleiner Plöner See.

Die Dominanzverhältnisse des Zooplanktons weisen den Lanker See als stark eutrophen See aus. Im Vergleich zum oberhalb gelegenen Kleinen Plöner See deuten folgende Kriterien auf tendenziell hypertrophe Bedingungen: die stärkere Dominanz von *Keratella cochlearis* fa. *tecta* und *Pompholyx sulcata*, sowie das zahlreiche Auftreten von *Trichocerca* spp.. Diesen Arten wird eine deutliche Präferenz für höher eutrophierte Verhältnisse zugeschrieben (GANNON & STEMBERGER 1978, KARABIN 1985). Auch die starke Präsenz von *Chydorus sphaericus* charakterisiert höher trophierte Verhältnisse (HOFMANN 1981, KARABIN 1985). Dieser effiziente Bakterien- und Detritusfresser tritt in der Phase der starken Entwicklung fädiger Blaualgen auf, durch die er aber in der Nahrungsaufnahme weniger gestört wird als zum Beispiel große *Daphnia*-Arten.

Wasserflöhe (Cladocera) und cyclopoide Ruderfußkrebse sind in eutrophen Gewässern relativ zahlreicher vertreten als calanoide Copepoden (GLIWICZ 1969, PATALAS 1972, GANNON & STEMBERGER 1978). Das Verhältnis von Calanoida zu Cladocera und Cyclopoida kann aufschlußreich sein, relative Differenzen der trophischen Bedingungen zu entdecken. Die relative Bedeutung der Calanoida war im Lanker See geringer als im Kleinen Plöner See (Tab. 3), was tendenziell auf höhere trophische Verhältnisse im Lanker See hinweist.

Mit steigender Trophie nimmt die Abundanz von Rädertieren als auch ihr prozentualer Anteil an der Gesamt-Individuenzahl zu (z.B. RUTTNER-KOLISKO 1972, KARABIN 1985). Die mittleren Abundanzen der Rädertiere waren im Lanker See deutlich höher als im Kleinen Plöner See (Tab. 3). Der Individuen-Anteil der

Rädertiere im Vergleich zu den Krebstieren war in beiden Seen relativ hoch, im Lanker See tendenziell aber etwas höher (Tab. IX).

Im Vergleich zu früheren Untersuchungen aus dem Jahr 1986 (LAWAKÜ 1989) besteht im wesentlichen Übereinstimmung hinsichtlich der dominanten Taxa und ihres saisonalen Auftretens. Demgegenüber konnten folgende Veränderungen festgestellt werden: *K. cochlearis* fa. *tecta* und *C. sphaericus* waren von geringerer relativer Bedeutung als 1986, während aber *Pompholyx sulcata* etwas an relativer Bedeutung zugenommen hat. Auch erreichten Rädertiere im Jahr 1986 deutlich höhere Individuenzahlen als 2002. Die Zooplankton-Besiedlung weist somit gegenüber 1986 auf etwas erniedrigte trophische Verhältnisse hin.

## 4 Zusammenfassung

- Der Kleine Plöner See hat eine Fläche von 239 ha, eine maximale Tiefe von 31 m und eine mittlere Tiefe von 9 m. Er zählt zum Seetyp des geschichteten Hartwassersees des Tieflandes mit relativ großem Einzugsgebiet (Typ 10).
- Der Lanker See besitzt eine Fläche von 380 ha, eine maximale Tiefe von 20,5 m und eine mittlere Tiefe von 3,6 m. Beim Lanker See handelt es sich um einen ungeschichteten Hartwassersee des Tieflandes mit relativ großem Einzugsgebiet (Typ 11). Beide Seen werden von der Schwentine durchflossen.
- Der Jahresmittelwert und der Mittelwert über die Vegetationsperiode des Gesamt-Biovolumens ist im Kleinen Plöner See deutlich geringer als im Lanker See, wobei dort die höchsten Werte im flachen Seeteil ermittelt wurden. Nach den vorgeschlagenen Grenzbereichen der Degradationsstufen ist der Kleine Plöner See als "gut" einzustufen. Für den Lanker See ergibt sich für das tiefere nördliche Becken ebenfalls ein "guter" Zustand, während der flachere Seeteil einen "moderaten" Zustand aufweist.
- Dominanzverhältnisse und Biovolumina des Phytoplanktons weisen den Kleinen Plöner See als eutrophes, geschichtetes Gewässer aus. Das mittlere Biovolumen über die Vegetationsperiode liegt mit 2,43 mm<sup>3</sup>/l im Bereich der Werte, die für die - seltener beprobten - Schwentineseen Behler See und Dieksee, welche demselben Seetyp angehören, ermittelt wurden. Die relativ lang anhaltene Phase, in der Blaualgen mäßig oder stark dominant waren, und die Dominanz der oscillatorialen Gattung *Limnothrix* im Herbst deuten auf eine Tendenz zu höher eutrophierten Verhältnissen hin.
- Artenzusammensetzung, Dominanzverhältnisse und die Höhe der Biovolumina weisen den Lanker See als stark eutrophes Gewässer mit deutlicher Tendenz zu hypertrophen Verhältnissen aus. Das zeigt sich v.a. durch die lang anhaltene Phase mit starker Dominanz von Blaualgen, die Dominanz der oscillatorialen Gattung *Limnothrix* und teilweise auch von *Planktothrix cf. agardhii* im Herbst, sowie durch die sehr hohen Biovolumina im flachen Becken. Die frühsommerliche

starke Entwicklung von *Aulacoseira granulata* weist auf eine hohe Nährstoffverfügbarkeit, z.B. durch Rücklösung derselben aus dem Sediment, im durchschnittlich flachen Lanker See hin. Das mittlere Biovolumen über die Vegetationsperiode liegt im tiefen Becken bei 4,90 mm<sup>3</sup>/l und im flachen Becken bei 8,36 mm<sup>3</sup>/l.

- Die Artenzusammensetzung und Dominanzverhältnisse des Zooplanktons weisen auf eutrophe Bedingungen im Kleinen Plöner See hin. Es zeigten sich Tendenzen in Richtung höher eutrophierter Verhältnisse durch das Auftreten von *Keratella cochlearis* fa. *tecta* von Juli bis Dezember mit Anteilen an der Rädertiergegemeinschaft von 8-13% und das - allerdings kurzfristige - dominante Auftreten von *Chydorus sphaericus* innerhalb der Crustacea.
- Im unterhalb gelegenen Lanker See sind diese Tendenzen prägnanter ausgebildet und deuten auf eine höhere Trophie hin. Nur im Lanker See wurden sowohl das Rädertier *Anuraeopsis fissa* als auch der cyclopoide Ruderfußkrebs *Acanthocyclops cf. robustus* beobachtet. Die stark präsenten *Keratella cochlearis* fa. *tecta* und *Chydorus sphaericus* präferieren höher eutrophierte Verhältnisse ebenso wie das zeitweise dominante Rädertier *Pompholyx sulcata*.
- Der Lanker See weist - besonders im flachen Seeteil - deutlich höhere mittlere Zooplankton-Biomassen (974 µg/l) auf als der Kleiner Plöner See (314 µg/l).
- Die relative Bedeutung der Calanoida war im Kleinen Plöner See höher als im Lanker See, was ein weiterer Hinweis auf höhere trophische Verhältnisse im Lanker See ist.
- Die mittleren Abundanzen der Rädertiere waren im Lanker See deutlich höher als im Kleinen Plöner See. Der Individuen-Anteil der Rädertiere im Vergleich zu den Krebstieren war in beiden Seen relativ hoch, im Lanker See aber etwas höher.

## 5 Literatur

- BOTTRELL, H.H.; DUNCAN, A.; GLIWICZ, Z.M.; GRYGIEREK, E.; HERZIG, A.; HILLBRICHT-LKOWSKA, A.; KURASAWA, H.; LARSSON, P. & WEGLENSKA, T. (1976): A review of some problems in zooplankton production studies. - Norw. J. Zool. 24: 419-456.
- BOURRELLY, P. (1966): Les Algues d'eau douce. 1. Les algues vertes, Édition Boubée & Cie, Paris
- BOURRELLY, P. (1968): Les Algues d'eau douce. 2. Les algues jaunes et brunes. Chrysophycees, Pheophycees, Xanthophycees et Diatomees. Édition Boubée & Cie, Paris
- BOURRELLY, P. (1970): Les Algues d'eau douce. 3. Les algues bleues et rouges. Les Eugléniens, Péridiniens et Cryptomonadines. Édition Boubée & Cie, Paris
- DEISINGER, G. (1984): Leitfaden zur Bestimmung der planktischen Algen der Kärntner Seen und ihrer Biomasse. - Kärntner Institut f. Seenforschung, Klagenfurt.
- EINSLE, U. (1993): Crustacea. Copepoda. Calanoida und Cyclopoida. - Süßwasserfauna von Mitteleuropa (Hrsg. SCHWOERBEL, J. & ZWICK, P.), Bd. 8/4 - 1, Stuttgart, Jena.
- ETTL, H. (1983): Chlorophyta I. - Süßwasserflora von Mitteleuropa (Hrsg. ETTL, H.; GERLOFF, J.; HEYNIG, H. & MOLLENHAUER, D.) 9, Jena.
- ETTL, H. & GÄRTNER, G. (1988): Chlorophyta II. - Süßwasserflora von Mitteleuropa (Hrsg. ETTL, H.; GERLOFF, J.; HEYNIG, H. & MOLLENHAUER, D.) 10, Jena.
- FLÖßNER, D. (1972): Krebstiere, Crustacea. Kiemen- und Blattfüßer, Branchiopoda; Fischläuse, Branchiura. - Die Tierwelt Deutschlands (Hrsg. DAHL, M. & PEUS, F.) 60, Jena.

GANNON, J.E. & STEMBERGER, R.E. (1978): Zooplankton (especially crustaceans and rotifers) as indicators of water quality. - Trans. Amer. Micros. Soc. Vol. 97 (1): 16-35.

GLIWICZ, Z.M. (1969): Studies on the feeding of pelagic zooplankton in lakes with varying trophy. - Ekologia Polska A, 17: 663-708.

HILLEBRAND, H.; DÜRSELEN; C.-D.; KIRSCHTEL, D.; POLLINGHER, U. & ZOHARY, T. (1999): Biovolume calculation for pelagic and benthic microalgae. - J. Phycol. 35: 403-424.

HÖLL, K. (1928): Ökologie der Peridineen. - Pflanzenforschung 11: 105 S. Gustav Fischer, Jena

HOFMANN, W. (1981): Limnologische Untersuchungen an Seen des Kreises Plön. - Jb. Heimatkunde Kreis Plön 11: 159-176.

HUBER-PESTALOZZI, G. (1938): Allgemeiner Teil, Blaualgen, Bakterien, Pilze. - Die Binnengewässer (Hrsg. THIENEMANN, A.) 16, Das Phytoplankton des Süßwassers 1, Stuttgart.

HUBER-PESTALOZZI, G. (1950): Cryptophyceen, Chloromonadinen, Peridineen. - Die Binnengewässer (Hrsg. THIENEMANN, A.) 16, Das Phytoplankton des Süßwassers 3, Stuttgart.

HUBER-PESTALOZZI, G. (1955): Euglenophyceen. - Die Binnengewässer (Hrsg. THIENEMANN, A.) 16, Das Phytoplankton des Süßwassers 4, Stuttgart.

KARABIN, A. (1985): Pelagic zooplankton (Rotatoria + Crustacea) variation in the process of lake eutrophication. I. Structural and quantitative features. - Ekologia Polska 33 (4): 567-616.

KILHAM, P.; KILHAM, S.S.; & HECKY, R.E. (1986): Hypothesized resource relationships among African planktonic diatoms. - Limnol. Oceanogr. 31: 1169-1181.

KLEE, R. & STEINBERG, C. (1987): Kieselalgen bayrischer Gewässer. - Informationsberichte Bayr. Landesamt für Wasserwirtschaft 4/87, München.

KÖHLER, J. & HOEG, S. (2000): Phytoplankton selection in a river-lake system during two decades of changing nutrient supply. - Hydrobiologia 424: 13-24.

KOMÁREK, J. (1958): Die taxonomische Revision der planktischen Blaualgen der Tschechoslowakei. - In: KOMÁREK, J. & ETTL, H., Algologische Studien, pp. 10-206.

KOMÁREK, J. & FOTT, B. (1983): Chlorococcales. - Die Binnengewässer (Hrsg. ELSTER, H.-J. & OHLE, W.) 16, Das Phytoplankton des Süßwassers 7, 1. Hälfte, Stuttgart.

KRAMMER, K. & LANGE-BERTALOT, H. (1991): Bacillariophyceae. 3. Centrales, Fragilariaeae, Eunotiaceae. - Süßwasserflora von Mitteleuropa (Hrsg. ETTL, H.; GERLOFF, J.; HEYNIG, H. & MOLLENHAUER, D.) 2/3, Jena.

LANDMESSER, B. (1993): Untersuchungen zur Struktur und zur Primärproduktion des Phytoplanktons im Belauer See. - Dissertation Universität Hamburg.

LAWAKÜ (1989): Seenbericht Lanker See. Landesamt für Wasserhaushalt und Küsten Schleswig-Holstein, Kiel.

LAWAKÜ (unveröffentl.): Seenbericht Kleiner Plöner See. Landesamt für Wasserhaushalt und Küsten Schleswig-Holstein, Kiel.

LENZENWEGER, R. (1997): Desmidiaceenflora von Österreich. Teil 2. - Bibliotheca Phycologica 101: 216 pp. J. Cramer, Berlin, Stuttgart.

LIEDER, U. (1996): Crustacea. Cladocera. Bosminidae. - Süßwasserfauna von Mitteleuropa (Hrsg. SCHWOERBEL, J. & ZWICK, P.), Bd. 8/2 - 3, Stuttgart, Jena.

MAIER, G. (1990): Coexistence of the predatory cyclopoids *Acanthocyclops robustus* (Sars) and *Mesocyclops leuckarti* (Claus) in a small eutrophic lake. - Hydrobiologia 198: 185-203.

MAKULLA, A. & SOMMER, U. (1993): Relationships between resource ratios and phytoplankton species composition during spring in five north German lakes. - Limnol. Oceanogr. 38(4): 846-856.

MCCAULEY, E. (1984): The estimation of the abundance and biomass of zooplankton in samples. - In: DOWNING, J.A. & RIGLER, F.H. (eds.), A manual on methods for the assessment of secondary productivity in fresh waters, IBP Handbook No. 17: 228-265, Blackwell Scientific Publ., Oxford.

MEFFERT, M.-E. (1989): Planktic unsheathed filaments (Cyanophyceae) with polar and central gas-vacuoles. II. Biology, population dynamics and biotopes of *Limnothrix redekei* (Van Goor) Meffert. - Arch. Hydrobiol. 116 (3): 257-282.

MISCHKE, U., NIXDORF, B. & BEHRENDT, H. (eingereicht): On typology and reference conditions for phytoplankton in rivers and lakes in Germany. - TemaNord "Symposium evaluation of lakes and rivers" Helsinki Oct. 2002.

MUMM, H. (1996): Zooplanktonentwicklung im Plußsee: invertebrate Räuber, die Wirkung der Biomanipulation und Langzeittrends. - Dissertation Universität Kiel.

NYGAARD, G. (1945): Dansk Plantoplankton. En flora over de vigtigste ferskvandsformer. Gyldendal, Kopenhagen.

PATALAS, K. (1972): Crustacean Plankton and the eutrophication of St. Lawrence Great Lakes. - J. Fish. Res. Bd. Can. 29: 1451-1462.

POHLMANN, M. & FRIEDRICH, G. (2001): Bestimmung der Phytoplanktonvolumina - Methodik und Ergebnisse am Beispiel Niederrhein. Limnologica 31: 229-238.

PONTIN, R.M. (1978): A key to the freshwater planktonic and semi-planktonic Rotifera of the British Isles. - Freshwater Biological Association Scientific Publication No. 38.

POPOVSKY, J. & PFIESTER, L.A. (1990): Dinophyceae (Dinoflagellida). - Süßwasserflora von Mitteleuropa (Hrsg. ETTL, H.; GERLOFF, J.; HEYNIG, H. & MOLLENHAUER, D.) 6, Gustav Fischer Verlag, Jena.

REYNOLDS, C.S. (1984): Phytoplankton periodicity: the interactions of form, function and environmental variability. - Freshw. Biol. 14: 111-142.

REYNOLDS, C.S. (1988): Functional morphology and the adaptive strategies of freshwater phytoplankton. - In: SANDGREN, C.D. (ed.), Growth and reproductive strategies of freshwater phytoplankton, pp. 388-433. Cambridge.

REYNOLDS, C.S. (1994): The long, the short and the stalled: on the attributes of phytoplankton selected by physical mixing in lakes and rivers. - Hydrobiologia 289: 9-21.

REYNOLDS, C.S.; THOMPSON, J.M.; FERGUSON, A.J.D. & WISEMAN, S.W. (1982): Loss processes in the population dynamics of phytoplankton maintained in closed systems. - J. Plankton. Res. 4: 561-600.

RÜCKER, J.; WIEDNER, C. & ZIPPEL, P. (1997): Factors controlling the dominance of *Planktothrix agardhii* and *Limnothrix redekei* in eutrophic shallow lakes. - Hydrobiologia 342/343: 107-115.

RUTTNER-KOLISKO, A. (1972): Rotatoria. - Die Binnengewässer (Hrsg. ELSTER, H.-J. & OHLE, W.) 26, Das Zooplankton der Binnengewässer 1, Stuttgart.

RUTTNER-KOLISKO, A. (1977): Suggestions for biomass calculations of plankton rotifers. Arch. Hydrobiol. Beih. Ergeb. Limnol. 8: 71-76.

SCHWOERBEL, J. (1986): Methoden der Hydrobiologie, Süßwasserbiologie. UTB/G. Fischer.

SOMMER, U. (1987): Factors controlling the seasonal variation in phytoplankton species composition - A case study for a deep, nutrient rich lake. - Progress in Phycological Research 5: 124-177.

SOMMER, U. (1993): Disturbance-diversity relationships in two lakes of similar nutrient chemistry but contrasting disturbance regimes. - Hydrobiologia 249: 59-65.

SOMMER, U.; GLIWICZ, Z.M.; LAMPERT, W. & DUNCAN, A. (1986): The PEG-model of seasonal succession of planktonic events in fresh waters. - Arch. Hydrobiol. 106 (4): 433-471.

SØNDERGAARD, M. (1991): Phototrophic picoplankton in temperate lakes: seasonal abundance and importance along a trophic gradient. - Int. Revue ges. Hydrobiol. 76 (4): 505-522.

SPETH, B. (1999): Untersuchung des Phyto- und Zooplanktons im Großen Plöner See (Schleswig-Holstein). - Bericht im Auftrag des Landesamtes für Natur und Umwelt, unveröffentlicht.

SPETH, B. (2001): Untersuchung des Phyto- und Zooplanktons im Ratzeburger See, im Domsee, im Kleinen Küchensee und im Großen Küchensee (Schleswig-Holstein). - Bericht im Auftrag des Landesamtes für Natur und Umwelt des Landes Schleswig-Holstein, unveröffentlicht.

SPETH, B. (2002): WRRL-Sonderprogramm 2002: Untersuchung des Phyto- und Zooplanktons aus 13 Seen Schleswig-Holsteins. - Bericht im Auftrag des Landesamtes für Natur und Umwelt des Landes Schleswig-Holstein, unveröffentlicht.

STARMACH, K. (1985): Chrysophyceae und Haptophyceae. - Süßwasserflora von Mitteleuropa (Hrsg. Ettl, H.; Gerloff, J.; Heynig, H. & Moltenauer, D.) 1, Jena.

STOCKNER J.G. (1991): Autotrophic picoplankton in freshwater ecosystems: the view from the summit. - Int. Revue ges. Hydrobiol. 76 (4): 483-492.

WEISSE, T. & KENTER, U. (1991): Ecological characteristics of autotrophic picoplankton in a prealpine lake. - Int. Revue ges. Hydrobiol. 76 (4): 493-504.

WIEDNER, C.; NIXDORF, B.; HEINZE, R.; WIRSING, B.; NEUMANN, U. & WECKESSER, J. (2002): Regulation of cyanobacteria and microcystin dynamics in polymictic shallow lakes. - Arch. Hydrobiol. 155: 383-400.

WOLF, H.G. (1987): Interspecific hybridization between *Daphnia hyalina*, *D. galeata*, and *D. cucullata* and seasonal abundances of these species and their hybrids. - Hydrobiologia 145: 213-217.

## **Anhang**

**Bildtafeln:** Abbildungen I-XII.

**Tab. I:** Gesamt-Artenliste Phytoplankton und Zooplankton Kleiner Plöner See.

**Tab. II:** Gesamt-Artenliste Phytoplankton und Zooplankton Lanker See.

**Tab. III:** Abundanzen und Biovolumina der wichtigsten Phytoplankton-Taxa im Kleinen Plöner See.

**Tab. IV:** Abundanzen und Biovolumina der wichtigsten Phytoplankton-Taxa im Lanker See (tiefste Stelle).

**Tab. V:** Abundanzen und Biovolumina der wichtigsten Phytoplankton-Taxa im Lanker See (flaches Becken).

**Tab. VI:** Jahreszeitliches Auftreten, Abundanzen und Trockengewicht (TG) der Zooplankton-Taxa im Kleinen Plöner See.

**Tab. VII:** Jahreszeitliches Auftreten, Abundanzen und Trockengewicht (TG) der Zooplankton-Taxa im Lanker See (tiefste Stelle).

**Tab. VIII:** Jahreszeitliches Auftreten, Abundanzen und Trockengewicht (TG) der Zooplankton-Taxa im Lanker See (flaches Becken).

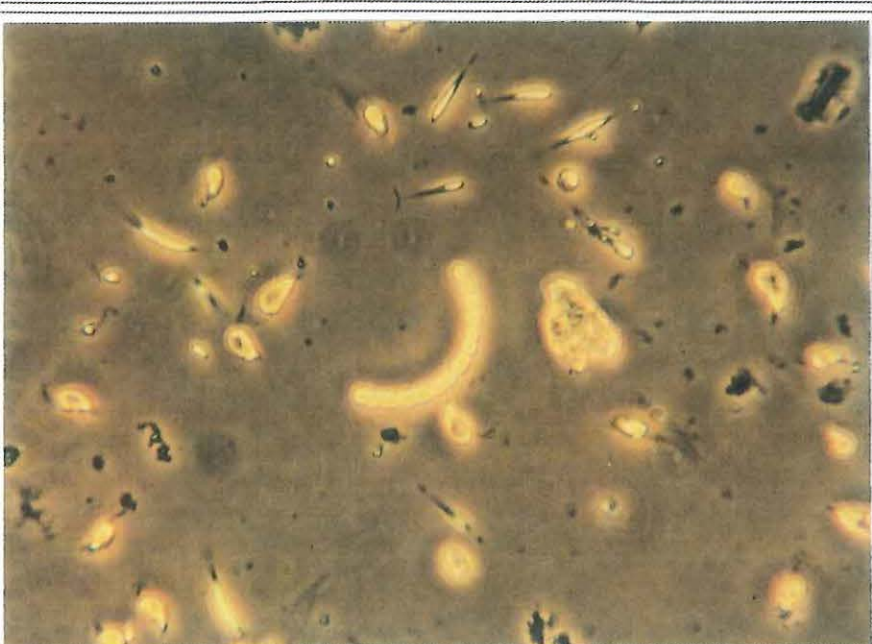
**Tab. IX:** Prozentanteile (Individuen) der Rotatoria und Crustacea am Zooplankton und der jeweilige Prozentanteil der Arten am Rotatoria-Plankton bzw. Crustacea-Plankton.



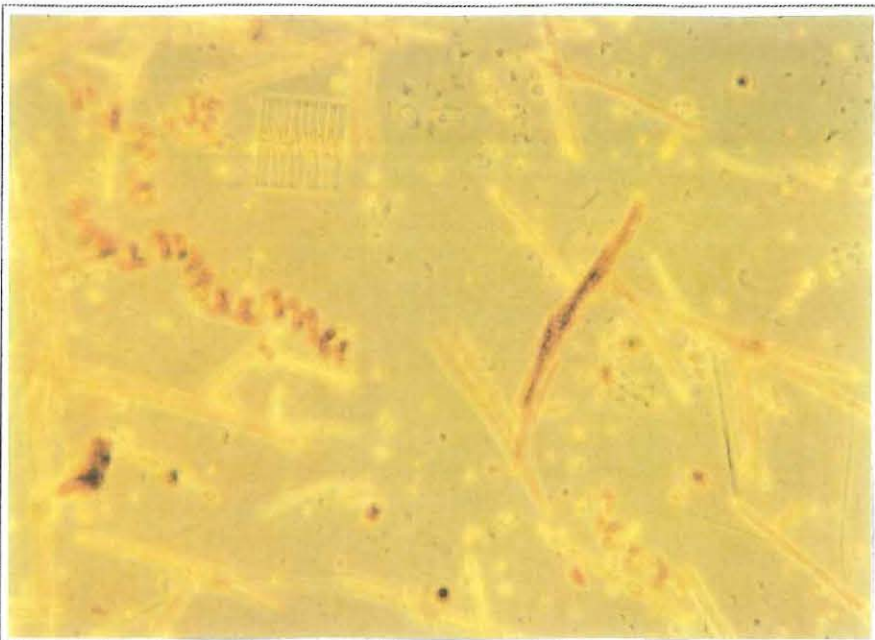
**Abb. I:** Kieselalgen-  
"Blüte" im Spätwinter im  
Lanker See.



**Abb. II:** *Aulacoseira islandica* und große Einzelzellen wie *Stephanodiscus neoastraea* prägen den Winteraspekt im Kleinen Plöner See und im Lanker See.



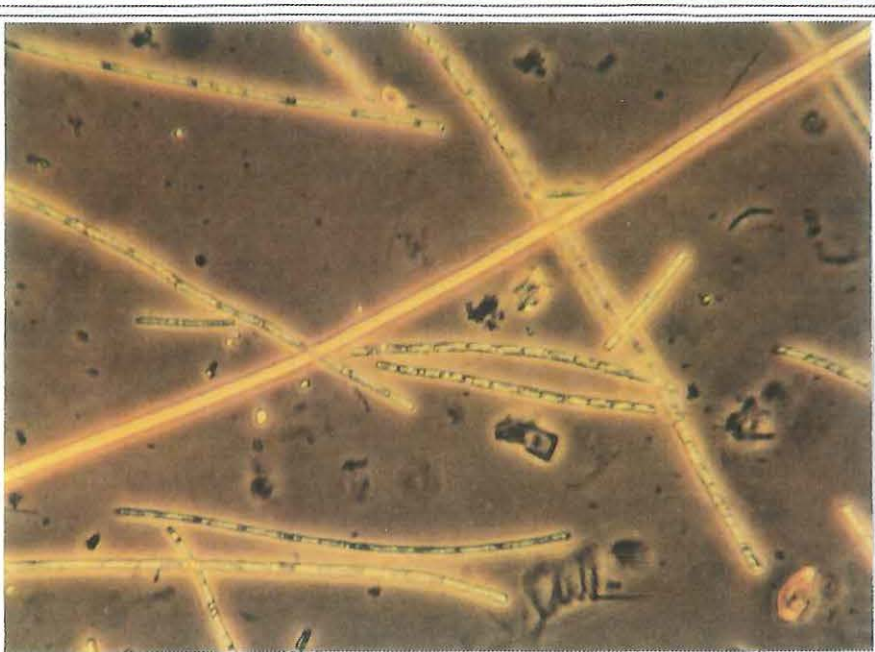
**Abb. III:** Kleine Nanoalgen, wie *Rhodomonas minuta* und *Ankyra* spp., prägen den Aspekt während bzw. kurz nach dem Klarwassserstadium. In der Mitte eine kurze *Anabaena* -Kette.



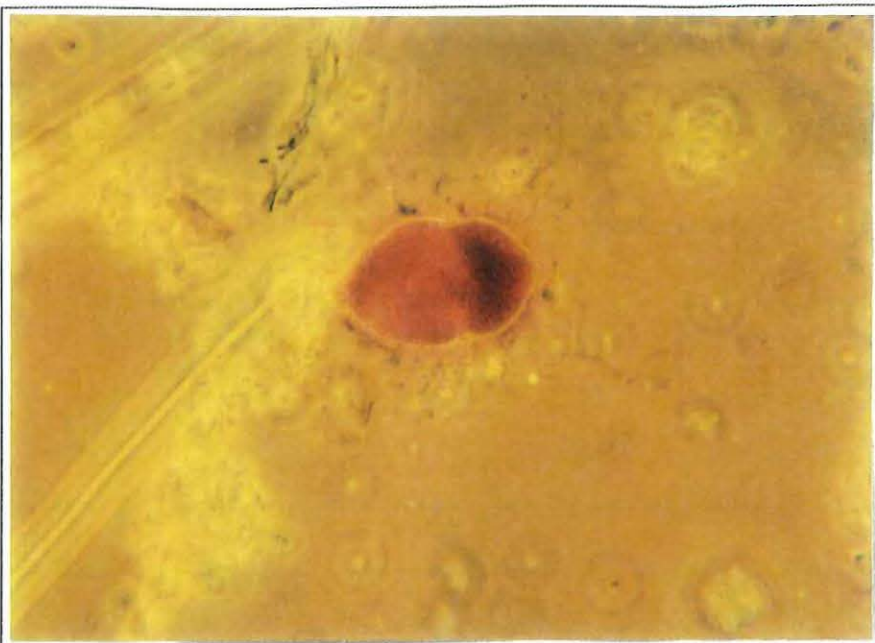
**Abb. IV:** Eine starke Entwicklung von *Anabaena affinis* war im wesentlichen für das sommerliche Phytoplankton-Maximum im Lanker See verantwortlich.



**Abb. V:** Im Kleinen Plöner See dominierten im Spätsommer der Dinoflagellat *Peridinopsis polonicum* und verschiedene Blaualgen, wie *Anabaena circinalis*.



**Abb. VI:** In beiden Seen kam es im Herbst zu einer starken Entwicklung von *Limnothrix* spp.. Hier zusammen mit *Planktothrix*.



**Abb. VII:** Der heterotrophe Dinoflagellat *Gymnodinium helveticum* trat im Frühjahr häufig auf.



**Abb. VIII:** Im Kleinen Plöner See traten zeitweise Larven der weit verbreiteten Dreikantmuschel *Dreissena polymorpha* häufig auf.



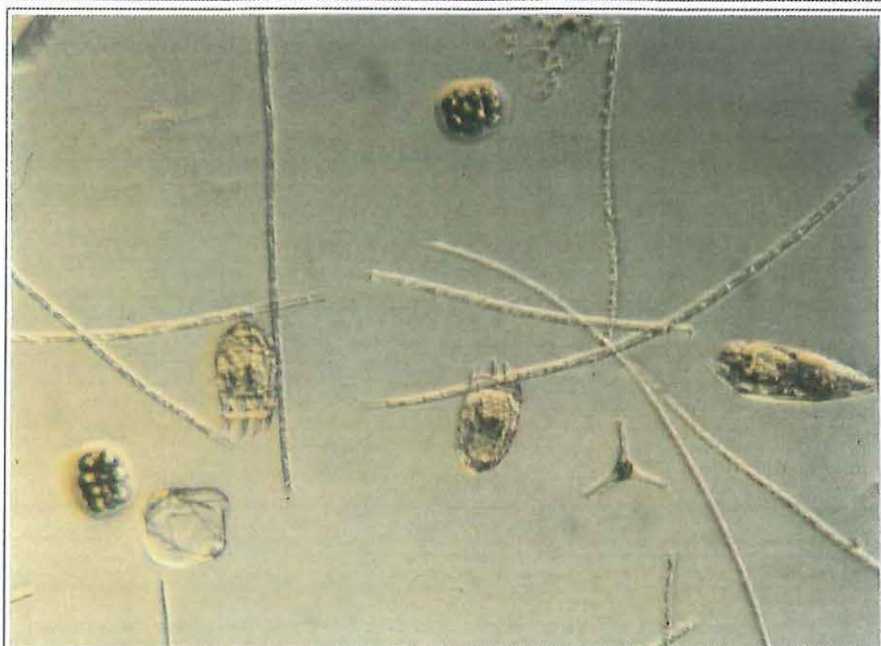
**Abb. IX:** Der Linsenfloh *Chydorus sphaericus* war ein charakteristisches Element der Zooplankton-Gemeinschaft im Sommer.



**Abb. X:** Ein weiterer wichtiger Vertreter des Krebsplanktons im Sommer war der Helm-Wasserfloh *Daphnia cucullata*.



**Abb. XI:** Der Rüsselkrebs *Bosmina coregoni* war im Herbst häufig vertreten.



**Abb. XII:** Das Rädertier *Keratella cochlearis* fa. *tecta* war besonders für den Lanker See kennzeichnend. Hier zusammen mit *Trichocerca similis*.

**Tab. I: Gesamt-Artenliste Phytoplankton und Zooplankton Kleiner Plöner See**

**PHYTOPLANKTON**

**Kl.: Cyanophyceae**

*Anabaena* sp.  
*Anabaena affinis* Lemmermann  
*Anabaena circinalis* Rabenh. ex Born. et Flah.  
*Anabaena flos-aquae* (Lyngb.) Breb.  
*Anabaena flos-aquae/A. spiroides* Kleb. var. *tumida* Nyg.  
*Anabaena planctonica* Bruntn.  
*Anabaena spiroides* Kleb./*Anabaena crassa* (Lemm.) Kom.-Legn. et Cronb.  
*Anabaenopsis* sp.  
*Aphanizomenon flos-aquae* Ralfs ex Born et Flah.  
*Aphanizomenon gracile* (Lemm.) Lemm.  
*Aphanizomenon issatschenkoi* (Usacev) Proskina-Lavrenko  
*Aphanocapsa* sp.  
*Aphanothecoideae* indet.  
*Gloeotrichia echinulata* J.E. Smith ex P. Richt.  
*Limnothrix* spp.

*Limnothrix redekei* (Van Goor) Meffert

*Microcystis aeruginosa* (Kütz.) Kütz.  
*Microcystis wesenbergii* (Kom.) Kom. in Kondr.  
*Planktolyngbya limnetica* (Lemm.) Kom.-Legn. et Cronb.  
*Planktothrix* cf. *agardhii* (Gom.) Anag. et Kom.  
*Woronichinia naegeliana* (Unger) Elenk.

**Kl. Cryptophyceae**

*Cryptomonas* spp.  
*Rhodomonas* cf. *lens* Pascher et Ruttner  
*Rhodomonas minuta* Skuja

**Kl. Bacillariophyceae**

**Ord.: Centrales**  
*Acanthoceras zachariasii* (Brun) Simonsen  
*Aulacoseira granulata* (Ehrenb.) Simonsen  
*Aulacoseira islandica* (O. Müller) Simonsen  
*Cyclotella* spp.  
*Melosira varians* Agardh 1827

*Stephanodiscus* spp.  
*Stephanodiscus binderanus* (Kützing) Krieger  
*Stephanodiscus neoastraea* Håkansson & Hickel

Zentrale Diatomeen

**Ord.: Pennales**

*Asterionella formosa* Hassall  
*Diatoma* sp.  
*Diatoma* cf. *tenuis* Agardh  
*Fragilaria* spp.

*Fragilaria capucina* Desmazières  
*Fragilaria crotensis* Kitton  
*Fragilaria ulna* (Nitzsch) Lange-Bertalot 1980  
*Nitzschia* cf. *acicularis* (Kützing) W. Smith

**Kl. Chlorophyceae**

**Ord.: Volvocales**  
*Chlamydomonas* spp.  
*Chlorogonium* sp.  
*Nephroselmis* sp.  
*Pandorina morum* (O.F.Müller) Bory  
*Volvox* sp.

**Ord.: Chlorococcales**

*Actinastrum hantzschii* Lagerh.  
*Ankistrodesmus fusiformis* Corda 1838  
*Ankyra judayi* (G.M. Smith) Fott  
*Ankyra lanceolata* (Korš.) Fott  
*Botryococcus braunii* Kütz.  
*Coelastrum astroideum* De-Not  
*Coelastrum pseudomicroporum* Korš.  
*Dictyosphaerium* spp.  
*Eutetramorus/Sphaerocystis*  
*Lagerheimia genevensis* (Chod.) Chod.  
*Monoraphidium* spp.  
*Monoraphidium arcuatum* (Korš.) Hind.  
*Monoraphidium contortum* (Thur.) Kom.-Legn.  
*Monoraphidium minutum* (Näg.) Kom.-Legn.  
*Oocystis* spp.  
*Pediastrum boryanum* (Turp.) Menegh.  
*Pediastrum duplex* Meyen  
*Pediastrum tetras* (Ehrenb.) Ralfs  
*Scenedesmus* spp. Meyen  
*Scenedesmus acuminatus* (Lagerh.) Chod.  
*Schroederia* sp.  
*Tetraedron caudatum* (Corda) Hansg.  
*Tetraedron minimum* (A.Br.) Hansg.  
**Ord.: Ulotrichales**  
*Elakatothrix genevensis* Hind.  
*Koliella longiseta* Hind.  
*Planctonema lauterbornii* Schmidle  
**Kl. Conjugatophyceae**  
*Closterium* spp.  
*Closterium aciculare* T. West  
*Closterium acutum* Breb. var. *variabile* Krieger  
*Mougeotia* spp.  
*Staurastrum* spp.  
**Kl. Chrysophyceae**  
*Dinobryon divergens* Imhof  
*Dinobryon sociale* Ehrenberg  
**Kl. Haptophyceae**  
*Chrysochromulina parva* Lackey  
**Kl. Dinophyceae**  
*Ceratium furcoides* (Levander) Langhans  
*Ceratium hirundinella* (O.F. Müller) Duj.  
*Gymnodinium helveticum* Penard  
*Kolkwitziella acuta* (Apstein) Elbr.  
*Peridiniopsis* cf. *penardiforme* (Lindem.) Bourr.  
*Peridiniopsis polonicum* (Wołoszynska) Bourrelly  
*Peridinium* spp.  
*Wołoszynska pseudopalustris* (Wołoszynska) Kiselev  
**Unbestimmte Flagellaten**

## Tab. I

### ZOOPLANKTON

#### Protozoa

*Gymnodinium helveticum* Penard

#### Ciliata

Ciliata indet.

*Codonella cratera*

*Tintinnidium/Tintinnopsis* sp.

#### Rotatoria

*Asplanchna priodonta* Gosse 1850

*Brachionus angularis* Gosse 1851

*Brachionus calyciflorus* Pallas 1766

*Brachionus diversicornis* (Daday 1883)

*Collotheaca* spp. Herring 1913

*Conochilooides natans* (Seligo 1900)

*Conochilus unicornis* (Rousselet 1892)

*Euchlanis* cf. *dilatata* (Ehrenbg. 1832)

*Filinia longiseta* (Ehrenbg. 1834)

*Filinia longiseta* var. *limnetica* (Zacharias 1893)

*Filinia terminalis* (Plate 1886)

*Kellicottia longispina* (Kellicott 1879)

*Keratella cochlearis* (Gosse 1851)

*Keratella cochlearis* fa. *tecta*

*Keratella quadrata* (Müller 1786)

*Keratella valga* (Ehrenberg 1834)

*Notholca* sp. (Gosse 1886)

*Notholca acuminata* (Ehrenberg 1832)

*Polyarthra dolichoptera* Ideison 1925

*Polyarthra vulgaris* Carlin 1943

*Pompholyx sulcata* Hudson 1855

*Synchaeta* spp. Ehrenberg 1832

*Trichocerca capucina* (Wierzejski 1893)

*Trichocerca* cf. *porcellus* (Gosse 1886)

*Trichocerca similis* (Wierzejski 1893)

#### Cladocera

*Bosmina (Eubosmina) coregoni* Baird 1857

*Bosmina (Bosmina) longirostris* (O.F. Müller 1785)

*Ceriodaphnia* sp. Dana 1853

*Chydorus sphaericus* (O.F. Müller 1785)

*Daphnia longispina*-Komplex

*Daphnia cucullata* Sars 1862

*Daphnia galeata* Sars 1864

*Daphnia hyalina* Leydig 1860

*Diaphanosoma brachyurum* (Liévin 1848)

*Leptodora kindtii* (Focke 1844)

#### Copepoda

##### Calanoida

*Eudiaptomus gracilis* (Sars 1863)

*Eudiaptomus graciloides* (Lilljeborg 1888)

##### Cyclopoida

*Cyclops* sp. O.F. Müller 1785

*Cyclops kolensis* Lilljeborg 1901

*Cyclops vicinus* Uljanin 1875

*Diacyclops bicuspitatus* (Claus 1857)

*Mesocyclops leuckarti* (Claus 1857)

*Thermocyclops crassus* (Fischer 1853)

*Thermocyclops oithonoides* (Sars 1863)

#### Sonstige:

Bivalvia: *Dreissena* -Larven

Diptera: *Chaoborus* sp.

**Tab. II: Gesamt-Artenliste Phytoplankton und Zooplankton Lanker See**

<b>PHYTOPLANKTON</b>	
Kl.: Cyanophyceae	Ord.: <i>Volvocales</i> (Fortsetz.)
<i>Anabaena</i> sp.	<i>Phacotus lenticularis</i> (Ehrenberg) Stein
<i>Anabaena affinis</i> Lemmermann	<i>Pteromonas aculeata</i> Lemm.
<i>Anabaena circinalis</i> Rabenh. ex Born. et Flah.	Ord.: <i>Tetrasporales</i>
<i>Anabaena compacta</i> (Nyg.) Hickel	<i>Pseudosphaerocystis lacustris</i> (Lemm.) Nováková
<i>Anabaena</i> cf. <i>planctonia</i> Brunnth.	Ord.: <i>Chlorococcales</i>
<i>Anabaena spiroides</i> Kleb./ <i>Anabaena crassa</i> (Lemm.) Kom.-Legn. et Cronb.	<i>Actinastrum hantzschii</i> Lagerh.
<i>Anabaena flos-aquae</i> (Lyngb.) Breb./ <i>A. spiroides</i> Kleb. var. <i>tumida</i> Nyg.	<i>Ankistrodesmus fusiformis</i> Corda
<i>Anabaenopsis</i> sp.	<i>Ankyra judayi</i> (G.M. Smith) Fott
<i>Aphanizomenon flos-aquae</i> Ralfs ex Born et Flah.	<i>Ankyra lanceolata</i> (Korš.) Fott
<i>Aphanizomenon gracile</i> (Lemm.) Lemm.	<i>Coelastrum astroideum</i> De-Not
<i>Aphanizomenon issatschenkoi</i> (Usacev) Proskina-Lavrenko	<i>Coelastrum pseudomicroporum</i> Korš.
<i>Aphanocapsa</i> sp.	<i>Dictyosphaerium</i> spp.
Aphanotheccoidae indet	<i>Eutetramorus</i> / <i>Sphaerocystis</i>
<i>Gloeotrichia echinulata</i> J.E. Smith ex P. Richt.	<i>Lagerheimia genevensis</i> (Chod.) Chod.
<i>Limnothrix</i> spp.	<i>Monoraphidium</i> spp.
<i>Limnothrix redekei</i> (Van Goor) Meffert	<i>Monoraphidium arcuatum</i> (Korš.) Hind.
<i>Microcystis</i> spp.	<i>Monoraphidium contortum</i> (Thur.) Kom.-Legn.
<i>Microcystis aeruginosa</i> (Kütz.) Kütz.	<i>Monoraphidium minutum</i> (Näg.) Kom.-Legn.
<i>Microcystis wessenbergii</i> (Kom.) Kom. in Kondr.	<i>Oocystis</i> spp.
<i>Planktolyngbya limnetica</i> (Lemm.) Kom.-Legn. et Cronb.	<i>Pediastrum boryanum</i> (Turp.) Menegh.
<i>Planktothrix</i> cf. <i>agardhii</i> (Gom.) Anag. et Kom.	<i>Pediastrum duplex</i> Meyen
Pseudanabaenaceae indet.	<i>Pediastrum tetras</i> (Ehrenb.) Ralfs
<i>Pseudanabaena</i> spp.	<i>Scenedesmus</i> spp.
Kl. Cryptophyceae	<i>Scenedesmus acuminatus</i> (Lagerh.) Chod.
<i>Cryptomonas</i> spp.	<i>Tetraedron caudatum</i> (Corda) Hansg.
<i>Rhodomonas</i> cf. <i>lens</i> Pascher et Ruttner	<i>Tetraedron minimum</i> (A.Br.) Hansg.
<i>Rhodomonas minuta</i> Skuja	<i>Treubaria</i> sp.
Kl. Bacillariophyceae	Ord.: <i>Ulotrichales</i>
Ord.: Centrales	<i>Elakatothrix genevensis</i> Hind.
<i>Acanthoceras zachariasii</i> (Brun) Simonsen	<i>Planctonema lauterbornii</i> Schmidle
<i>Aulacoseira granulata</i> (Ehrenb.) Simonsen	Kl. Conjugatophyceae
<i>Aulacoseira granulata</i> var. <i>angustissima</i> (O.Müller) Simonsen	<i>Closterium</i> spp.
<i>Aulacoseira islandica</i> (O. Müller) Simonsen	<i>Closterium aciculare</i> T. West
<i>Cyclotella</i> spp.	<i>Closterium acutum</i> Breb. var. <i>variable</i> Krieger
<i>Melosira varians</i> Agardh	<i>Mougeotia</i> spp.
<i>Skeletonema</i> sp.	<i>Staurastrum</i> spp.
<i>Stephanodiscus</i> spp.	Kl. Chrysophyceae
<i>Stephanodiscus binderanus</i> (Kützing) Krieger	<i>Dinobryon divergens</i> Imhof
<i>Stephanodiscus neoastraea</i> Håkansson & Hickel	<i>Dinobryon sociale</i> Ehrenberg
Zentrale Diatomeen	Kl. Haptophyceae
Ord.: Pennales	<i>Chrysochromulina parva</i> Lackey
<i>Asterionella formosa</i> Hassall	Kl. Dinophyceae
<i>Diatoma</i> cf. <i>tenuis</i> Agardh	<i>Ceratium</i> spp.
<i>Fragilaria</i> spp.	<i>Ceratium furcoides</i> (Levander) Langhans
<i>Fragilaria crotensis</i> Kitton	<i>Ceratium hirundinella</i> (O.F. Müller) Duj.
<i>Fragilaria ulna</i> (Nitzsch) Lange-Bertalot	<i>Gymnodinium</i> sp.
<i>Nitzschia</i> cf. <i>acicularis</i> (Kützing) W. Smith	<i>Gymnodinium helveticum</i> Penard
<i>Nitzschia</i> cf. <i>sigmoidea</i> (Nitzsch) W. Smith	<i>Kolkwitziella acuta</i> (Apstein) Elbr.
Kl. Euglenophyceae	<i>Peridiniopsis</i> cf. <i>berolinense</i> (Lemm.) Bourrelly
<i>Phacus pyrum</i> (E.) Stein	<i>Peridiniopsis</i> cf. <i>penardiforme</i> (Lindem.) Bourr.
Kl. Chlorophyceae	<i>Peridiniopsis polonicum</i> (Woloszynska) Bourrelly
Ord.: Volvocales	<i>Peridinium</i> spp.
<i>Chlamydomonas</i> spp.	<i>Peridinium/Peridiniopsis</i> sp.
<i>Pandorina morum</i> (O.F.Müller) Bory	<i>Woloszynska pseudopalustris</i> (Wol.) Kiselev

## Tab. II

### ZOOPLANKTON

#### Protozoa

*Gymnodinium helveticum* Penard

#### Ciliata

Ciliata indet.

*Codonella cratera*

*Tintinnidium/Tintinnopsis* sp.

#### Rotatoria

*Anuraeopsis fissa* (Gosse 1851)

*Asplanchna priodonta* Gosse 1850

*Brachionus angularis* Gosse 1851

*Brachionus calyciflorus* Pallas 1766

*Brachionus diversicornis* (Daday 1883)

*Collothea* spp. Harring 1913

*Conochilooides natans* (Seligo 1900)

*Conochilus unicornis* (Rousselet 1892)

*Euchlanis* cf. *dilatata* (Ehrenbg. 1832)

*Filinia longiseta* (Ehrenbg. 1834)

*Filinia longiseta* var. *limnetica* (Zacharias 1893)

*Filinia terminalis* (Plate 1886)

*Kellicottia longispina* (Kellicott 1879)

*Keratella cochlearis* (Gosse 1851)

*Keratella cochlearis* fa. *tecta*

*Keratella quadrata* (Müller 1786)

*Keratella valga* (Ehrenberg 1834)

*Notholca* sp. (Gosse 1886)

*Polyarthra dolichoptera* Idelson 1925

*Polyarthra vulgaris* Carlin 1943

*Pompholyx sulcata* Hudson 1855

*Synchaeta* spp. Ehrenberg 1832

*Trichocerca capucina* (Wierzejski 1893)

*Trichocerca* cf. *porcellus* (Gosse 1886)

*Trichocerca pusilla* (Jennings 1903)

*Trichocerca similis* (Wierzejski 1893)

#### Cladocera

*Bosmina (Eubosmina) coregoni* Baird 1857

*Bosmina (Bosmina) longirostris* (O.F. Müller 1785)

*Chydorus sphaericus* (O.F. Müller 1785)

*Daphnia longispina*-Komplex

*Daphnia cucullata* Sars 1862

*Daphnia galeata* Sars 1864

*Daphnia hyalina* Leydig 1860

*Diaphanosoma brachyurum* (Liévin 1848)

*Leptodora kindtii* (Focke 1844)

#### Copepoda

##### Calanoida

*Eudiaptomus gracilis* (Sars 1863)

*Eudiaptomus graciloides* (Lilljeborg 1888)

##### Cyclopoida

*Acanthocyclops* cf. *robustus* (Sars 1863)

*Cyclops kolensis* Lilljeborg 1901

*Cyclops vicinus* Uljanin 1875

*Diacyclops bicuspis* (Claus 1857)

*Mesocyclops leuckarti* (Claus 1857)

*Thermocyclops crassus* (Fischer 1853)

*Thermocyclops oithonoides* (Sars 1863)

#### Sonstige:

Bivalvia: *Dreissena* -Larven

Diptera: *Chaoborus* sp.

**Tab. III:** Abundanzen und Biovolumina der wichtigsten Phytoplankontaxa im Kleinen Plöner See

ID-Nr.	Datum Parameter	23.01.02		25.02.02		03.04.02	
		Abund.	Bio-Vol.	Abund.	Bio-Vol.	Abund.	Bio-Vol.
		n/ml	mm <sup>3</sup> /l	n/ml	mm <sup>3</sup> /l	n/ml	mm <sup>3</sup> /l
<b>Kl. Cyanophyceae</b>							
306	<i>Anabaena</i> sp.						
292	<i>Anabaena affinis</i>						
294	<i>Anabaena circinalis</i>						
297	<i>Anabaena flos-aquae</i>						
(302)	<i>Anabaena cf. planctonica</i>						
	<i>Anabaena spiroides /crassa</i>						
	<i>Anabaena flos-aquae/ A. spiroides var. tumida</i>						
313	<i>Anabaenopsis</i> sp.						
324	<i>Aphanizomenon flos-aquae</i> (Trichome)					x	
325	<i>Aphanizomenon gracile</i> (Trichome)						
326	<i>Aphanizomenon issatschenkoi</i> (Trichome)						
333	<i>Aphanocapsa</i> sp.						
	Aphanothecoideae indet.						
	<i>Gloeotrichia echinulata</i>						
	<i>Limnothrix</i> spp. (Trichome)	40,95	0,031	12,28	0,009	251,68	0,170
	<i>Limnothrix</i> spp. (Trichome)					20,73	0,009
393	<i>Limnothrix redekei</i>	x		x		x	
417	<i>Microcystis aeruginosa</i>						
424	<i>Microcystis wesenbergii</i>						
524	<i>Planktolyngbya limnetica</i>						
(528)	<i>Planktothrix cf. agardhii</i> (Trichome)					x	
734	<i>Woronichinia naegeliana</i>						
<b>Kl. Cryptophyceae</b>							
267	<i>Cryptomonas</i> spp.	x		14,33	0,020	16,38	0,032
568	<i>Rhodomonas cf. lens</i>	56,48	0,027	204,49	0,099	168,74	0,063
572	<i>Rhodomonas minuta</i>	173,74	0,023	524,81	0,068	1843,30	0,166
<b>Kl. Bacillariophyceae</b>							
Ord.: Centrales							
279	<i>Acanthoceras zachariasii</i>						
	<i>Aulacoseira</i> spp. < 9 µm						
344	<i>Aulacoseira granulata</i>						
344	<i>Aulacoseira granulata</i> < 6 µm						
347	<i>Aulacoseira islandica</i>	530,53	1,923	683,54	2,528	70,78	0,262
347	<i>Aulacoseira islandica</i> < 10 µm	122,26	0,202	134,42	0,253	25,74	0,048
31	<i>Cyclotella</i> spp.					x	
	<i>Stephanodiscus</i> spp., Kettenform						
641	<i>Stephanodiscus binderanus</i>						
647	<i>Stephanodiscus neoastraea</i>	x		x		x	
737	Zentrale Diatomeen <12µm					545,20	0,080
752	Zentrale Diatomeen 4-6µm						
742	Zentrale Diatomeen 10-15µm						
	Zentrale Diatomeen 15-20(-22)µm						
745	Zentrale Diatomeen 12-30µm					100,10	0,174
741	Zentrale Diatomeen >30µm	8,01	0,149	58,68	1,080	12,96	0,239

**Tab. III:** Abundanzen und Biovolumina der wichtigsten Phytoplankontaxa im Kleinen Plöner See

ID-Nr.	Datum Parameter	23.01.02		25.02.02		03.04.02	
		Abund.	Bio-Vol.	Abund.	Bio-Vol.	Abund.	Bio-Vol.
		n/ml	mm <sup>3</sup> /l	n/ml	mm <sup>3</sup> /l	n/ml	mm <sup>3</sup> /l
<b>Ord.: Pennales</b>							
340	<i>Asterionella formosa</i>			33,67	0,019	203,77	0,114
47	<i>Diatoma</i> sp.					x	
	<i>Diatoma cf. tenuis</i>						
112	<i>Fragilaria</i> spp.						
102	<i>Fragilaria capucina</i>				x		
108	<i>Fragilaria crotonensis</i>			x			x
114	<i>Fragilaria ulna</i>				x		x
453	<i>Nitzschia</i> cf. <i>acicularis</i>					x	
<b>Kl. Chlorophyceae</b>							
<b>Ord.: Volvocales</b>							
9	<i>Chlamydomonas</i> spp.					x	
17	<i>Chlorogonium</i> sp.						
	<i>Nephroselmis</i> sp.					x	
480	<i>Pandorina morum</i>						
728	<i>Volvox</i> sp.						
<b>Ord.: Chlorococcales</b>							
283	<i>Actinastrum hantzschii</i>						
316	<i>Ankistrodesmus fusiformis</i>						
323	<i>Ankyra</i> spp.						
321	<i>Ankyra judayi</i>						
322	<i>Ankyra lanceolata</i>						
360	<i>Botryococcus braunii</i>						
224	<i>Coelastrum</i> spp.						
217	<i>Coelastrum astroideum</i>						
221	<i>Coelastrum pseudomicroporum</i>						
56	<i>Dictyosphaerium</i> spp.						
98	<i>Eutetramorus/ Sphaerocystis</i>						
384	<i>Lagerheimia genevensis</i>					x	
430	<i>Monoraphidium</i> spp.						
407	<i>Monoraphidium arcuatum</i>						
425	<i>Monoraphidium contortum</i>			x		x	
429	<i>Monoraphidium minutum</i>			x		x	
470	<i>Oocystis</i> spp.						
486	<i>Pediastrum boryanum</i>			x		x	
487	<i>Pediastrum duplex</i>						
492	<i>Pediastrum tetras</i>						
606	<i>Scenedesmus</i> spp.					x	
580	<i>Scenedesmus acuminatus</i>						
611	<i>Schroederia</i> sp.						
669	<i>Tetraedron caudatum</i>						
671	<i>Tetraedron minimum</i>					x	
<b>Ord.: Ulotrichales</b>							
84	<i>Elakatothrix genevensis</i>						
375	<i>Koliella longiseta</i>			x		x	
523	<i>Planctonema lauterbornii</i>					x	

**Tab. III:** Abundanzen und Biovolumina der wichtigsten Phytoplankontaxa im Kleinen Plöner See

ID-Nr.	Datum	23.01.02		25.02.02		03.04.02	
		Parameter	Abund.	Bio-Vol.	Abund.	Bio-Vol.	Abund.
			n/ml	mm <sup>3</sup> /l	n/ml	mm <sup>3</sup> /l	n/ml
<b>Kl. Conjugatophyceae</b>							
213	<i>Closterium</i> spp.						
198	<i>Closterium aciculare</i>						
201	<i>Closterium acutum</i> var. <i>variabile</i>		x		x		
434	<i>Mougeotia</i> spp.						
634	<i>Staurastrum</i> spp.						
<b>Kl. Chrysophyceae</b>							
78	<i>Dinobryon</i> spp.						
65	<i>Dinobryon divergens</i>						
75	<i>Dinobryon sociale</i>						
<b>Kl. Haptophyceae</b>							
179	<i>Chrysochromulina parva</i>				x	921,65	0,018
<b>Kl. Dinophyceae</b>							
369	<i>Ceratium furcoides</i>						
370	<i>Ceratium hirundinella</i>					x	
148	<i>Gymnodinium helveticum</i>				x		x
378	<i>Kolkwitziella acuta</i>						
495	<i>Peridiniopsis cf. penardiforme</i>						
497	<i>Peridiniopsis polonicum</i>						
505	<i>Peridinium</i> spp.		x				
145	<i>Woloszynskia pseudopalustris</i>						
99	<b>Unbestimmte Flagellaten</b>					x	
<b>SUMME</b>			2,355		4,077		1,375

**Tab. III:** Abundanzen und Biovolumina der wichtigsten Phytoplankontaxa im Kleinen Plöner See

ID-Nr.	Parameter	29.04.02		29.05.02		03.07.02	
		Abund.	Bio-Vol.	Abund.	Bio-Vol.	Abund.	Bio-Vol.
		n/ml	mm <sup>3</sup> /l	n/ml	mm <sup>3</sup> /l	n/ml	mm <sup>3</sup> /l
<b>Kl. Cyanophyceae</b>							
306	<i>Anabaena</i> sp.				x		
292	<i>Anabaena affinis</i>						
294	<i>Anabaena circinalis</i>					x	
297	<i>Anabaena flos-aquae</i>					x	
(302)	<i>Anabaena</i> cf. <i>planctonica</i>						
	<i>Anabaena spiroides /crassa</i>						
	<i>Anabaena flos-aquae/A. spiroides</i> var. <i>tumida</i>						
313	<i>Anabaenopsis</i> sp.						
324	<i>Aphanizomenon flos-aquae</i> (Trichome)		x		3,68	0,007	
325	<i>Aphanizomenon gracile</i> (Trichome)						
326	<i>Aphanizomenon issatschenkoi</i> (Trichome)						
333	<i>Aphanocapsa</i> sp.						
	Aphanothecoidae indet.						
	<i>Gloeotrichia echinulata</i>					x	
	<i>Limnothrix</i> spp. (Trichome)	33,60	0,023				
	<i>Limnothrix</i> spp. (Trichome)	82,22	0,035				
393	<i>Limnothrix redekei</i>						
417	<i>Microcystis aeruginosa</i>			x		x	
424	<i>Microcystis wesenbergii</i>						
524	<i>Planktolyngbya limnetica</i>						
(528)	<i>Planktothrix</i> cf. <i>agardhii</i> (Trichome)		x				
734	<i>Woronichinia naegeliana</i>						
<b>Kl. Cryptophyceae</b>							
267	<i>Cryptomonas</i> spp.	41,40	0,082	23,2	0,046	21,16	0,042
568	<i>Rhodomonas</i> cf. <i>lens</i>	334,62	0,124				
572	<i>Rhodomonas minuta</i>	289,57	0,026	855,14	0,095	1035,32	0,115
<b>Kl. Bacillariophyceae</b>							
Ord.: Centrales							
279	<i>Acanthoceras zachariasii</i>						
	<i>Aulacoseira</i> spp. < 9 µm					x	
344	<i>Aulacoseira granulata</i>						
344	<i>Aulacoseira granulata</i> < 6 µm						
347	<i>Aulacoseira islandica</i>		x				
347	<i>Aulacoseira islandica</i> < 10 µm						
31	<i>Cyclotella</i> spp.						
	<i>Stephanodiscus</i> spp., Kettenform						
641	<i>Stephanodiscus binderanus</i>					328,90	0,284
647	<i>Stephanodiscus neoastraea</i>		x				
737	Zentrale Diatomeen <12µm	44,33	0,030				
752	Zentrale Diatomeen 4-6µm	1505,8	0,138				
742	Zentrale Diatomeen 10-15µm						
	Zentrale Diatomeen 15-20(-22)µm						
745	Zentrale Diatomeen 12-30µm	34,3	0,059				
741	Zentrale Diatomeen >30µm	5,04	0,093				

**Tab. III:** Abundanzen und Biovolumina der wichtigsten Phytoplankontaxa im Kleinen Plöner See

ID-Nr.	Datum Parameter	29.04.02		29.05.02		03.07.02	
		Abund.	Bio-Vol.	Abund.	Bio-Vol.	Abund.	Bio-Vol.
		n/ml	mm <sup>3</sup> /l	n/ml	mm <sup>3</sup> /l	n/ml	mm <sup>3</sup> /l
<b>Ord.: Pennales</b>							
340	<i>Asterionella formosa</i>		29,67	0,017		130,58	0,070
47	<i>Diatoma</i> sp.				x		
	<i>Diatoma cf. tenuis</i>				x		
112	<i>Fragilaria</i> spp.						
102	<i>Fragilaria capucina</i>						
108	<i>Fragilaria crotonensis</i>		32,22	0,037		3102,46	3,925
114	<i>Fragilaria ulna</i>			x			
453	<i>Nitzschia</i> cf. <i>acicularis</i>			x			
<b>Kl. Chlorophyceae</b>							
<b>Ord.: Volvocales</b>							
9	<i>Chlamydomonas</i> spp.						
17	<i>Chlorogonium</i> sp.						
	<i>Nephroselmis</i> sp.						
480	<i>Pandorina morum</i>					x	
728	<i>Volvox</i> sp.						
<b>Ord.: Chlorococcales</b>							
283	<i>Actinastrum hantzschii</i>						
316	<i>Ankistrodesmus fusiformis</i>						
323	<i>Ankyra</i> spp.			1752,43	0,049		
321	<i>Ankyra judayi</i>			x		x	
322	<i>Ankyra lanceolata</i>			x		x	
360	<i>Botryococcus braunii</i>						
224	<i>Coelastrum</i> spp.			35,18	0,003		
217	<i>Coelastrum astroideum</i>						
221	<i>Coelastrum pseudomicroporum</i>			x			
56	<i>Dictyosphaerium</i> spp.						
98	<i>Eutetramorus/ Sphaerocystis</i>			134,06	0,013		
384	<i>Lagerheimia genevensis</i>			x			
430	<i>Monoraphidium</i> spp.			x			
407	<i>Monoraphidium arcuatulum</i>			x			
425	<i>Monoraphidium contortum</i>			x			
429	<i>Monoraphidium minutum</i>			x			
470	<i>Oocystis</i> spp.						
486	<i>Pediastrum boryanum</i>						
487	<i>Pediastrum duplex</i>						
492	<i>Pediastrum tetras</i>						
606	<i>Scenedesmus</i> spp.		x		x		x
580	<i>Scenedesmus acuminatus</i>				x		
611	<i>Schroederia</i> sp.					x	
669	<i>Tetraedron caudatum</i>						
671	<i>Tetraedron minimum</i>		x				
<b>Ord.: Ulotrichales</b>							
84	<i>Elakatothrix genevensis</i>		x		x		
375	<i>Koliella longiseta</i>						
523	<i>Planctonema lauterbornii</i>		x				

**Tab. III:** Abundanzen und Biovolumina der wichtigsten Phytoplankontaxa im Kleinen Plöner See

ID-Nr.	Datum	29.04.02		29.05.02		03.07.02	
		Parameter	Abund.	Bio-Vol.	Abund.	Bio-Vol.	Abund.
			n/ml	mm <sup>3</sup> /l	n/ml	mm <sup>3</sup> /l	n/ml
<b>Kl. Conjugatophyceae</b>							
213	<i>Closterium</i> spp.						
198	<i>Closterium aciculare</i>						
201	<i>Closterium acutum</i> var. <i>variabile</i>				x		x
434	<i>Mougeotia</i> spp.						x
634	<i>Staurastrum</i> spp.				x		
<b>Kl. Chrysophyceae</b>							
78	<i>Dinobryon</i> spp.						
65	<i>Dinobryon divergens</i>						
75	<i>Dinobryon sociale</i>					x	
<b>Kl. Haptophyceae</b>							
179	<i>Chrysochromulina parva</i>	3686,6	0,074		x		x
<b>Kl. Dinophyceae</b>							
369	<i>Ceratium furcoides</i>				x		
370	<i>Ceratium hirundinella</i>			x	0,98	0,051	7,08 0,367
148	<i>Gymnodinium helveticum</i>			x		x	
378	<i>Kolkwitziella acuta</i>						
495	<i>Peridiniopsis cf. penardiforme</i>						
497	<i>Peridiniopsis polonicum</i>					3,06	0,060
505	<i>Peridinium</i> spp.						x
145	<i>Woloszynskia pseudopalustris</i>				x		x
99	Unbestimmte Flagellaten		x				
<b>SUMME</b>			0,738		0,264		4,863

**Tab. III:** Abundanzen und Biovolumina der wichtigsten Phytoplankontaxa im Kleinen Plöner See

ID-Nr.	Datum Parameter	31.07.02		22.08.02		24.09.02	
		Abund.	Bio-Vol.	Abund.	Bio-Vol.	Abund.	Bio-Vol.
		n/ml	mm <sup>3</sup> /l	n/ml	mm <sup>3</sup> /l	n/ml	mm <sup>3</sup> /l
<b>Kl. Cyanophyceae</b>							
306	<i>Anabaena</i> sp.						
292	<i>Anabaena affinis</i>	x		x		x	
294	<i>Anabaena circinalis</i>	654,93	0,321	799,56	0,392		x
297	<i>Anabaena flos-aquae</i>		x				
(302)	<i>Anabaena cf. planctonica</i>				x		
	<i>Anabaena spiroides /crassa</i>	227,05	0,141		x		
	<i>Anabaena flos-aquae/ A. spiroides var. tumida</i>			1917,67	0,188	3448,93	0,338
313	<i>Anabaenopsis</i> sp.				x		
324	<i>Aphanizomenon flos-aquae</i> (Trichome)	x		13,65	0,024	20,02	0,035
325	<i>Aphanizomenon gracile</i> (Trichome)			70,07	0,124	83,66	0,111
326	<i>Aphanizomenon issatschenkoi</i> (Trichome)	x		11,83	0,009	31,15	0,024
333	<i>Aphanocapsa</i> sp.				x		
	Aphanothecoideae indet.		x		x		
	<i>Gloeotrichia echinulata</i>						
	<i>Limnothrix</i> spp. (Trichome)			460,83	0,270	5322,29	3,145
	<i>Limnothrix</i> spp. (Trichome)						
393	<i>Limnothrix redekei</i>						
417	<i>Microcystis aeruginosa</i>				x		
424	<i>Microcystis wesenbergii</i>				x		
524	<i>Planktolyngbya limnetica</i>	x		x		x	
(528)	<i>Planktothrix cf. agardhii</i> (Trichome)	x				x	
734	<i>Woronichinia naegeliana</i>						
<b>Kl. Cryptophyceae</b>							
267	<i>Cryptomonas</i> spp.			155,16	0,201	163,44	0,211
568	<i>Rhodomonas cf. lens</i>						
572	<i>Rhodomonas minuta</i>			2946,69	0,327	x	
<b>Kl. Bacillariophyceae</b>							
Ord.: Centrales							
279	<i>Acanthoceras zachariasii</i>				x		x
	<i>Aulacoseira</i> spp. < 9 µm						
344	<i>Aulacoseira granulata</i>	29,57	0,034	46,86	0,054		x
344	<i>Aulacoseira granulata</i> < 6 µm						
347	<i>Aulacoseira islandica</i>						
347	<i>Aulacoseira islandica</i> < 10 µm						
31	<i>Cyclotella</i> spp.	x				x	
	<i>Stephanodiscus</i> spp., Kettenform	261,69	0,087		x		x
641	<i>Stephanodiscus binderanus</i>	x				x	
647	<i>Stephanodiscus neoastraea</i>						
737	Zentrale Diatomeen <12µm				x		
752	Zentrale Diatomeen 4-6µm						
742	Zentrale Diatomeen 10-15µm						
	Zentrale Diatomeen 15-20(-22)µm						
745	Zentrale Diatomeen 12-30µm						
741	Zentrale Diatomeen >30µm						

**Tab. III:** Abundanzen und Biovolumina der wichtigsten Phytoplankontaxa im Kleinen Plöner See

ID-Nr.	Datum Parameter	31.07.02		22.08.02		24.09.02	
		Abund. n/ml	Bio-Vol. mm <sup>3</sup> /l	Abund. n/ml	Bio-Vol. mm <sup>3</sup> /l	Abund. n/ml	Bio-Vol. mm <sup>3</sup> /l
<b>Ord.: Pennales</b>							
340	<i>Asterionella formosa</i>		x		x		x
47	<i>Diatoma</i> sp.						
	<i>Diatoma</i> cf. <i>tenuis</i>		x		x		x
112	<i>Fragilaria</i> spp.		x		x		
102	<i>Fragilaria capucina</i>						
108	<i>Fragilaria crotonensis</i>	43,68	0,055		x		x
114	<i>Fragilaria ulna</i>		x		x		
453	<i>Nitzschia</i> cf. <i>acicularis</i>				x		
<b>Kl. Chlorophyceae</b>							
<b>Ord.: Volvocales</b>							
9	<i>Chlamydomonas</i> spp.						
17	<i>Chlorogonium</i> sp.				x		
	<i>Nephroselmis</i> sp.						
480	<i>Pandorina morum</i>						
728	<i>Volvox</i> sp.				x		
<b>Ord.: Chlorococcales</b>							
283	<i>Actinastrum hantzschii</i>		x		x		x
316	<i>Ankistrodesmus fusiformis</i>					x	
323	<i>Ankyra</i> spp.						
321	<i>Ankyra judayi</i>						
322	<i>Ankyra lanceolata</i>						
360	<i>Botryococcus braunii</i>				x		
224	<i>Coelastrum</i> spp.						
217	<i>Coelastrum astroideum</i>				x		
221	<i>Coelastrum pseudomicroporum</i>						
56	<i>Dictyosphaerium</i> spp.					x	
98	<i>Eutetramorus/ Sphaerocystis</i>						
384	<i>Lagerheimia genevensis</i>		x			x	
430	<i>Monoraphidium</i> spp.						
407	<i>Monoraphidium arcuatum</i>						
425	<i>Monoraphidium contortum</i>		x		x		
429	<i>Monoraphidium minutum</i>						
470	<i>Oocystis</i> spp.					x	
486	<i>Pediastrum boryanum</i>						
487	<i>Pediastrum duplex</i>	x		x			
492	<i>Pediastrum tetras</i>			x		x	
606	<i>Scenedesmus</i> spp.	x					
580	<i>Scenedesmus acuminatus</i>			x			
611	<i>Schroederia</i> sp.						
669	<i>Tetraedron caudatum</i>			x			
671	<i>Tetraedron minimum</i>						
<b>Ord.: Ulotrichales</b>							
84	<i>Elakatothrix genevensis</i>			x		x	
375	<i>Koliella longiseta</i>						
523	<i>Planctonema lauterbornii</i>						

**Tab. III:** Abundanzen und Biovolumina der wichtigsten Phytoplankontaxa im Kleinen Plöner See

ID-Nr.	Datum	31.07.02		22.08.02		24.09.02	
		Parameter	Abund.	Bio-Vol.	Abund.	Bio-Vol.	Abund.
			n/ml	mm <sup>3</sup> /l	n/ml	mm <sup>3</sup> /l	n/ml
<b>Kl. Conjugatophyceae</b>							
213	<i>Closterium</i> spp.				x		x
198	<i>Closterium aciculare</i>				x		x
201	<i>Closterium acutum</i> var. <i>variabile</i>				x		x
434	<i>Mougeotia</i> spp.	101,92	0,075	35,94	0,026		
634	<i>Staurastrum</i> spp.		x		x		
<b>Kl. Chrysophyceae</b>							
78	<i>Dinobryon</i> spp.	1012,52	0,248				
65	<i>Dinobryon divergens</i>		x		x		
75	<i>Dinobryon sociale</i>		x		x		
<b>Kl. Haptophyceae</b>							
179	<i>Chrysochromulina parva</i>		x		700,97	0,014	
<b>Kl. Dinophyceae</b>							
369	<i>Ceratium furcoides</i>		x				x
370	<i>Ceratium hirundinella</i>		x		x		x
148	<i>Gymnodinium helveticum</i>						
378	<i>Kolkwitziella acuta</i>		x				
495	<i>Peridiniopsis cf. penardiforme</i>				x		
497	<i>Peridiniopsis polonicum</i>	40,14	0,793	126,49	2,499		
505	<i>Peridinium</i> spp.				x		
145	<i>Woloszynskia pseudopalustris</i>		x		x		
99	Unbestimmte Flagellaten						
<b>SUMME</b>			1,753		4,128		3,865

**Tab. III:** Abundanzen und Biovolumina der wichtigsten Phytoplankontaxa im Kleinen Plöner See

ID-Nr.	Parameter	30.10.02		03.12.02	
		Abund.	Bio-Vol.	Abund.	Bio-Vol.
		n/ml	mm <sup>3</sup> /l	n/ml	mm <sup>3</sup> /l
<b>Kl. Cyanophyceae</b>					
306	<i>Anabaena</i> sp.				
292	<i>Anabaena affinis</i>				
294	<i>Anabaena circinalis</i>				
297	<i>Anabaena flos-aquae</i>				
(302)	<i>Anabaena cf. planctonica</i>				
	<i>Anabaena spiroides /crassa</i>				
	<i>Anabaena flos-aquae/A. spiroides var. tumida</i>		x		
313	<i>Anabaenopsis</i> sp.				
324	<i>Aphanizomenon flos-aquae</i> (Trichome)	15,13	0,021	x	
325	<i>Aphanizomenon gracile</i> (Trichome)	17,35	0,032		
326	<i>Aphanizomenon issatschenkoi</i> (Trichome)				
333	<i>Aphanocapsa</i> sp.				
	Aphanothecoideae indet.				
	<i>Gloeotrichia echinulata</i>				
	<i>Limnothrix</i> spp. (Trichome)	2006,34	1,015		
	<i>Limnothrix</i> spp. (Trichome)				
393	<i>Limnothrix redekei</i>				
417	<i>Microcystis aeruginosa</i>				
424	<i>Microcystis wesenbergii</i>				
524	<i>Planktolyngbya limnetica</i>				
(528)	<i>Planktothrix cf. agardhii</i> (Trichome)	31,15	0,094	x	
734	<i>Woronichinia naegeliana</i>	x			
<b>Kl. Cryptophyceae</b>					
267	<i>Cryptomonas</i> spp.	x		x	
568	<i>Rhodomonas cf. lens</i>				
572	<i>Rhodomonas minuta</i>	207,06	0,023	x	
<b>Kl. Bacillariophyceae</b>					
Ord.: Centrales					
279	<i>Acanthoceras zachariasii</i>				
	<i>Aulacoseira</i> spp. < 9 µm			27,17	0,039
344	<i>Aulacoseira granulata</i>	77,43	0,050		
344	<i>Aulacoseira granulata</i> < 6 µm				
347	<i>Aulacoseira islandica</i>	28,03	0,082	186,61	0,549
347	<i>Aulacoseira islandica</i> < 10 µm				
31	<i>Cyclotella</i> spp.				
	<i>Stephanodiscus</i> spp., Kettenform				
641	<i>Stephanodiscus binderanus</i>				
647	<i>Stephanodiscus neoastraea</i>	x		x	
737	Zentrale Diatomeen <12µm				
752	Zentrale Diatomeen 4-6µm				
742	Zentrale Diatomeen 10-15µm	x			
	Zentrale Diatomeen 15-20(-22)µm	299,88	0,595		
745	Zentrale Diatomeen 12-30µm				
741	Zentrale Diatomeen >30µm	21,06	0,294	19,98	0,279

**Tab. III:** Abundanzen und Biovolumina der wichtigsten Phytoplankontaxa im Kleinen Plöner See

ID-Nr.	Parameter	30.10.02		03.12.02	
		Abund.	Bio-Vol.	Abund.	Bio-Vol.
		n/ml	mm <sup>3</sup> /l	n/ml	mm <sup>3</sup> /l
<b>Ord.: Pennales</b>					
340	<i>Asterionella formosa</i>		44,94	0,022	7,38
47	<i>Diatoma</i> sp.				0,004
	<i>Diatoma cf. tenuis</i>				
112	<i>Fragilaria</i> spp.				
102	<i>Fragilaria capucina</i>				
108	<i>Fragilaria crotonensis</i>			x	
114	<i>Fragilaria ulna</i>			x	
453	<i>Nitzschia</i> cf. <i>acicularis</i>				
<b>Kl. Chlorophyceae</b>					
<b>Ord.: Volvocales</b>					
9	<i>Chlamydomonas</i> spp.				
17	<i>Chlorogonium</i> sp.				
	<i>Nephroselmis</i> sp.				
480	<i>Pandorina morum</i>				
728	<i>Volvox</i> sp.				
<b>Ord.: Chlorococcales</b>					
283	<i>Actinastrum hantzschii</i>			x	
316	<i>Ankistrodesmus fusiformis</i>				
323	<i>Ankyra</i> spp.				
321	<i>Ankyra judayi</i>				
322	<i>Ankyra lanceolata</i>				
360	<i>Botryococcus braunii</i>				
224	<i>Coelastrum</i> spp.				
217	<i>Coelastrum astroideum</i>				
221	<i>Coelastrum pseudomicroporum</i>				
56	<i>Dictyosphaerium</i> spp.				
98	<i>Eutetramorus/ Sphaerocystis</i>				
384	<i>Lagerheimia genevensis</i>		x		
430	<i>Monoraphidium</i> spp.				
407	<i>Monoraphidium arcuatum</i>				
425	<i>Monoraphidium contortum</i>				
429	<i>Monoraphidium minutum</i>				
470	<i>Oocystis</i> spp.				
486	<i>Pediastrum boryanum</i>	x		x	
487	<i>Pediastrum duplex</i>				
492	<i>Pediastrum tetras</i>	x		x	
606	<i>Scenedesmus</i> spp.	x			
580	<i>Scenedesmus acuminatus</i>				
611	<i>Schroederia</i> sp.				
669	<i>Tetraedron caudatum</i>				
671	<i>Tetraedron minimum</i>				
<b>Ord.: Ulotrichales</b>					
84	<i>Elakatothrix genevensis</i>	x			
375	<i>Koliella longiseta</i>				
523	<i>Planctonema lauterbornii</i>				

**Tab. III:** Abundanzen und Biovolumina der wichtigsten Phytoplankontaxa im Kleinen Plöner See

ID-Nr.	Datum	30.10.02		03.12.02	
		Parameter	Abund.	Bio-Vol.	Abund.
			n/ml	mm <sup>3</sup> /l	n/ml
<b>Kl. Conjugatophyceae</b>					
213	<i>Closterium</i> spp.			x	
198	<i>Closterium aciculare</i>				x
201	<i>Closterium acutum</i> var. <i>variabile</i>		x		x
434	<i>Mougeotia</i> spp.				
634	<i>Staurastrum</i> spp.		x		
<b>Kl. Chrysophyceae</b>					
78	<i>Dinobryon</i> spp.				
65	<i>Dinobryon divergens</i>				
75	<i>Dinobryon sociale</i>				
<b>Kl. Haptophyceae</b>					
179	<i>Chrysochromulina parva</i>				
<b>Kl. Dinophyceae</b>					
369	<i>Ceratium furcoides</i>				
370	<i>Ceratium hirundinella</i>				
148	<i>Gymnodinium helveticum</i>			x	
378	<i>Kolkwitziella acuta</i>				
495	<i>Peridiniopsis cf. penardiforme</i>				
497	<i>Peridiniopsis polonicum</i>				
505	<i>Peridinium</i> spp.				
145	<i>Woloszynskia pseudopalustris</i>				
99	<b>Unbestimmte Flagellaten</b>				
<b>SUMME</b>			2,228		0,870

**Tabelle IV:** Abundanzen und Biovolumina der wichtigsten Phytoplankton-Taxa im Lanker See (tiefste Stelle)

ID-Nr.	Parameter	Datum	24.01.02		20.02.02		02.04.02	
		Abund.	Bio-Vol.	Abund.	Bio-Vol.	Abund.	Bio-Vol.	
		n/ml	mm <sup>3</sup> /l	n/ml	mm <sup>3</sup> /l	n/ml	mm <sup>3</sup> /l	
<b>Kl. Cyanophyceae</b>								
306	<i>Anabaena</i> sp.							
292	<i>Anabaena affinis</i>							
294	<i>Anabaena circinalis</i>							
295	<i>Anabaena compacta</i>							
(302)	<i>Anabaena</i> cf. <i>plantonica</i>							
307	<i>Anabaena spiroides/crassa</i>							
	<i>Anabaena flos-aquae/A. spiroides</i> var. <i>tumida</i>							
313	<i>Anabaenopsis</i> sp.							
	<i>Aphanizomenon</i> spp.							
324	<i>Aphanizomenon flos-aquae</i> (Trichome)					x		
325	<i>Aphanizomenon gracile</i> (Trichome)							
326	<i>Aphanizomenon issatschenkoi</i> (Trichome)							
	<i>Aphanothecoideae</i> indet.							
	<i>Gloeotrichia echinulata</i>							
	<i>Limnothrix</i> spp. (Trichome)					102,15	0,096	
	<i>Limnothrix</i> spp. (Trichome)					x		
393	<i>Limnothrix redekei</i>					x		
417	<i>Microcystis aeruginosa</i>							
524	<i>Planktolyngbya limnetica</i>							
(528)	<i>Planktothrix</i> cf. <i>agardhii</i> (Trichome)			x				
	<i>Pseudanabaenaceae</i> indet. (Trichome)							
541	<i>Pseudanabaena</i> spp.							
<b>Kl. Cryptophyceae</b>								
267	<i>Cryptomonas</i> spp.	17,75	0,028	39,72	0,063	124,95	0,198	
267	<i>Cryptomonas</i> spp.							
568	<i>Rhodomonas</i> cf. <i>lens</i>	114,24	0,055	203,49	0,099	610,47	0,283	
572	<i>Rhodomonas minuta</i>	581,91	0,086	903,21	0,133	3337,95	0,327	
<b>Kl. Bacillariophyceae</b>								
<b>Ord.: Centrales</b>								
279	<i>Acanthoceras zachariasii</i>							
	<i>Aulacoseira</i> spp. < 9 µm							
344	<i>Aulacoseira granulata</i>							
344	<i>Aulacoseira granulata</i> < 6 µm							
345	<i>Aulacoseira granulata</i> var. <i>angustissima</i>							
347	<i>Aulacoseira islandica</i>	2791,74	9,350	2449,02	7,722			
347	<i>Aulacoseira islandica</i> < 10 µm	963,9	1,594	506,94	0,838			
31	<i>Cyclotella</i> spp.							
616	<i>Skeletonema</i> sp.							
649	<i>Stephanodiscus</i> spp.							
	<i>Stephanodiscus</i> spp., Kettenform							
641	<i>Stephanodiscus binderanus</i>			110,36	0,084	x		
647	<i>Stephanodiscus neoastraea</i>	x		x				
737	Zentrale Diatomeen <12µm	x		860,37	0,206	367,71	0,251	
752	Zentrale Diatomeen 4-6µm					1963,5	0,216	
742	Zentrale Diatomeen 10-15µm							

**Tabelle IV:** Abundanzen und Biovolumina der wichtigsten Phytoplankton-Taxa im Lanker See (tiefste Stelle)

ID-Nr.	Datum	24.01.02		20.02.02		02.04.02	
		Parameter	Abund.	Bio-Vol.	Abund.	Bio-Vol.	Abund.
			n/ml	mm <sup>3</sup> /l	n/ml	mm <sup>3</sup> /l	n/ml
746	Zentrale Diatomeen 15-20µm						
745	Zentrale Diatomeen 12-30µm					253,47	0,423
741	Zentrale Diatomeen >30µm		64,52	0,910	151,3	2,152	
	Ord.: Pennales						
340	<i>Asterionella formosa</i>		x		234,07	0,129	667,59
	<i>Diatoma cf. tenuis</i>		x		x		x
112	<i>Fragilaria</i> spp.						
108	<i>Fragilaria crotonensis</i>		x		x		x
114	<i>Fragilaria ulna</i>						
453	<i>Nitzschia</i> cf. <i>acicularis</i>						x
	<i>Nitzschia</i> cf. <i>sigmoidea</i>						
	KL. Euglenophyceae						
516	<i>Phacus pyrum</i>						
	KL. Chlorophyceae						
	Ord.: Volvocales						
9	<i>Chlamydomonas</i> spp.					229,27	0,421
480	<i>Pandorina morum</i>						
512	<i>Phacus lenticularis</i>						
	Ord.: Chlorococcales						
283	<i>Actinastrum hantzschii</i>						
318	<i>Ankistrodesmus</i> sp.						
323	<i>Ankyra</i> spp.						
321	<i>Ankyra judayi</i>						
322	<i>Ankyra lanceolata</i>						
224	<i>Coelastrum</i> spp.						
217	<i>Coelastrum astroideum</i>						
221	<i>Coelastrum pseudomicroporum</i>						
56	<i>Dictyosphaerium</i> spp.						
98	<i>Eutetramorus/ Sphaerocystis</i>						
384	<i>Lagerheimia genevensis</i>						
430	<i>Monoraphidium</i> spp.						
407	<i>Monoraphidium arcuatum</i>						
425	<i>Monoraphidium contortum</i>						x
429	<i>Monoraphidium minutum</i>						
470	<i>Oocystis</i> spp.						
486	<i>Pediastrum boryanum</i>						
487	<i>Pediastrum duplex</i>						
492	<i>Pediastrum tetras</i>				x		
606	<i>Scenedesmus</i> spp.				x		x
580	<i>Scenedesmus acuminatus</i>						
669	<i>Tetraedron caudatum</i>						
694	<i>Treubaria</i> sp.						
	Ord.: Ulotrichales						
84	<i>Elakatothrix genevensis</i>						
523	<i>Planctonema lauterbornii</i>						

**Tabelle IV:** Abundanzen und Biovolumina der wichtigsten Phytoplankton-Taxa im Lanker See (tiefste Stelle)

ID-Nr.	Datum	24.01.02		20.02.02		02.04.02	
		Parameter	Abund.	Bio-Vol.	Abund.	Bio-Vol.	Abund.
			n/ml	mm <sup>3</sup> /l	n/ml	mm <sup>3</sup> /l	n/ml
<b>Kl. Conjugatophyceae</b>							
213	<i>Closterium</i> spp.					x	
198	<i>Closterium aciculare</i>					x	
201	<i>Closterium acutum</i> var. <i>variabile</i>					x	
434	<i>Mougeotia</i> spp.						
634	<i>Staurastrum</i> spp.						
<b>Kl. Chrysophyceae</b>							
65	<i>Dinobryon divergens</i>						
75	<i>Dinobryon sociale</i>						
<b>Kl. Haptophyceae</b>							
179	<i>Chrysochromulina parva</i>					7425,6	0,156
<b>Kl. Dinophyceae</b>							
371	<i>Ceratium</i> spp.						
369	<i>Ceratium furcoides</i>						
370	<i>Ceratium hirundinella</i>						
150	<i>Gymnodinium</i> sp.					x	
148	<i>Gymnodinium helveticum</i>			x		x	
378	<i>Kolkwitziella acuta</i>						
	<i>Peridiniopsis cf. berolinense</i>						
495	<i>Peridiniopsis cf. penardiforme</i>						
497	<i>Peridiniopsis polonicum</i>						
505	<i>Peridinium</i> spp.						
509	<i>Peridinium/Peridiniopsis</i> sp.		x		x		x
145	<i>Woloszynskia pseudopalustris</i>						
99	Unbestimmte Flagellaten					x	
<b>SUMME</b>			12,023		11,425		2,739

**Tabelle IV:** Abundanzen und Biovolumina der wichtigsten Phytoplankton-Taxa im Lanker See (tiefste Stelle)

ID-Nr.	Parameter	Datum	24.04.02		28.05.02		26.06.02	
		Abund.	Bio-Vol.	Abund.	Bio-Vol.	Abund.	Bio-Vol.	
		n/ml	mm <sup>3</sup> /l	n/ml	mm <sup>3</sup> /l	n/ml	mm <sup>3</sup> /l	
<b>Kl. Cyanophyceae</b>								
306	<i>Anabaena</i> sp.			3084,38	0,089	1502,75	0,044	
292	<i>Anabaena affinis</i>					1606,81	0,225	
294	<i>Anabaena circinalis</i>					x		
295	<i>Anabaena compacta</i>							
(302)	<i>Anabaena cf. plantonica</i>					35,44	0,017	
307	<i>Anabaena spiroides /crassa</i>							
	<i>Anabaena flos-aquae/ A. spiroides var. tumida</i>							
313	<i>Anabaenopsis</i> sp.							
	<i>Aphanizomenon</i> spp.					27,56	0,055	
324	<i>Aphanizomenon flos-aquae</i> (Trichome)			32,40	0,057	x		
325	<i>Aphanizomenon gracile</i> (Trichome)							
326	<i>Aphanizomenon issatschenkoi</i> (Trichome)							
	Aphanothecoideae indet.					x		
	<i>Gloeotrichia echinulata</i>					x		
	<i>Limnothrix</i> spp. (Trichome)	476,70	0,448					
	<i>Limnothrix</i> spp. (Trichome)	99,88	0,054					
393	<i>Limnothrix redekei</i>		x					
417	<i>Microcystis aeruginosa</i>				x			
524	<i>Planktolyngbya limnetica</i>							
(528)	<i>Planktothrix cf. agardhii</i> (Trichome)		x					
	Pseudanabaenaceae indet. (Trichome)							
541	<i>Pseudanabaena</i> spp.							
<b>Kl. Cryptophyceae</b>								
267	<i>Cryptomonas</i> spp.			560,69	1,167			
267	<i>Cryptomonas</i> spp.							
568	<i>Rhodomonas cf. lens</i>		x					
572	<i>Rhodomonas minuta</i>		x	6840,12	0,821	x		
<b>Kl. Bacillariophyceae</b>								
<b>Ord.: Centrales</b>								
279	<i>Acanthoceras zachariasii</i>							
	<i>Aulacoseira</i> spp. < 9 µm							
344	<i>Aulacoseira granulata</i>					2820,30	3,805	
344	<i>Aulacoseira granulata</i> < 6 µm					560,49	0,370	
345	<i>Aulacoseira granulata</i> var. <i>angustissima</i>							
347	<i>Aulacoseira islandica</i>							
347	<i>Aulacoseira islandica</i> < 10 µm							
31	<i>Cyclotella</i> spp.		x					
616	<i>Skeletonema</i> sp.							
649	<i>Stephanodiscus</i> spp.		x					
	<i>Stephanodiscus</i> spp., Kettenform							
641	<i>Stephanodiscus binderanus</i>					x		
647	<i>Stephanodiscus neoastraea</i>							
737	Zentrale Diatomeen <12µm							
752	Zentrale Diatomeen 4-6µm	4855,2	0,535					
742	Zentrale Diatomeen 10-15µm							

**Tabelle IV:** Abundanzen und Biovolumina der wichtigsten Phytoplankton-Taxa im Lanker See (tiefste Stelle)

ID-Nr.	Datum Parameter	24.04.02		28.05.02		26.06.02	
		Abund.	Bio-Vol.	Abund.	Bio-Vol.	Abund.	Bio-Vol.
		n/ml	mm <sup>3</sup> /l	n/ml	mm <sup>3</sup> /l	n/ml	mm <sup>3</sup> /l
746	Zentrale Diatomeen 15-20µm						
745	Zentrale Diatomeen 12-30µm		x				
741	Zentrale Diatomeen >30µm						
	Ord.: Pennales						
340	<i>Asterionella formosa</i>	417,68	0,231	30,9	0,017	274,89	0,148
	<i>Diatoma cf. tenuis</i>		x				
112	<i>Fragilaria</i> spp.					367,71	0,193
108	<i>Fragilaria crotonensis</i>	383,77	0,444			106,80	0,135
114	<i>Fragilaria ulna</i>		x			x	
453	<i>Nitzschia</i> cf. <i>acicularis</i>						
	<i>Nitzschia</i> cf. <i>sigmoidea</i>						
	KL. Euglenophyceae						
516	<i>Phacus pyrum</i>						
	KL. Chlorophyceae						
	Ord.: Volvocales						
9	<i>Chlamydomonas</i> spp.		x				
480	<i>Pandorina morum</i>						
512	<i>Phacotus lenticularis</i>					x	
	Ord.: Chlorococcales						
283	<i>Actinastrum hantzschii</i>						
318	<i>Ankistrodesmus</i> sp.						
323	<i>Ankyra</i> spp.			4348,7	0,130		
321	<i>Ankyra judayi</i>			x			
322	<i>Ankyra lanceolata</i>			x			
224	<i>Coelastrum</i> spp.			78,22	0,008		
217	<i>Coelastrum astroideum</i>						
221	<i>Coelastrum pseudomicroporum</i>			x			
56	<i>Dictyosphaerium</i> spp.						
98	<i>Eutetramorus/ Sphaerocystis</i>			92,8	0,009		
384	<i>Lagerheimia genevensis</i>		x				
430	<i>Monoraphidium</i> spp.		x				
407	<i>Monoraphidium arcuatum</i>		x				
425	<i>Monoraphidium contortum</i>		x				
429	<i>Monoraphidium minutum</i>		x				
470	<i>Oocystis</i> spp.						
486	<i>Pediastrum boryanum</i>			x			
487	<i>Pediastrum duplex</i>			x			
492	<i>Pediastrum tetras</i>						
606	<i>Scenedesmus</i> spp.		x			x	
580	<i>Scenedesmus acuminatus</i>					x	
669	<i>Tetraedron caudatum</i>						
694	<i>Treubaria</i> sp.						
	Ord.: Ulotrichales						
84	<i>Elakatothrix genevensis</i>	x		x			
523	<i>Planctonema lauterbornii</i>	x					

**Tabelle IV:** Abundanzen und Biovolumina der wichtigsten Phytoplankton-Taxa im Lanker See (tiefste Stelle)

ID-Nr.	Datum	24.04.02		28.05.02		26.06.02	
		Parameter	Abund.	Bio-Vol.	Abund.	Bio-Vol.	Abund.
			n/ml	mm <sup>3</sup> /l	n/ml	mm <sup>3</sup> /l	n/ml
<b>Kl. Conjugatophyceae</b>							
213	<i>Closterium</i> spp.						
198	<i>Closterium aciculare</i>						
201	<i>Closterium acutum</i> var. <i>variabile</i>						
434	<i>Mougeotia</i> spp.						
634	<i>Staurastrum</i> spp.						
<b>Kl. Chrysophyceae</b>							
65	<i>Dinobryon divergens</i>		x			x	
75	<i>Dinobryon sociale</i>						
<b>Kl. Haptophyceae</b>							
179	<i>Chrysocromulina parva</i>	9317,7	0,196			x	
<b>Kl. Dinophyceae</b>							
371	<i>Ceratium</i> spp.						
369	<i>Ceratium furcoides</i>						
370	<i>Ceratium hirundinella</i>		x		x	2,70	0,140
150	<i>Gymnodinium</i> sp.						
148	<i>Gymnodinium helveticum</i>		x				
378	<i>Kolkwitziella acuta</i>						
	<i>Peridiniopsis cf. berolinense</i>					x	
495	<i>Peridiniopsis cf. penardiforme</i>						
497	<i>Peridiniopsis polonicum</i>						
505	<i>Peridinium</i> spp.						
509	<i>Peridinium/Peridiniopsis</i> sp.						
145	<i>Woloszynska pseudopalustris</i>						
99	Unbestimmte Flagellaten		x				
<b>SUMME</b>			1,908		2,299		5,132

**Tabelle IV:** Abundanzen und Biovolumina der wichtigsten Phytoplankton-Taxa im Lanker See (tiefste Stelle)

ID-Nr.	Parameter	30.07.02		02.09.02		30.09.02	
		Abund.	Bio-Vol.	Abund.	Bio-Vol.	Abund.	Bio-Vol.
		n/ml	mm <sup>3</sup> /l	n/ml	mm <sup>3</sup> /l	n/ml	mm <sup>3</sup> /l
<b>Kl. Cyanophyceae</b>							
306	<i>Anabaena</i> sp.						
292	<i>Anabaena affinis</i>	39502,54	7,545	x			
294	<i>Anabaena circinalis</i>		x	1339,59	0,674		
295	<i>Anabaena compacta</i>			x			
(302)	<i>Anabaena cf. planctonica</i>		x		x		
307	<i>Anabaena spiroides /crassa</i>	1778,22	0,628				
	<i>Anabaena flos-aquae/ A. spiroides var. tumida</i>			x			
313	<i>Anabaenopsis</i> sp.		x				
	<i>Aphanizomenon</i> spp.						
324	<i>Aphanizomenon flos-aquae</i> (Trichome)	118,04	0,170	106,69	0,154		
325	<i>Aphanizomenon gracile</i> (Trichome)	83,99	0,126	124,85	0,187		
326	<i>Aphanizomenon issatschenkoi</i> (Trichome)			63,56	0,043		
	Aphanothecoideae indet.			x			
	<i>Gloeotrichia echinulata</i>						
	<i>Limnothrix</i> spp. (Trichome)			392,70	0,245		
	<i>Limnothrix</i> spp. (Trichome)						
393	<i>Limnothrix redekei</i>						
417	<i>Microcystis aeruginosa</i>		x		x		
524	<i>Planktolyngbya limnetica</i>			x			
(528)	<i>Planktothrix cf. agardhii</i> (Trichome)			179,33	0,353		
	Pseudanabaenaceae indet. (Trichome)			1149,54	0,289		
541	<i>Pseudanabaena</i> spp.			x			
<b>Kl. Cryptophyceae</b>							
267	<i>Cryptomonas</i> spp.		x	121,38	0,193		
267	<i>Cryptomonas</i> spp.			142,8	0,119		
568	<i>Rhodomonas cf. lens</i>						
572	<i>Rhodomonas minuta</i>		x		x		
<b>Kl. Bacillariophyceae</b>							
<b>Ord.: Centrales</b>							
279	<i>Acanthoceras zachariasii</i>			x			
	<i>Aulacoseira</i> spp. < 9 µm						
344	<i>Aulacoseira granulata</i>	658,30	0,888	458,54	0,619		
344	<i>Aulacoseira granulata</i> < 6 µm						
345	<i>Aulacoseira granulata</i> var. <i>angustissima</i>			x			
347	<i>Aulacoseira islandica</i>						
347	<i>Aulacoseira islandica</i> < 10 µm						
31	<i>Cyclotella</i> spp.						
616	<i>Skeletonema</i> sp.						
649	<i>Stephanodiscus</i> spp.						
	<i>Stephanodiscus</i> spp., Kettenform	1267,35	0,419	1435,14	0,475		
641	<i>Stephanodiscus binderanus</i>		x		x		
647	<i>Stephanodiscus neoastraea</i>						
737	Zentrale Diatomeen <12µm		x		x		
752	Zentrale Diatomeen 4-6µm						
742	Zentrale Diatomeen 10-15µm						

**Tabelle IV:** Abundanzen und Biovolumina der wichtigsten Phytoplankton-Taxa im Lanker See (tiefste Stelle)

ID-Nr.	Datum	30.07.02		02.09.02		30.09.02	
		Parameter	Abund.	Bio-Vol.	Abund.	Bio-Vol.	Abund.
			n/ml	mm <sup>3</sup> /l	n/ml	mm <sup>3</sup> /l	n/ml
746	Zentrale Diatomeen 15-20µm						
745	Zentrale Diatomeen 12-30µm				x		
741	Zentrale Diatomeen >30µm						
	<b>Ord.: Pennales</b>						
340	<i>Asterionella formosa</i>		x		x		
	<i>Diatoma cf. tenuis</i>						
112	<i>Fragilaria</i> spp.						
108	<i>Fragilaria crotonensis</i>		x				
114	<i>Fragilaria ulna</i>		x		x		
453	<i>Nitzschia</i> cf. <i>acicularis</i>		x				
	<i>Nitzschia</i> cf. <i>sigmoidea</i>						
	<b>Kl. Euglenophyceae</b>						
516	<i>Phacus pyrum</i>				x		
	<b>Kl. Chlorophyceae</b>						
	<b>Ord.: Volvocales</b>						
9	<i>Chlamydomonas</i> spp.						
480	<i>Pandorina morum</i>		x				
512	<i>Phacotus lenticularis</i>						
	<b>Ord.: Chlorococcales</b>						
283	<i>Actinastrum hantzschii</i>		x		x		
318	<i>Ankistrodesmus</i> sp.		x				
323	<i>Ankyra</i> spp.						
321	<i>Ankyra judayi</i>						
322	<i>Ankyra lanceolata</i>						
224	<i>Coelastrum</i> spp.						
217	<i>Coelastrum astroideum</i>				x		
221	<i>Coelastrum pseudomicroporum</i>						
56	<i>Dictyosphaerium</i> spp.						
98	<i>Eutetramorus/ Sphaerocystis</i>						
384	<i>Lagerheimia genevensis</i>		x				
430	<i>Monoraphidium</i> spp.						
407	<i>Monoraphidium arcuatum</i>						
425	<i>Monoraphidium contortum</i>				x		
429	<i>Monoraphidium minutum</i>						
470	<i>Oocystis</i> spp.		x				
486	<i>Pediastrum boryanum</i>		x				
487	<i>Pediastrum duplex</i>		x		x		
492	<i>Pediastrum tetras</i>				x		
606	<i>Scenedesmus</i> spp.		x		x		
580	<i>Scenedesmus acuminatus</i>				x		
669	<i>Tetraedron caudatum</i>						
694	<i>Treubaria</i> sp.				x		
	<b>Ord.: Ulotrichales</b>						
84	<i>Elakothrix genevensis</i>				x		
523	<i>Planctonema lauterbornii</i>						

**Tabelle IV:** Abundanzen und Biovolumina der wichtigsten Phytoplankton-Taxa im Lanker See (tiefste Stelle)

ID-Nr.	Datum	30.07.02		02.09.02		30.09.02	
		Parameter	Abund.	Bio-Vol.	Abund.	Bio-Vol.	Abund.
			n/ml	mm <sup>3</sup> /l	n/ml	mm <sup>3</sup> /l	n/ml
<b>Kl. Conjugatophyceae</b>							
213	<i>Closterium</i> spp.						x
198	<i>Closterium aciculare</i>						x
201	<i>Closterium acutum</i> var. <i>variabile</i>						
434	<i>Mougeotia</i> spp.		x			x	
634	<i>Staurastrum</i> spp.				x		
<b>Kl. Chrysophyceae</b>							
65	<i>Dinobryon divergens</i>		x				
75	<i>Dinobryon sociale</i>						
<b>Kl. Haptophyceae</b>							
179	<i>Chrysochromulina parva</i>		x		x		
<b>Kl. Dinophyceae</b>							
371	<i>Ceratium</i> spp.						
369	<i>Ceratium furcoides</i>	4,60	0,204				
370	<i>Ceratium hirundinella</i>		x				
150	<i>Gymnodinium</i> sp.						
148	<i>Gymnodinium helveticum</i>						
378	<i>Kolkwitziella acuta</i>	x		x			
	<i>Peridiniopsis cf. berolinense</i>		x				
495	<i>Peridiniopsis cf. penardiforme</i>						
497	<i>Peridiniopsis polonicum</i>	14,24	0,301	175,33	3,711		
505	<i>Peridinium</i> spp.			x			
509	<i>Peridinium/Peridiniopsis</i> sp.						
145	<i>Woloszynskia pseudopalustris</i>			x			
99	<b>Unbestimmte Flagellaten</b>						
<b>SUMME</b>			10,282			7,060	

**Tabelle IV:** Abundanzen und Biovolumina der wichtigsten Phytoplankton-Taxa im Lanker See (tiefste Stelle)

ID-Nr.	Parameter	23.10.02		14.11.02	
		Abund.	Bio-Vol.	Abund.	Bio-Vol.
		n/ml	mm <sup>3</sup> /l	n/ml	mm <sup>3</sup> /l
<b>Kl. Cyanophyceae</b>					
306	<i>Anabaena</i> sp.				
292	<i>Anabaena affinis</i>				
294	<i>Anabaena circinalis</i>		x		
295	<i>Anabaena compacta</i>		x		
(302)	<i>Anabaena cf. plantonica</i>				
307	<i>Anabaena spiroides /crassa</i>				
	<i>Anabaena flos-aquae/A. spiroides var. tumida</i>		x		x
313	<i>Anabaenopsis</i> sp.				
	<i>Aphanizomenon</i> spp.				
324	<i>Aphanizomenon flos-aquae</i> (Trichome)	72,48	0,131	41,79	0,076
325	<i>Aphanizomenon gracile</i> (Trichome)	263,23	0,461	226,86	0,397
326	<i>Aphanizomenon issalschenkoi</i> (Trichome)		x		
	Aphanothecoideae indet.				
	<i>Gloeotrichia echinulata</i>				
	<i>Limnothrix</i> spp. (Trichome)	18338,71	14,176	16941,48	10,521
	<i>Limnothrix</i> spp. (Trichome)				
393	<i>Limnothrix redekei</i>		x		x
417	<i>Microcystis aeruginosa</i>				
524	<i>Planktolyngbya limnetica</i>				
(528)	<i>Planktothrix cf. agardhii</i> (Trichome)	930,86	2,173		x
	Pseudanabaenaceae indet. (Trichome)				
541	<i>Pseudanabaena</i> spp.				
<b>Kl. Cryptophyceae</b>					
267	<i>Cryptomonas</i> spp.	175,49	0,279		x
267	<i>Cryptomonas</i> spp.				
568	<i>Rhodomonas cf. lens</i>			x	
572	<i>Rhodomonas minuta</i>		x		x
<b>Kl. Bacillariophyceae</b>					
Ord.: Centrales					
279	<i>Acanthoceras zachariasii</i>		x		
	<i>Aulacoseira</i> spp. < 9 µm			90,78	0,134
344	<i>Aulacoseira granulata</i>	354,02	0,227		x
344	<i>Aulacoseira granulata</i> < 6 µm				
345	<i>Aulacoseira granulata</i> var. <i>angustissima</i>				
347	<i>Aulacoseira islandica</i>			244,75	0,597
347	<i>Aulacoseira islandica</i> < 10 µm			x	
31	<i>Cyclotella</i> spp.				
616	<i>Skeletonema</i> sp.		x		x
649	<i>Stephanodiscus</i> spp.				
	<i>Stephanodiscus</i> spp., Kettenform		x		x
641	<i>Stephanodiscus binderanus</i>		x		
647	<i>Stephanodiscus neoastraea</i>				
737	Zentrale Diatomeen <12µm		x		
752	Zentrale Diatomeen 4-6µm				
742	Zentrale Diatomeen 10-15µm	1116,93	0,657	456,38	0,268

**Tabelle IV:** Abundanzen und Biovolumina der wichtigsten Phytoplankton-Taxa im Lanker See (tiefste Stelle)

ID-Nr.	Datum Parameter	23.10.02		14.11.02	
		Abund.	Bio-Vol.	Abund.	Bio-Vol.
		n/ml	mm <sup>3</sup> /l	n/ml	mm <sup>3</sup> /l
746	Zentrale Diatomeen 15-20µm	384,32	0,762	232,99	0,462
745	Zentrale Diatomeen 12-30µm				
741	Zentrale Diatomeen >30µm			145,96	1,813
	<b>Ord.: Pennales</b>				
340	<i>Asterionella formosa</i>	246,26	0,127	172,66	0,089
	<i>Diatoma cf. tenuis</i>			x	
112	<i>Fragilaria</i> spp.				
108	<i>Fragilaria crotonensis</i>			x	
114	<i>Fragilaria ulna</i>		x	x	
453	<i>Nitzschia</i> cf. <i>acicularis</i>			x	
	<i>Nitzschia</i> cf. <i>sigmoidea</i>			x	
	<b>Kl. Euglenophyceae</b>				
516	<i>Phacus pyrum</i>				
	<b>Kl. Chlorophyceae</b>				
	<b>Ord.: Volvocales</b>				
9	<i>Chlamydomonas</i> spp.				
480	<i>Pandorina morum</i>				
512	<i>Phacotus lenticularis</i>				
	<b>Ord.: Chlorococcales</b>				
283	<i>Actinastrum hantzschii</i>		x		x
318	<i>Ankistrodesmus</i> sp.				
323	<i>Ankyra</i> spp.				
321	<i>Ankyra judayi</i>				
322	<i>Ankyra lanceolata</i>				
224	<i>Coelastrum</i> spp.				
217	<i>Coelastrum astroideum</i>		x		
221	<i>Coelastrum pseudomicroporum</i>				
56	<i>Dictyosphaerium</i> spp.		x		x
98	<i>Eutetramorus/ Sphaerocystis</i>		x		
384	<i>Lagerheimia genevensis</i>		x		
430	<i>Monoraphidium</i> spp.				
407	<i>Monoraphidium arcuatum</i>				
425	<i>Monoraphidium contortum</i>		x		
429	<i>Monoraphidium minutum</i>				
470	<i>Oocystis</i> spp.			x	
486	<i>Pediastrum boryanum</i>		x		
487	<i>Pediastrum duplex</i>		x		x
492	<i>Pediastrum tetras</i>				
606	<i>Scenedesmus</i> spp.		x		x
580	<i>Scenedesmus acuminatus</i>			x	
669	<i>Tetraedron caudatum</i>		x		
694	<i>Treubaria</i> sp.				
	<b>Ord.: Ulotrichales</b>				
84	<i>Elakothrix genevensis</i>			x	
523	<i>Planctonema lauterbornii</i>				

**Tabelle IV:** Abundanzen und Biovolumina der wichtigsten Phytoplankton-Taxa im Lanker See (tiefste Stelle)

ID-Nr.	Datum	23.10.02		14.11.02	
		Parameter	Abund.	Bio-Vol.	Abund.
			n/ml	mm <sup>3</sup> /l	n/ml
<b>Kl. Conjugatophyceae</b>					
213	<i>Closterium</i> spp.			x	
198	<i>Closterium aciculare</i>				x
201	<i>Closterium acutum</i> var. <i>variabile</i>				
434	<i>Mougeotia</i> spp.		x		
634	<i>Staurastrum</i> spp.		x		
<b>Kl. Chrysophyceae</b>					
65	<i>Dinobryon divergens</i>				
75	<i>Dinobryon sociale</i>				
<b>Kl. Haptophyceae</b>					
179	<i>Chrysochromulina parva</i>		x		
<b>Kl. Dinophyceae</b>					
371	<i>Ceratium</i> spp.	x		x	
369	<i>Ceratium furcoides</i>				
370	<i>Ceratium hirundinella</i>				
150	<i>Gymnodinium</i> sp.				
148	<i>Gymnodinium helveticum</i>				
378	<i>Kolkwitziella acuta</i>				
	<i>Peridiniopsis cf. berolinense</i>				
495	<i>Peridiniopsis cf. penardiforme</i>				
497	<i>Peridiniopsis polonicum</i>				
505	<i>Peridinium</i> spp.				
509	<i>Peridinium/Peridiniopsis</i> sp.				
145	<i>Woloszynskia pseudopalustris</i>				
99	<b>Unbestimmte Flagellaten</b>				
<b>SUMME</b>			18,992		14,357

**Tab. V: Abundanzen und Biovolumina der wichtigsten Phytoplankton-Taxa im Lanker See (flaches Becken)**

ID-Nr.	Parameter	24.01.02		20.02.02		02.04.02	
		Abund.	Bio-Vol.	Abund.	Bio-Vol.	Abund.	Bio-Vol.
		n/ml	mm <sup>3</sup> /l	n/ml	mm <sup>3</sup> /l	n/ml	mm <sup>3</sup> /l
<b>Kl. Cyanophyceae</b>							
306	<i>Anabaena</i> sp.						
292	<i>Anabaena affinis</i>						
294	<i>Anabaena circinalis</i>						
295	<i>Anabaena compacta</i>						
(302)	<i>Anabaena cf. plantonica</i>						
	<i>Anabaena spiroides /crassa</i>						
	<i>Anabaena flos-aquae/ A. spiroides var. tumida</i>						
313	<i>Anabaenopsis</i> sp.						
	<i>Aphanizomenon</i> spp.						
324	<i>Aphanizomenon flos-aquae</i> (Trichome)	x		x		x	
325	<i>Aphanizomenon gracile</i> (Trichome)						
326	<i>Aphanizomenon issatschenkoi</i> (Trichome)						
333	<i>Aphanocapsa</i> sp.						
	<i>Aphanothecoideae</i> indet.						
	<i>Gloeotrichia echinulata</i>						
	<i>Limnothrix</i> spp. (Trichome)					161,17	0,151
	<i>Limnothrix</i> spp. (Trichome)					45,40	0,025
393	<i>Limnothrix redekei</i>					x	
417	<i>Microcystis aeruginosa</i>						
424	<i>Microcystis wesenbergii</i>						
524	<i>Planktolyngbya limnetica</i>						
(528)	<i>Planktothrix cf. agardhii</i> (Trichome)			x			
	Pseudanabaenaceae indet. (Trichome)						
541	<i>Pseudanabaena</i> spp.						
<b>Kl. Cryptophyceae</b>							
267	<i>Cryptomonas</i> spp.	48,81	0,078	54,48	0,087	66,04	0,105
267	<i>Cryptomonas</i> spp.						
568	<i>Rhodomonas cf. lens</i>	139,23	0,068	203,49	0,099	521,22	0,253
572	<i>Rhodomonas minuta</i>	428,40	0,063	624,75	0,092	2891,70	0,425
<b>Kl. Bacillariophyceae</b>							
Ord.: Centrales							
279	<i>Acanthoceras zachariasii</i>						
	<i>Aulacoseira</i> spp. < 9 µm						
344	<i>Aulacoseira granulata</i>			x			
344	<i>Aulacoseira granulata</i> < 6 µm						
345	<i>Aulacoseira granulata</i> var. <i>angustissima</i>						
347	<i>Aulacoseira islandica</i>	3387,93	11,346	4633,86	14,611	x	
347	<i>Aulacoseira islandica</i> < 10 µm	714,00	1,181	1420,86	2,350		
31	<i>Cyclotella</i> spp.						
411	<i>Melosira varians</i>						
616	<i>Skeletonema</i> sp.						
	<i>Stephanodiscus</i> spp., Kettenform						
641	<i>Stephanodiscus binderanus</i>	x		x		x	
647	<i>Stephanodiscus neoastraea</i>	x		x			
737	Zentrale Diatomeen <12µm			599,76	0,143	664,02	0,453

**Tab. V: Abundanzen und Biovolumina der wichtigsten Phytoplankton-Taxa im Lanker See (flaches Becken)**

ID-Nr.	Datum Parameter	24.01.02		20.02.02		02.04.02	
		Abund.	Bio-Vol.	Abund.	Bio-Vol.	Abund.	Bio-Vol.
		n/ml	mm <sup>3</sup> /l	n/ml	mm <sup>3</sup> /l	n/ml	mm <sup>3</sup> /l
752	Zentrale Diatomeen 4-6µm					4087,65	0,450
742	Zentrale Diatomeen 10-15µm						
746	Zentrale Diatomeen 15-20µm						
745	Zentrale Diatomeen 12-30µm					321,30	0,536
741	Zentrale Diatomeen >30µm	53,84	0,760	272,40	3,874		
	Ord.: Pennales						
340	<i>Asterionella formosa</i>	x		144,18	0,080	799,68	0,441
	<i>Diatoma cf. tenuis</i>	x		x		x	
112	<i>Fragilaria</i> spp.						
108	<i>Fragilaria crotonensis</i>			x		x	
114	<i>Fragilaria ulna</i>			x		x	
453	<i>Nitzschia cf. acicularis</i>					x	
	Kl. Chlorophyceae						
	Ord.: Volvocales						
9	<i>Chlamydomonas</i> spp.					x	
480	<i>Pandorina morum</i>						
512	<i>Phacus lenticularis</i>						
	<i>Pteromonas aculeata</i>						
	Ord.: Tetrasporales						
548	<i>Pseudosphaerocystis lacustris</i>						
	Ord.: Chlorococcales						
283	<i>Actinastrum hantzschii</i>						
316	<i>Ankistrodesmus fusiformis</i>						
323	<i>Ankyra</i> spp.						
321	<i>Ankyra judayi</i>						
322	<i>Ankyra lanceolata</i>						
224	<i>Coelastrum</i> spp.						
217	<i>Coelastrum astroideum</i>						
221	<i>Coelastrum pseudomicroporum</i>						
56	<i>Dictyosphaerium</i> spp.						
98	<i>Eutetramorus/ Sphaerocystis</i>						
384	<i>Lagerheimia genevensis</i>						
407	<i>Monoraphidium arcuatum</i>					x	
425	<i>Monoraphidium contortum</i>						
429	<i>Monoraphidium minutum</i>						
470	<i>Oocystis</i> spp.						
486	<i>Pediastrum boryanum</i>						
487	<i>Pediastrum duplex</i>						
492	<i>Pediastrum tetras</i>						
606	<i>Scenedesmus</i> spp.	x		x		x	
580	<i>Scenedesmus acuminatus</i>						
671	<i>Tetraedron minimum</i>						
684	<i>Tetrastrum staurogeniaeforme</i>	x					
694	<i>Treubaria</i> sp.						
	Ord.: Ulotrichales						
84	<i>Elakatothrix genevensis</i>						
523	<i>Planctonema lauterbornii</i>					x	

**Tab. V: Abundanzen und Biovolumina der wichtigsten Phytoplankton-Taxa im Lanker See (flaches Becken)**

ID-Nr.	Datum	24.01.02		20.02.02		02.04.02	
		Parameter	Abund.	Bio-Vol.	Abund.	Bio-Vol.	Abund.
			n/ml	mm <sup>3</sup> /l	n/ml	mm <sup>3</sup> /l	n/ml
<b>Kl. Conjugatophyceae</b>							
213	<i>Closterium</i> spp.						
198	<i>Closterium aciculare</i>						
201	<i>Closterium acutum</i> var. <i>variabile</i>						
434	<i>Mougeotia</i> spp.						
634	<i>Staurastrum</i> spp.						
<b>Kl. Chrysophyceae</b>							
65	<i>Dinobryon divergens</i>						
75	<i>Dinobryon sociale</i>						
<b>Kl. Haptophyceae</b>							
179	<i>Chrysochromulina parva</i>					6354,60	0,133
<b>Kl. Dinophyceae</b>							
369	<i>Ceratium furcoides</i>						
370	<i>Ceratium hirundinella</i>						
150	<i>Gymnodinium</i> sp.					x	
148	<i>Gymnodinium helveticum</i>					x	
378	<i>Kolkwitziella acuta</i>						
	<i>Peridiniopsis</i> cf. <i>berolinense</i>						
495	<i>Peridiniopsis</i> cf. <i>penardiforme</i>						
497	<i>Peridiniopsis polonicum</i>						
505	<i>Peridinium</i> spp.				x		x
509	<i>Peridinium/Peridiniopsis</i> sp.						
145	<i>Woloszynskia pseudopalustris</i>						
99	Unbestimmte Flagellaten					x	
<b>SUMME</b>			13,495		21,334		2,972

**Tab. V: Abundanzen und Biovolumina der wichtigsten Phytoplankton-Taxa im Lanker See (flaches Becken)**

ID-Nr.	Parameter	Datum	24.04.02		28.05.02		26.06.02	
		Abund.	Bio-Vol.	Abund.	Bio-Vol.	Abund.	Bio-Vol.	
		n/ml	mm <sup>3</sup> /l	n/ml	mm <sup>3</sup> /l	n/ml	mm <sup>3</sup> /l	
<b>Kl. Cyanophyceae</b>								
306	<i>Anabaena</i> sp.			1513,22	0,044	2229,18	0,065	
292	<i>Anabaena affinis</i>					992,44	0,139	
294	<i>Anabaena circinalis</i>					x		
295	<i>Anabaena compacta</i>							
(302)	<i>Anabaena cf. plantonica</i>					57,59	0,028	
	<i>Anabaena spiroides /crassa</i>					x		
	<i>Anabaena flos-aquae/ A. spiroides var. tumida</i>							
313	<i>Anabaenopsis</i> sp.							
	<i>Aphanizomenon</i> spp.					13,79	0,028	
324	<i>Aphanizomenon flos-aquae</i> (Trichome)			20,70	0,036	x		
325	<i>Aphanizomenon gracile</i> (Trichome)					x		
326	<i>Aphanizomenon issatschenkoi</i> (Trichome)							
333	<i>Aphanocapsa</i> sp.					x		
	<i>Aphanothecoidae</i> indet.					x		
	<i>Gloeotrichia echinulata</i>					x		
	<i>Limnothrix</i> spp. (Trichome)	295,10	0,277					
	<i>Limnothrix</i> spp. (Trichome)	306,45	0,166					
393	<i>Limnothrix redekei</i>		x					
417	<i>Microcystis aeruginosa</i>				x		x	
424	<i>Microcystis wesenbergii</i>							
524	<i>Planktolyngbya limnetica</i>							
(528)	<i>Planktothrix cf. agardhii</i> (Trichome)		x					
	Pseudanabaenaceae indet. (Trichome)							
541	<i>Pseudanabaena</i> spp.							
<b>Kl. Cryptophyceae</b>								
267	<i>Cryptomonas</i> spp.	x		123,71	0,258			
267	<i>Cryptomonas</i> spp.							
568	<i>Rhodomonas cf. lens</i>	x						
572	<i>Rhodomonas minuta</i>	x		9606,09	1,153	x		
<b>Kl. Bacillariophyceae</b>								
Ord.: Centrales								
279	<i>Acanthoceras zachariasii</i>							
	<i>Aulacoseira</i> spp. < 9 µm							
344	<i>Aulacoseira granulata</i>					2070,60	2,793	
344	<i>Aulacoseira granulata</i> < 6 µm					253,47	0,168	
345	<i>Aulacoseira granulata</i> var. <i>angustissima</i>							
347	<i>Aulacoseira islandica</i>							
347	<i>Aulacoseira islandica</i> < 10 µm							
31	<i>Cyclotella</i> spp.							
411	<i>Melosira varians</i>							
616	<i>Skeletonema</i> sp.							
	<i>Stephanodiscus</i> spp., Kettenform							
641	<i>Stephanodiscus binderanus</i>					564,06	0,487	
647	<i>Stephanodiscus neoastraea</i>							
737	Zentrale Diatomeen <12µm					x		

**Tab. V: Abundanzen und Biovolumina der wichtigsten Phytoplankton-Taxa im Lanker See (flaches Becken)**

ID-Nr.	Datum	24.04.02		28.05.02		26.06.02	
		Parameter	Abund. n/ml	Bio-Vol. mm <sup>3</sup> /l	Abund. n/ml	Bio-Vol. mm <sup>3</sup> /l	Abund. n/ml
752	Zentrale Diatomeen 4-6µm		8978,55	0,988			
742	Zentrale Diatomeen 10-15µm						
746	Zentrale Diatomeen 15-20µm						
745	Zentrale Diatomeen 12-30µm		160,05	0,267			x
741	Zentrale Diatomeen >30µm						
	<b>Ord.: Pennales</b>						
340	<i>Asterionella formosa</i>		626,52	0,346	x	383,77	0,206
	<i>Diatoma cf. tenuis</i>						
112	<i>Fragilaria</i> spp.					676,51	0,356
108	<i>Fragilaria crotonensis</i>		121,04	0,140		97,01	0,123
114	<i>Fragilaria ulna</i>			x			x
453	<i>Nitzschia</i> cf. <i>acicularis</i>			x			x
	<b>Kl. Chlorophyceae</b>						
	<b>Ord.: Volvocales</b>						
9	<i>Chlamydomonas</i> spp.			x			
480	<i>Pandorina morum</i>						
512	<i>Phacus lenticularis</i>						x
	<i>Pteromonas aculeata</i>						
	<b>Ord.: Tetrasporales</b>						
548	<i>Pseudosphaerocystis lacustris</i>						
	<b>Ord.: Chlorococcales</b>						
283	<i>Actinastrum hantzschii</i>						x
316	<i>Ankistrodesmus fusiformis</i>						
323	<i>Ankyra</i> spp.			7464,19	0,224		
321	<i>Ankyra judayi</i>				x		
322	<i>Ankyra lanceolata</i>				x		
224	<i>Coelastrum</i> spp.			195,50	0,019		
217	<i>Coelastrum astroideum</i>						
221	<i>Coelastrum pseudomicroporum</i>				x		
56	<i>Dictyosphaerium</i> spp.						x
98	<i>Eutetramorus/ Sphaerocystis</i>			185,6	0,018		
384	<i>Lagerheimia genevensis</i>			x			
407	<i>Monoraphidium arcuatum</i>			x			
425	<i>Monoraphidium contortum</i>			x			
429	<i>Monoraphidium minutum</i>						
470	<i>Oocystis</i> spp.						
486	<i>Pediastrum boryanum</i>						x
487	<i>Pediastrum duplex</i>				x		x
492	<i>Pediastrum tetras</i>						
606	<i>Scenedesmus</i> spp.		x				x
580	<i>Scenedesmus acuminatus</i>						
671	<i>Tetraedron minimum</i>						
684	<i>Tetrastrum staurogeniaeforme</i>						
694	<i>Treubaria</i> sp.						
	<b>Ord.: Ulotrichales</b>						
84	<i>Elakothrix genevensis</i>		x		x		
523	<i>Planctonema lauterbornii</i>		x				x

**Tab. V: Abundanzen und Biovolumina der wichtigsten Phytoplankton-Taxa im Lanker See (flaches Becken)**

ID-Nr.	Datum	24.04.02		28.05.02		26.06.02	
		Parameter	Abund.	Bio-Vol.	Abund.	Bio-Vol.	Abund.
			n/ml	mm <sup>3</sup> /l	n/ml	mm <sup>3</sup> /l	n/ml
<b>Kl. Conjugatophyceae</b>							
213	<i>Closterium</i> spp.						
198	<i>Closterium aciculare</i>						
201	<i>Closterium acutum</i> var. <i>variabile</i>						
434	<i>Mougeotia</i> spp.					x	
634	<i>Staurastrum</i> spp.						
<b>Kl. Chrysophyceae</b>							
65	<i>Dinobryon divergens</i>						
75	<i>Dinobryon sociale</i>						
<b>Kl. Haptophyceae</b>							
179	<i>Chrysochromulina parva</i>	6104,70	0,128			x	
<b>Kl. Dinophyceae</b>							
369	<i>Ceratium furcoides</i>						
370	<i>Ceratium hirundinella</i>		x		x	2,1	0,109
150	<i>Gymnodinium</i> sp.						
148	<i>Gymnodinium helveticum</i>		x				
378	<i>Kolkwitziella acuta</i>						
	<i>Peridiniopsis cf. berolinense</i>					x	
495	<i>Peridiniopsis cf. penardiforme</i>					x	
497	<i>Peridiniopsis polonicum</i>					x	
505	<i>Peridinium</i> spp.						
509	<i>Peridinium/Peridiniopsis</i> sp.						
145	<i>Woloszynskia pseudopalustris</i>						
99	Unbestimmte Flagellaten		x				
<b>SUMME</b>			2,312		1,752		4,501

**Tab. V: Abundanzen und Biovolumina der wichtigsten Phytoplankton-Taxa im Lanker See (flaches Becken)**

ID-Nr.	Parameter	Datum	30.07.02		02.09.02		30.09.02	
			Abund.	Bio-Vol.	Abund.	Bio-Vol.	Abund.	Bio-Vol.
			n/ml	mm <sup>3</sup> /l	n/ml	mm <sup>3</sup> /l	n/ml	mm <sup>3</sup> /l
<b>Kl. Cyanophyceae</b>								
306	<i>Anabaena</i> sp.							
292	<i>Anabaena affinis</i>		84246,89	16,091	x			
294	<i>Anabaena circinalis</i>		1523,50	0,766	1060,08	0,533	x	
295	<i>Anabaena compacta</i>		x		x			
(302)	<i>Anabaena</i> cf. <i>planctica</i>		x					
	<i>Anabaena spiroides /crassa</i>		1512,00	0,534				
	<i>Anabaena flos-aquae</i> / <i>A. spiroides</i> var. <i>tumida</i>				14834,90	1,454	x	
313	<i>Anabaenopsis</i> sp.	x						
	<i>Aphanizomenon</i> spp.							
324	<i>Aphanizomenon flos-aquae</i> (Trichome)	97,61	0,141	29,51	0,042	47,76	0,086	
325	<i>Aphanizomenon gracile</i> (Trichome)	47,67	0,072	131,66	0,198	207,46	0,363	
326	<i>Aphanizomenon issatschenkoi</i> (Trichome)			61,29	0,041	40,30	0,027	
333	<i>Aphanocapsa</i> sp.							
	<i>Aphanothecoideae</i> indet.			x				
	<i>Gloeotrichia echinulata</i>							
	<i>Limnothrix</i> spp. (Trichome)			431,97	0,269	15937,21	9,929	
	<i>Limnothrix</i> spp. (Trichome)							
393	<i>Limnothrix redekei</i>							
417	<i>Microcystis aeruginosa</i>							
424	<i>Microcystis wesenbergii</i>							
524	<i>Planktolyngbya limnetica</i>			x		x		
(528)	<i>Planktothrix</i> cf. <i>agardhii</i> (Trichome)			122,58	0,237	125,37	0,242	
	<i>Pseudanabaenaceae</i> indet. (Trichome)			456,96	0,115			
541	<i>Pseudanabaena</i> spp.	x						
<b>Kl. Cryptophyceae</b>								
267	<i>Cryptomonas</i> spp.	x		357	0,567	137,31	0,218	
267	<i>Cryptomonas</i> spp.			728	0,604			
568	<i>Rhodomonas</i> cf. <i>lens</i>							
572	<i>Rhodomonas minuta</i>	x		x		x		
<b>Kl. Bacillariophyceae</b>								
Ord.: Centrales								
279	<i>Acanthoceras zachariasii</i>			x		x		
	<i>Aulacoseira</i> spp. < 9 µm							
344	<i>Aulacoseira granulata</i>	381,36	0,514	272,40	0,367	167,16	0,225	
344	<i>Aulacoseira granulata</i> < 6 µm	163,44	0,108					
345	<i>Aulacoseira granulata</i> var. <i>angustissima</i>			x				
347	<i>Aulacoseira islandica</i>							
347	<i>Aulacoseira islandica</i> < 10 µm							
31	<i>Cyclotella</i> spp.				x			
411	<i>Melosira varians</i>							
616	<i>Skeletonema</i> sp.							
	<i>Stephanodiscus</i> spp., Kettenform	1513,68	0,501	1420,86	0,470	252,53	0,084	
641	<i>Stephanodiscus binderanus</i>	x		x		x		
647	<i>Stephanodiscus neoastraea</i>							
737	Zentrale Diatomeen <12µm							

**Tab. V: Abundanzen und Biovolumina der wichtigsten Phytoplankton-Taxa im Lanker See (flaches Becken)**

ID-Nr.	Datum Parameter	30.07.02		02.09.02		30.09.02	
		Abund.	Bio-Vol.	Abund.	Bio-Vol.	Abund.	Bio-Vol.
		n/ml	mm <sup>3</sup> /l	n/ml	mm <sup>3</sup> /l	n/ml	mm <sup>3</sup> /l
752	Zentrale Diatomeen 4-6µm						
742	Zentrale Diatomeen 10-15µm						
746	Zentrale Diatomeen 15-20µm						
745	Zentrale Diatomeen 12-30µm						
741	Zentrale Diatomeen >30µm						
	<b>Ord.: Pennales</b>						
340	<i>Asterionella formosa</i>						
	<i>Diatoma cf. tenuis</i>						
112	<i>Fragilaria</i> spp.					x	
108	<i>Fragilaria crotonensis</i>			x			x
114	<i>Fragilaria ulna</i>					x	
453	<i>Nitzschia cf. acicularis</i>			x			
	<b>Kl. Chlorophyceae</b>						
	<b>Ord.: Volvocales</b>						
9	<i>Chlamydomonas</i> spp.						
480	<i>Pandorina morum</i>			x			
512	<i>Phacotus lenticularis</i>						
	<i>Pteromonas aculeata</i>					x	
	<b>Ord.: Tetrasporales</b>						
548	<i>Pseudosphaerocystis lacustris</i>					x	
	<b>Ord.: Chlorococcales</b>						
283	<i>Actinastrum hantzschii</i>			x		x	x
316	<i>Ankistrodesmus fusiformis</i>						
323	<i>Ankyra</i> spp.						
321	<i>Ankyra judayi</i>						
322	<i>Ankyra lanceolata</i>					x	
224	<i>Coelastrum</i> spp.	195,5	0,019				
217	<i>Coelastrum astroideum</i>	x				x	
221	<i>Coelastrum pseudomicroporum</i>						
56	<i>Dictyosphaerium</i> spp.					x	x
98	<i>Eutetramorus/ Sphaerocystis</i>	185,6	0,018				
384	<i>Lagerheimia genevensis</i>	x					
407	<i>Monoraphidium arcuatum</i>						
425	<i>Monoraphidium contortum</i>	x				x	
429	<i>Monoraphidium minutum</i>	x					
470	<i>Oocystis</i> spp.						
486	<i>Pediastrum boryanum</i>	x					x
487	<i>Pediastrum duplex</i>	x			x		x
492	<i>Pediastrum tetras</i>				x		
606	<i>Scenedesmus</i> spp.	x			x		x
580	<i>Scenedesmus acuminatus</i>	x			x		
671	<i>Tetraedron minimum</i>	x					
684	<i>Tetrastrum staurogeniaeforme</i>						
694	<i>Treubaria</i> sp.				x		
	<b>Ord.: Ulotrichales</b>						
84	<i>Elakothrix genevensis</i>						
523	<i>Planctonema lauterbornii</i>						

**Tab. V: Abundanzen und Biovolumina der wichtigsten Phytoplankton-Taxa im Lanker See (flaches Becken)**

ID-Nr.	Datum Parameter	30.07.02		02.09.02		30.09.02	
		Abund.	Bio-Vol.	Abund.	Bio-Vol.	Abund.	Bio-Vol.
		n/ml	mm <sup>3</sup> /l	n/ml	mm <sup>3</sup> /l	n/ml	mm <sup>3</sup> /l
<b>Kl. Conjugatophyceae</b>							
213	<i>Closterium</i> spp.					x	
198	<i>Closterium aciculare</i>					x	
201	<i>Closterium acutum</i> var. <i>variabile</i>					x	
434	<i>Mougeotia</i> spp.			x			x
634	<i>Staurastrum</i> spp.					x	
<b>Kl. Chrysophyceae</b>							
65	<i>Dinobryon divergens</i>		x				
75	<i>Dinobryon sociale</i>		x				
<b>Kl. Haptophyceae</b>							
179	<i>Chrysochromulina parva</i>		x		x		x
<b>Kl. Dinophyceae</b>							
369	<i>Ceratium furcoides</i>	43,16	1,913		x		x
370	<i>Ceratium hirundinella</i>	5,34	0,277				x
150	<i>Gymnodinium</i> sp.						
148	<i>Gymnodinium helveticum</i>						
378	<i>Kolkwitziella acuta</i>				x		
	<i>Peridiniopsis cf. berolinense</i>		x		x		
495	<i>Peridiniopsis cf. penardiforme</i>				x		
497	<i>Peridiniopsis polonicum</i>	145,96	3,089	325,74	6,895	x	
505	<i>Peridinium</i> spp.				x		x
509	<i>Peridinium/Peridiniopsis</i> sp.						
145	<i>Woloszynskia pseudopalustris</i>				x		
99	Unbestimmte Flagellaten						
<b>SUMME</b>			24,043		11,792		11,175

**Tab. V:** Abundanzen und Biovolumina der wichtigsten Phytoplankton-Taxa im Lanker See (flaches Becken)

ID-Nr.	Parameter	Datum	23.10.02		14.11.02	
			Abund.	Bio-Vol.	Abund.	Bio-Vol.
			n/ml	mm <sup>3</sup> /l	n/ml	mm <sup>3</sup> /l
<b>Kl. Cyanophyceae</b>						
306	<i>Anabaena</i> sp.					
292	<i>Anabaena affinis</i>					
294	<i>Anabaena circinalis</i>					
295	<i>Anabaena compacta</i>					
(302)	<i>Anabaena cf. planctica</i>					
	<i>Anabaena spiroides /crassa</i>					
	<i>Anabaena flos-aquae/ A. spiroides var. tumida</i>		x		x	
313	<i>Anabaenopsis</i> sp.					
	<i>Aphanizomenon</i> spp.					
324	<i>Aphanizomenon flos-aquae</i> (Trichome)	64,18	0,116	99,88	0,181	
325	<i>Aphanizomenon gracile</i> (Trichome)	111,94	0,196	145,28	0,254	
326	<i>Aphanizomenon issatschenkoi</i> (Trichome)					
333	<i>Aphanocapsa</i> sp.					
	<i>Aphanothecoideae</i> indet.					
	<i>Gloeotrichia echinulata</i>					
	<i>Limnothrix</i> spp. (Trichome)	11527,19	8,911	9259,95	5,750	
	<i>Limnothrix</i> spp. (Trichome)					
393	<i>Limnothrix redekei</i>	x		x		
417	<i>Microcystis aeruginosa</i>					x
424	<i>Microcystis wesenbergii</i>					x
524	<i>Planktolyngbya limnetica</i>					
(528)	<i>Planktothrix cf. agardhii</i> (Trichome)	38,8	0,091		x	
	<i>Pseudanabaenaceae</i> indet. (Trichome)					
541	<i>Pseudanabaena</i> spp.					
<b>Kl. Cryptophyceae</b>						
267	<i>Cryptomonas</i> spp.	x		x		
267	<i>Cryptomonas</i> spp.					
568	<i>Rhodomonas cf. lens</i>			x		
572	<i>Rhodomonas minuta</i>	x		x		
<b>Kl. Bacillariophyceae</b>						
Ord.: Centrales						
279	<i>Acanthoceras zachariasii</i>					
	<i>Aulacoseira</i> spp. < 9 µm			63,5	0,094	
344	<i>Aulacoseira granulata</i>	402,97	0,258	x		
344	<i>Aulacoseira granulata</i> < 6 µm					
345	<i>Aulacoseira granulata</i> var. <i>angustissima</i>	x				
347	<i>Aulacoseira islandica</i>			185,5	0,453	
347	<i>Aulacoseira islandica</i> < 10 µm			x		
31	<i>Cyclotella</i> spp.	x				
411	<i>Melosira varians</i>	x		x		
616	<i>Skeletonema</i> sp.	x		x		
	<i>Stephanodiscus</i> spp., Kettenform	1873,56	0,620	x		
641	<i>Stephanodiscus binderanus</i>	x		x		
647	<i>Stephanodiscus neoastraea</i>					
737	Zentrale Diatomeen <12µm					

**Tab. V: Abundanzen und Biovolumina der wichtigsten Phytoplankton-Taxa im Lanker See (flaches Becken)**

ID-Nr.	Datum Parameter	23.10.02		14.11.02	
		Abund.	Bio-Vol.	Abund.	Bio-Vol.
		n/ml	mm <sup>3</sup> /l	n/ml	mm <sup>3</sup> /l
752	Zentrale Diatomeen 4-6µm				
742	Zentrale Diatomeen 10-15µm	552,46	0,325	271,32	0,160
746	Zentrale Diatomeen 15-20µm	192,16	0,381	664,02	1,317
745	Zentrale Diatomeen 12-30µm				
741	Zentrale Diatomeen >30µm			141,51	1,758
	<b>Ord.: Pennales</b>				
340	<i>Asterionella formosa</i>	510,43	0,263	125,13	0,064
	<i>Diatoma cf. tenuis</i>		x		
112	<i>Fragilaria</i> spp.				
108	<i>Fragilaria crotonensis</i>				x
114	<i>Fragilaria ulna</i>		x		x
453	<i>Nitzschia cf. acicularis</i>				
	<b>Kl. Chlorophyceae</b>				
	<b>Ord.: Volvocales</b>				
9	<i>Chlamydomonas</i> spp.				
480	<i>Pandorina morum</i>				
512	<i>Phacotus lenticularis</i>				
	<i>Pteromonas aculeata</i>				
	<b>Ord.: Tetrasporales</b>				
548	<i>Pseudosphaerocystis lacustris</i>				
	<b>Ord.: Chlorococcales</b>				
283	<i>Actinastrum hantzschii</i>		x		x
316	<i>Ankistrodesmus fusiformis</i>				x
323	<i>Ankyra</i> spp.				
321	<i>Ankyra judayi</i>				
322	<i>Ankyra lanceolata</i>				
224	<i>Coelastrum</i> spp.				
217	<i>Coelastrum astroideum</i>				
221	<i>Coelastrum pseudomicroporum</i>				
56	<i>Dictyosphaerium</i> spp.	x		x	
98	<i>Eutetramorus/ Sphaerocystis</i>				
384	<i>Lagerheimia genevensis</i>				
407	<i>Monoraphidium arcuatum</i>				
425	<i>Monoraphidium contortum</i>				
429	<i>Monoraphidium minutum</i>				
470	<i>Oocystis</i> spp.			x	
486	<i>Pediastrum boryanum</i>		x		x
487	<i>Pediastrum duplex</i>	x		x	
492	<i>Pediastrum tetras</i>				
606	<i>Scenedesmus</i> spp.	x		x	
580	<i>Scenedesmus acuminatus</i>			x	
671	<i>Tetraedron minimum</i>				
684	<i>Tetrastrum staurogeniaeforme</i>				
694	<i>Treubaria</i> sp.				
	<b>Ord.: Ulotrichales</b>				
84	<i>Elakothrix genevensis</i>			x	
523	<i>Planctonema lauterbornii</i>				

**Tab. V: Abundanzen und Biovolumina der wichtigsten Phytoplankton-Taxa im Lanker See (flaches Becken)**

ID-Nr.	Datum	23.10.02		14.11.02	
		Parameter	Abund.	Bio-Vol.	Abund.
			n/ml	mm <sup>3</sup> /l	n/ml
<b>Kl. Conjugatophyceae</b>					
213	<i>Closterium</i> spp.		x		x
198	<i>Closterium aciculare</i>				x
201	<i>Closterium acutum</i> var. <i>variabile</i>				
434	<i>Mougeotia</i> spp.		x		
634	<i>Staurastrum</i> spp.				
<b>Kl. Chrysophyceae</b>					
65	<i>Dinobryon divergens</i>		x		
75	<i>Dinobryon sociale</i>		x		
<b>Kl. Haptophyceae</b>					
179	<i>Chrysochromulina parva</i>		x		
<b>Kl. Dinophyceae</b>					
369	<i>Ceratium furcoides</i>				
370	<i>Ceratium hirundinella</i>				
150	<i>Gymnodinium</i> sp.				
148	<i>Gymnodinium helveticum</i>				
378	<i>Kolkwitziella acuta</i>				
	<i>Peridiniopsis</i> cf. <i>berolinense</i>				
495	<i>Peridiniopsis</i> cf. <i>penardiforme</i>				
497	<i>Peridiniopsis polonicum</i>				
505	<i>Peridinium</i> spp.				
509	<i>Peridinium/Peridiniopsis</i> sp.				
145	<i>Woloszynskia pseudopalustris</i>				
99	Unbestimmte Flagellaten				
<b>SUMME</b>			11,160		10,031

Tab. VI: Jahreszeitliches Auftreten, Abundanzen und Trockengewicht [TG] der Zooplankton taxa im kleinen Plöner See

Datum	Parameter	Taxon	Körper-TG µg	23.01.02			25.02.02			03.04.02				
				W	M	Sum	TG µg/l	W	M	Sum	TG µg/l	W	M	
<b>Protozoa</b>														
	<i>Gymnodinium helveticum</i>		0,003					640		2,129		2560	8,515	
<b>Ciliata</b>														
	<i>Codonella cratera</i>		0,001		x			340		0,326		1840	1,766	
	<i>Tintinnidium/Tintinnopsis</i> sp.													
	andere Ciliaten (sehr groß)													
	andere Ciliaten (groß)		0,005			1120	5,040			360	1,620		1280	5,760
	andere Ciliaten		0,001					440		0,497		580	0,633	
<b>Rotatorien</b>														
	<i>Asplanchna priodonta</i>													
	<i>Brachionus angularis</i>													
	<i>Brachionus calyciflorus</i>		0,641											
	<i>Brachionus diversicornis</i>													
	<i>Collothea</i> spp.													
	<i>Conochiloides natans</i>		0,080			4,0	0,320			2,7	0,216		5,0	0,400
	<i>Conochilus unicornis</i>		0,022										2,0	0,043
	<i>Euchlenis</i> cf. <i>dilatata</i>													
	<i>Filinia longisetata</i> inkl. var. <i>limnetica</i>		0,045						x				9,0	0,403
	<i>Filinia terminalis</i>													
	<i>Kellicottia longispina</i>													
	<i>Keratella cochlearis</i>		0,004			10,0	0,039						14,0	0,055
	<i>Keratella cochlearis</i> f. <i>tecta</i>													
	<i>Keratella quadrata</i>													
	<i>Notholca</i> sp.		0,060						2,0	0,100			7,0	0,350
	<i>Notholca acuminata</i>		0,200						2,0	0,400				
	<i>Polyarthra dolichoptera</i> / <i>P. vulgaris</i>										x			
	<i>Pompholyx sulcata</i>													
	<i>Synchaeta</i> spp. (groß)													
	<i>Synchaeta</i> spp.		0,036										12,0	0,436
	<i>Trichocerca</i> sp.													
	<i>Trichocerca capucina</i>													
	<i>Trichocerca</i> cf. <i>porcellus</i>													
	<i>Trichocerca similis</i>													
<b>Cladocera</b>														
	<i>Bosmina coregoni</i>		2,428			20,7	50,255			6,0	14,567		6,7	16,266
	<i>Bosmina longirostris</i>		1,488			8,0	11,906			5,3	7,887			
	<i>Ceriodaphnia</i> sp.													
	<i>Chydorus sphaericus</i>													
	<i>Daphnia cucullata</i> & <i>Hybriden</i>													
	<i>Daphnia galeata</i> & <i>Hybriden</i>		19,419			4,0	77,676			0,7	13,593		1,3	25,245
	<i>Daphnia hyalina</i> & <i>Hybriden</i>													
	<i>Daphnia longispina</i> -Komplex		6,461			4,0	25,842			0,7	4,522			
	<i>Diaphanosoma brachyurum</i>													
	<i>Leptodora kindtii</i>													
<b>Copepoda</b>														
	Nauplien		0,943			8,7	8,204			10,7	10,090		74,0	69,782
	<i>Calanoida</i>													
	Copepodide		2,860			1,0	2,860			1,3	3,717		2,0	5,719
	<i>Eudiaptomus gracilis</i>		10,292							2,0	20,583			
	<i>Eudiaptomus graciloides</i>		12,213	1,0		1,0	12,213			1,0	12,213		0,7	8,549
	<i>Cyclopoida</i>													
	Copepodide		2,987			14,7	43,618			14,0	41,541		10,7	31,749
	<i>Cyclops</i> sp.													
	<i>Cyclops kolensis</i>		4,945	0,7		0,7	3,462	2,7		2,7	13,352	4,0	4,0	19,781
			3,378						2,7	2,7		2,7	2,7	9,120
	<i>Cyclops vicinus</i>													
	<i>Diacyclops bicuspidatus</i>													
	<i>Mesocyclops leuckarti</i>													
	<i>Thermocyclops crassus</i>													
	<i>Thermocyclops oithonoides</i>													
<b>Sonstige:</b>														
	Bivalvia: <i>Dreissena</i> -Larven													
	Diptera: <i>Chaoborus</i> -Larven													

Tab. VI: Jahreszeitliches Auftreten, Abundanzen und Trockengewicht [TG] der Zooplankton taxa im kleinen Plöner See

Datum	Parameter	Taxon	Körper-TG µg	29.04.02			29.05.02			03.07.02			
				W	M	Sum	TG µg/l	W	M	Sum	TG µg/l	W	M
<b>Protozoa</b>													
	<i>Gymnodinium helveticum</i>		0,003		5760	19,158							
<b>Ciliata</b>													
	<i>Codonella cratera</i>		0,002								x		
	<i>Tintinnidium/Tintinnopsis</i> sp.		0,001		1840	1,766					360	0,346	
	andere Ciliaten (sehr groß)		0,474		400	189,432							
	andere Ciliaten (groß)		0,007		4240	31,164			740	3,330	1960	8,820	
	andere Ciliaten		0,001										
<b>Rotatorien</b>													
	<i>Asplanchna priodonta</i>		0,475		2,0	0,950		x					
	<i>Brachionus angularis</i>		0,080					2,0	0,160				
	<i>Brachionus calyciflorus</i>		0,641		15,0	9,618							
	<i>Brachionus diversicornis</i>												
	<i>Collotheca</i> spp.		0,025		2,0	0,050							
	<i>Conochiloides natans</i>		0,080		1,0	0,080							
	<i>Conochilus unicornis</i>		0,022		32,0	0,688		3,0	0,065		32,0	0,688	
	<i>Euchlanis</i> cf. <i>dilatata</i>		0,104								48,0	4,997	
	<i>Filinia longisetä</i> inkl. var. <i>limnetica</i>				x								
	<i>Filinia terminalis</i>		0,045		22,0	0,986		13,0	0,582				
	<i>Kelliocottia longispina</i>		0,011		10,0	0,114		4,0	0,046		16,0	0,182	
	<i>Keratella cochlearis</i>		0,004		24,0	0,094		71,0	0,277		108,0	0,421	
	<i>Keratella cochlearis</i> f. <i>tecta</i>												
	<i>Keratella quadrata</i>		0,075		9,0	0,675		20,0	1,500		8,0	0,600	
	<i>Notholca</i> sp.		0,050		4,0	0,200							
	<i>Notholca acuminata</i>												
	<i>Polyarthra dolichoptera</i> / <i>P. vulgaris</i>		0,053		37,0	1,957					12,0	0,635	
	<i>Pompholyx sulcata</i>												
	<i>Synchaeta</i> spp. (groß)		0,364		18,0	6,548					92,0	3,340	
	<i>Synchaeta</i> spp.		0,036		92,0	3,340							
	<i>Trichocerca</i> sp.												
	<i>Trichocerca capucina</i>												
	<i>Trichocerca</i> cf. <i>porcellus</i>												
	<i>Trichocerca similis</i>		0,025								16,0	0,398	
<b>Cladocera</b>													
	<i>Bosmina coregoni</i>		2,428		10,5	25,492		2,3	5,584		0,5	1,214	
	<i>Bosmina longirostris</i>		1,488		4,3	6,399		1,3	1,935				
	<i>Ceriodaphnia</i> sp.												
	<i>Chydorus sphaericus</i>		0,416		2,0	0,832		0,5	0,208				
	<i>Daphnia cucullata</i> & <i>Hybriden</i>		9,814		x			4,0	39,255		1,0	9,814	
	<i>Daphnia galeata</i> & <i>Hybriden</i>		19,419		x			1,0	19,419				
	<i>Daphnia hyalina</i> & <i>Hybriden</i>		26,892					10,7	287,748		8,5	228,585	
	<i>Daphnia longispina</i> -Komplex		6,461		4,7	30,365	x				5,0	32,303	
	<i>Diaphanosoma brachyurum</i>												
	<i>Leptodora kindtii</i>												
<b>Copepoda</b>													
	Nauplien		0,938		39,0	36,590		64,0	60,045		44,0	41,281	
<b>Calanida</b>													
	Copepodide		2,185		8,0	17,476		16,7	36,481		5,0	10,923	
	<i>Eudiaptomus gracilis</i>		10,292		0,3	3,088	2,0	0,3	2,3	23,671			
	<i>Eudiaptomus graciloides</i>		12,213		x		1,7	1,3	3,0	36,639	0,5	1,0	12,213
<b>Cyclopolda</b>													
	Copepodide		1,289		38,0	48,986		7,7	9,926		6,0	7,735	
	<i>Cyclops</i> sp.												
	<i>Cyclops kolensis</i>		4,945	1,0	1,0	4,945							
			3,378	0,5	0,5	1,689							
	<i>Cyclops vicinus</i>												
	<i>Diacyclops bicuspidatus</i>						x						
	<i>Mesocyclops leuckarti</i>		3,052	0,7	0,7	2,136		x					
			1,483	0,3	0,3	0,445							
	<i>Thermocyclops crassus</i>												
	<i>Thermocyclops oithonoides</i>		1,696	0,5	0,5	0,848	2,0	2,0	3,392	1,0	1,0		
<b>Sonstige:</b>													
	Bivalvia: <i>Dreissena</i> -Larven		0,288					112,0	32,234				
	Diptera: <i>Chaoborus</i> -Larven												

Tab. VI: Jahreszeitliches Auftreten, Abundanzen und Trockengewicht [TG] der Zooplankton taxa im kleinen Plöner See

Datum Parameter Taxon	Körper-TG µg	31.07.02			22.08.02			24.09.02				
		W	M	Sum	TG µg/l	W	M	Sum	TG µg/l	W	M	Sum
<b>Protozoa</b>												
<i>Gymnodinium helveticum</i>												
<b>Ciliata</b>												
<i>Codonella cratera</i>												
<i>Tintinnidium/Tintinnopsis</i> sp.												
andere Ciliaten (sehr groß)												
andere Ciliaten (groß)	0,005		2240	10,080		1920		8,640		800	3,600	
andere Ciliaten	0,001		1920	2,170						700	0,791	
<b>Rotatorien</b>												
<i>Asplanchna priodonta</i>	0,475		2,0	0,950								
<i>Brachionus angularis</i>												
<i>Brachionus calyciflorus</i>												
<i>Brachionus diversicornis</i>	0,150											
<i>Collotheca</i> spp.	0,025		4,0	0,100		3,0		0,075				
<i>Conochiloides natans</i>												
<i>Conochilus unicornis</i>	0,022		50,0	1,075								
<i>Euchlanis</i> cf. <i>dilatata</i>												
<i>Filinia longiseta</i> inkl. var. <i>limnetica</i>	0,038					8,0		0,302				
<i>Filinia terminalis</i>												
<i>Kellcottia longispina</i>	0,011		8,0	0,091		5,0		0,057				
<i>Keratella cochlearis</i>	0,003		112,0	0,370		288,0		0,884		36,0	0,119	
<i>Keratella cochlearis</i> f. <i>tecta</i>	0,003		20,0	0,050		44,0		0,110		16,0	0,040	
<i>Keratella quadrata</i>	0,075		2,0	0,150		4,0		0,300				
<i>Notholca</i> sp.												
<i>Notholca acuminata</i>												
<i>Polyartha dolichoptera</i> / <i>P. vulgaris</i>	0,053		17,0	0,899		12,0		0,635		9,0	0,476	
<i>Pompholyx sulcata</i>	0,030									10,0	0,295	
<i>Synchaeta</i> spp. (groß)												
<i>Synchaeta</i> spp.	0,036		16,0	0,581						16,0	0,581	
<i>Trichocerca</i> sp.		x										
<i>Trichocerca capucina</i>	0,071		9,0	0,642		4,0		0,285				
<i>Trichocerca</i> cf. <i>porcellus</i>	0,034		12,0									
<i>Trichocerca similis</i>	0,026		4,0	0,100		9,0		0,224		28,0	0,697	
<b>Cladocera</b>												
<i>Bosmina coregoni</i>	1,540		1,5	2,310		3,0		4,620		4,0	6,160	
<i>Bosmina longirostris</i>												
<i>Ceriodaphnia</i> sp.									x			
<i>Chydorus sphaericus</i>	0,418					24,0		9,986				
<i>Daphnia cucullata</i> & Hybriden	7,240									16,7	120,913	
<i>Daphnia galeata</i> & Hybriden												
<i>Daphnia hyalina</i> & Hybriden	26,892				x							
<i>Daphnia longispina</i> -Komplex												
<i>Diaphanosoma brachyurum</i>	3,000				x			1,0	3,000		3,0	9,000
<i>Leptodora kindtii</i>												
<b>Copepoda</b>												
Naupilien	0,872		27,0	23,555		98,0		85,495		55,0	47,982	
<b>Calanoida</b>												
Copepodide	3,488		5,5	19,186		11,0		38,372		14,3	49,884	
<i>Eudiaptomus gracilis</i>	8,244								1,0	1,0	8,244	
<i>Eudiaptomus graciloides</i>	8,731	4,0	4,0	69,849	7,0	14,0	21,0	183,353	1,3	2,0	3,3	28,813
<b>Cyclopoida</b>												
Copepodide	0,690		38,5	26,580		16,0		11,046		29,0	29,748	
<i>Cyclops</i> sp.												
<i>Cyclops kolensis</i>												
<i>Cyclops vicinus</i>												
<i>Diacyclops bicuspidatus</i>												
<i>Mesocyclops leuckarti</i>	3,052	3,5	3,5	10,682	1,0	1,0	3,052	1,0		1,0	3,052	
	1,483		6,5	9,638		5,0	5,0	7,414				
<i>Thermocyclops crassus</i>												
<i>Thermocyclops oithonoides</i>	1,696	4,0	4,0	6,784	2,0	2,0	3,392		x			
<b>Sonstige:</b>												
Bivalvia: Dreissena-Larven	0,288		24,0	6,907		8,0		2,302				
Diptera: Chaoborus-Larven												

Tab. VI: Jahreszeitliches Auftreten, Abundanzen und Trockengewicht [TG] der Zooplanktonfauna im kleinen Plöner See

Tab. VII: Jahreszeitliches Auftreten, Abundanzen und Trockengewicht [TG] der Zooplankton-Taxa im Lanker See (tiefste Stelle)

Datum Parameter Taxon	Körper-TG µg	24.01.02			20.02.02			02.04.02					
		W	M	Sum	TG µg/l	W	M	Sum	TG µg/l	W	M	Sum	TG µg/l
<b>Protozoa</b>													
<i>Gymnodinium helveticum</i>	0,003							1200	3,991			3200	10,643
<b>Ciliata</b>													
<i>Codonella cratera</i>	0,020		x					x				3000	60,000
<i>Tintinnidium/Tintinnopsis</i> sp.	0,001		x					2600	2,496			1000	0,960
Ciliata indet. (groß)	0,005		3200	14,624				600	2,742			3200	14,624
Ciliata indet.	0,001		4400	5,280				800	0,960				
<b>Rotatoria</b>													
<i>Anuraeopsis fissa</i>													
<i>Asplanchna priodonta</i>													
<i>Brachionus angularis</i>													
<i>Brachionus calyciflorus</i>													
<i>Brachionus diversicornis</i>													
<i>Collotheca</i> sp.													
<i>Conochiloides natans</i>	0,080							2,0	0,160			4,0	0,320
<i>Conochilus unicornis</i>													
<i>Euchlanis</i> cf. <i>dilatata</i>													
<i>Filinia longiseta</i> inkl. var. <i>limnetica</i>									x				
<i>Filinia terminalis</i>	0,045									12,0	0,538		
<i>Kelliecottia longispina</i>	0,011		1,2	0,014						1,0	0,011		
<i>Keratella cochlearis</i>	0,004		6,7	0,026				4,0	0,016			10,0	0,039
<i>Keratella cochlearis</i> f. <i>tecta</i>													
<i>Keratella quadrata</i>													
<i>Keratella valga</i>	0,070		4,0	0,280									
<i>Notholca</i> sp.	0,050		2,7	0,135				2,0	0,100			8,0	0,400
<i>Polyarthra dolichoptera/P. vulgaris</i>	0,053		4,0	0,212				2,7	0,143			13,0	0,688
<i>Pompholyx sulcata</i>													
<i>Synchaeta</i> spp. (groß)	0,374									44,0	16,460		
<i>Synchaeta</i> spp.													
<i>Synchaeta</i> spp.	0,042		8,0	0,334				14,0	0,584			35,0	1,460
<i>Trichocerca capucina</i>													
<i>Trichocerca pusilla</i>													
<i>Trichocerca</i> cf. <i>porcellus</i>													
<i>Trichocerca stmiss</i>													
<b>Cladocera</b>													
<i>Bosmina coregoni</i>	2,974		22,7	67,505				26,0	77,319			6,0	17,843
<i>Bosmina longirostris</i>	1,100		14,0	15,396				11,3	12,427			4,7	5,169
<i>Chydorus sphaericus</i>													
<i>Daphnia cucullata &amp; Hybriden</i>													
<i>Daphnia galeata &amp; Hybriden</i>	19,419							5,0	97,096				
<i>Daphnia hyalina &amp; Hybriden</i>													
<i>Daphnia longispina-Komplex</i>	6,461		7,3	47,162				x				x	
<i>Diaphanosoma brachyurum</i>													
<i>Leptodora kindtii</i>													
<b>Copepoda</b>													
Nauplien	0,948		30,0	28,437				42,0	39,812			74,0	70,145
<b>Calanoida</b>													
Copepodide	2,860		2,0	5,719				7,0	20,017			0,2	0,572
<i>Eudiaptomus gracilis</i>	10,292		1,3	13,379	1,0			1,0	10,292	0,2	0,1	0,3	3,088
<i>Eudiaptomus gracilloides</i>	12,213		4,0	48,852	1,0	1,0		2,0	24,426	0,1	0,1	0,2	2,443
<b>Cyclopoida</b>													
Copepodide	2,286		14,7	33,604				6,0	13,716			14,0	32,004
<i>Acanthocyclops</i> cf. <i>robustus</i>													
<i>Cyclops kolensis</i>	4,945	4,0	4,0	19,781	6,0			6,0	29,671	3,3		3,3	16,319
	3,378		6,0	20,266	3,0			3,0	10,133	0,7		0,7	2,364
<i>Cyclops vicinus</i>		15,154	2,0	2,0	30,308						x		
<i>Diacyclops bicuspidatus</i>													
<i>Mesocyclops leuckarti</i>													
<i>Thermocyclops crassus</i>													
<i>Thermocyclops olithonoides</i>													
<b>Sonstige:</b>													
Bivalvia: Dreissena-Larven													
Diptera: Chaoborus-Larven													

Tab. VII: Jahreszeitliches Auftreten, Abundanzen und Trockengewicht [TG] der Zooplankton-Taxa im Lanker See (tiefste Stelle)

Datum	Parameter	Körper-TG µg	24.04.02			28.05.02			26.06.02		
			Abund. [n/l]			TG µg/l			Abund. [n/l]		
			W	M	Sum	W	M	Sum	W	M	Sum
<b>Protozoa</b>											
<i>Gymnodinium helveticum</i>		0,003			8600			28,604			
<b>Ciliata</b>											
<i>Codonella cratera</i>										x	
<i>Tintinnidium/Tintinnopsis</i> sp.		0,001			1800			1,728			x
Ciliata indet. (groß)		0,011			2800			12,796			
Ciliata indet.		0,001							10100	46,157	
										11800	124,018
<b>Rotatoria</b>											
<i>Anuraeopsis fissa</i>											
<i>Asplanchna priodonta</i>		0,475			5,0			2,376			8,0
<i>Brachionus angularis</i>											3,801
<i>Brachionus calyciflorus</i>		0,641			12,0			7,694			
<i>Brachionus diversicornis</i>											
<i>Collotheaca</i> sp.											
<i>Conochilooides natans</i>											
<i>Conochilus unicornis</i>		0,022			60,0			1,290			424,0
<i>Euchlanis</i> cf. <i>dilatata</i>		0,104									9,116
											4,0
<i>Filinia longiseta</i> inkl. var. <i>limnetica</i>											0,416
<i>Filinia terminalis</i>		0,045			34,0			1,523			
<i>Kellicottia longispina</i>		0,011			2,0			0,023			16,0
<i>Keratella cochlearis</i>		0,004			46,0			0,179			0,182
<i>Keratella cochlearis</i> f. <i>tecta</i>		0,003							33,0	0,129	1016,0
<i>Keratella quadrata</i>		0,076			20,0			1,500			3,962
<i>Keratella valga</i>		0,070			4,0			0,280			96,0
<i>Notholca</i> sp.		0,050			3,0			0,150			0,240
<i>Polyarthra dolichoptera/P. vulgaris</i>		0,053			198,0			10,474			24,0
<i>Pompholyx sulcata</i>											1,800
<i>Synchaeta</i> spp. (groß)		0,374			12,0			4,489			
<i>Synchaeta</i> spp.		0,106							2,0	0,748	
<i>Synchaeta</i> spp.		0,042			128,0			5,338			584,0
<i>Trichocerca capucina</i>											61,962
<i>Trichocerca pusilla</i>											
<i>Trichocerca</i> cf. <i>porcellus</i>		0,034								112,0	
<i>Trichocerca similis</i>		0,025								40,0	3,763
											0,996
<b>Cladocera</b>											
<i>Bosmina coregoni</i>		2,974			30,0			89,214			
<i>Bosmina longirostris</i>		1,100			8,0			8,798			
<i>Chydorus sphaericus</i>		0,416							1,5	0,624	
<i>Daphnia cucullata &amp; Hybriden</i>		17,278			x				2,0	34,556	1,5
<i>Daphnia galeata &amp; Hybriden</i>											0,624
<i>Daphnia hyalina &amp; Hybriden</i>		35,345			2,0			70,689			0,1
<i>Daphnia longispina</i> -Komplex		6,461			6,0			38,764			3,534
<i>Diaphanosoma brachyurum</i>											1,0
<i>Leptodora kindtii</i>		1000,000							0,5	500,000	6,461
<b>Copepoda</b>											
Nauplien		0,938			135,0			126,657			44,0
<b>Calanoida</b>											
Copepodide		2,185			2,0			4,369			8,0
<i>Eudiaptomus gracilis</i>									7,7	16,821	
<i>Eudiaptomus graciloides</i>		12,213							0,7	3,0	24,426
Cyclopolda											
Copepodide		1,281			81,0			103,753			5,3
<i>Acanthocyclops</i> cf. <i>robustus</i>									1,7	2,178	6,789
<i>Cyclops kolensis</i>		4,945	3,0		3,0			14,836			
<i>Cyclops vicinus</i>											
<i>Diacyclops bicuspidatus</i>									x		
<i>Mesocyclops leuckarti</i>		3,052									
<i>Thermocyclops crassus</i>		1,483	1,0	1,0	1,483					1,0	1,483
<i>Thermocyclops oithonoides</i>		1,698						0,5			0,5
Sonstige:								0,5	0,848	0,5	0,848
Bivalvia: Dreissena-Larven		0,288									12,0
Diptera: Chaoborus-Larven											3,454

Tab. VII: Jahreszeitliches Auftreten, Abundanzen und Trockengewicht [TG] der Zooplankton-Taxa im Lanker See (tiefste Stelle)

Datum Parameter Taxon	Körper-TG µg	30.07.02			02.09.02			30.09.02				
		W	M	Sum	TG µg/l	W	M	Sum	TG µg/l	W	M	Sum
<b>Protozoa</b>												
<i>Gymnodinium helveticum</i>												
<b>Ciliata</b>												
<i>Codonella cratera</i>												
<i>Tintinnidium/Tintinnopsis</i> sp.	0,001				1200	1,152						
Ciliata indet. (groß)	0,005				4400	20,108						
Ciliata indet.	0,001				3600	4,320	x					
<b>Rotatoria</b>												
<i>Anuraeopsis fissa</i>	0,070							8,0	0,560			
<i>Asplanchna priodonta</i>	0,476				12,0	5,701						
<i>Brachionus angularis</i>	0,080				6,0	0,480						
<i>Brachionus calyciflorus</i>												
<i>Brachionus diversicornis</i>	0,150							4,0	0,600			
<i>Collotheca</i> sp.	0,025				4,0	0,100		4,0	0,100			
<i>Conochilooides natans</i>												
<i>Conochilus unicornis</i>	0,022				80,0	1,720						
<i>Euchlanis</i> cf. <i>dilatata</i>	0,104				12,0	1,249						
<i>Filinia longiseta</i> inkl. var. <i>limnetica</i>												
<i>Filinia terminalis</i>								x				
<i>Kellictota longispina</i>												
<i>Keratella cochlearis</i>	0,003				120,0	0,396		36,0	0,119			
<i>Keratella cochlearis</i> f. <i>tecta</i>	0,003				112,0	0,280		70,0	0,175			
<i>Keratella quadra</i>	0,075							5,0	0,375			
<i>Keratella valga</i>												
<i>Notholca</i> sp.												
<i>Polyarthra dolichoptera</i> / <i>P. vulgaris</i>	0,053							10,0	0,529			
<i>Pompholyx sulcata</i>	0,030				36,0	1,062		24,0	0,708			
<i>Synchaeta</i> spp. (groß)												
<i>Synchaeta</i> spp.												
<i>Synchaeta</i> spp.	0,042				104,0	4,337		9,0	0,375			
<i>Trichocerca capucina</i>	0,071				8,0	0,570						
<i>Trichocerca pusilla</i>	0,007				40,0	0,280						
<i>Trichocerca</i> cf. <i>porcellus</i>	0,034									8,0	0,269	
<i>Trichocerca similis</i>	0,025				40,0	0,996		10,0	0,249		20,0	0,498
<b>Cladocera</b>												
<i>Bosmina coregoni</i>	1,540				1,0	1,540		15,0	23,100		32,5	50,050
<i>Bosmina longirostris</i>												
<i>Chydorus sphaericus</i>	0,418				41,0	17,060		42,0	17,476		6,0	2,497
<i>Daphnia cucullata</i> & <i>Hybriden</i>	7,240				4,0	28,961		39,0	282,372		11,5	83,263
<i>Daphnia galeata</i> & <i>Hybriden</i>												
<i>Daphnia hyalina</i> & <i>Hybriden</i>	35,345				1,0	35,345						
<i>Daphnia longispina</i> -Komplex	6,461											
<i>Diaphanosoma brachyurum</i>	3,000									7,5	22,500	
<i>Leptodora kindtii</i>	1000,000				x			0,5	500,000		0,5	500,000
<b>Copepoda</b>												
Nauplien	0,872				80,0	69,792		108,0	94,219		58,0	50,599
<b>Calanoida</b>												
Copepodide	3,488				4,0	13,954		4,0	13,954		12,0	41,861
<i>Eudiaptomus gracilis</i>	8,244									1,0	1,0	8,244
<i>Eudiaptomus graciloides</i>	8,731	1,0	3,0		3,0	26,193	1,5	2,5	4,0	34,924	2,5	1,5
<b>Cyclopoida</b>												
Copepodide	0,767				32,0	24,550		44,0	33,757		41,0	31,455
<i>Acanthocyclops</i> cf. <i>robustus</i>										x		
	1,578				2,0	2,0	3,157	2,5	2,5	3,946		
<i>Cyclops kolensis</i>												
<i>Cyclops vicinus</i>												
<i>Diacyclops bicuspidatus</i>												
<i>Mesocyclops leuckarti</i>	3,052					4,7		4,7	14,345	1,0	1,0	3,052
	1,483				1,0	1,0	1,483	1,3	1,3	1,928	0,5	0,5
<i>Thermocyclops crassus</i>	2,484					3,0		3,0	7,452			
	1,293							1,0	1,0	1,293		
<i>Thermocyclops oithonoides</i>	1,696	1,0			1,0	1,696						
Sonstige:												
Bivalvia: Dreissena-Larven	0,288					4,0	1,151					
Diptera: Chaoborus-Larven										x		

**Tab. VII:** Jahreszeitliches Auftreten, Abundanzen und Trockengewicht [TG] der Zooplankton-Taxa im Lanker See (tiefste Stelle)

Datum	Parameter	Taxon	Körper-TG µg	23.10.02			14.11.02					
				W	M	Sum	Abund. [n/l]	TG µg/l	W			
<b>Protozoa</b>												
<i>Gymnodinium helveticum</i>												
<b>Ciliata</b>												
<i>Codonella cratera</i>												
<i>Tintinnidium/Tintinnopsis</i> sp.												
0,001							673	0,646	x			
0,005				5050	23,079		1345	6,147				
0,001				2350	2,820		1345	1,614				
<b>Rotatoria</b>												
<i>Anuraeopsis fissa</i>												
<i>Asplanchna priodonta</i>												
<i>Brachionus angularis</i>												
<i>Brachionus calyciflorus</i>												
<i>Brachionus diversicornis</i>												
<i>Collotheaca</i> sp.												
<i>Conochilooides natans</i>												
<i>Conochilus unicornis</i>												
0,022				8,0	0,172		12,0	0,258				
<i>Euchlanis</i> cf. <i>dilatata</i>												
<i>Filinia longiseta</i> inkl. var. <i>limnetica</i>												
<i>Filinia terminalis</i>												
<i>Kellicottia longispina</i>												
0,011							2,0	0,023				
0,003				628,0	2,072		824,0	2,719				
0,003				152,0	0,380		60,0	0,150				
0,075				12,0	0,900		32,0	2,400				
<i>Keratella valga</i>												
<i>Notholca</i> sp.												
<i>Polyarthra dolichoptera/P. vulgaris</i>												
0,053				4,0	0,212							
0,030				96,0	2,832		46,0	1,357				
<i>Synchaeta</i> spp. (groß)												
<i>Synchaeta</i> spp.												
0,042				20,0	0,834		12,0	0,500				
<i>Trichocerca capucina</i>												
<i>Trichocerca pusilla</i>												
<i>Trichocerca</i> cf. <i>porcellus</i>												
0,034							x					
<i>Trichocerca similis</i>												
0,025				4,0	0,100							
<b>Cladocera</b>												
<i>Bosmina coregoni</i>												
1,849				75,0	138,660		116,0	214,461				
0,606				2,0	1,211		2,0	1,211				
0,416				29,0	12,067		10,0	4,161				
8,132				23,0	187,034		21,0	170,770				
x x												
<b>Copepoda</b>												
<i>Nauplien</i>												
0,872				44,0	38,386		23,0	20,065				
<i>Calanoida</i>												
<i>Copepodide</i>												
3,488				4,0	13,954		2,0	6,977				
<i>Eudiaptomus gracilis</i>												
8,244												
8,731	1,0	1,0		2,0	17,462	5,0	5,0	10,0	87,311			
<i>Cyclopoida</i>												
<i>Copepodide</i>												
1,026				54,0	55,393		11,0	11,284				
4,158	1,0			1,0	4,158							
1,578		3,0		3,0	4,735							
<i>Cyclops kolensis</i>												
<i>Cyclops vicinus</i>												
<i>Diacyclops bicuspidatus</i>												
<i>Mesocyclops leuckarti</i>												
<i>Thermocyclops crassus</i>												
2,484	1,0			1,0	2,484							
<i>Thermocyclops oithonoides</i>												
Sonstige:												
Bivalvia: Dreissena-Larven												
Diptera: Chaoborus-Larven												

Tab. VIII: Jahreszeitliches Auftreten, Abundanzen und Trockengewicht [TG] der Zooplankton-Taxa im Lanker See (flaches Becken)

Datum	Parameter	Taxon	Körper-TG µg	24.01.02			20.02.02			02.04.02				
				W	M	Sum	TG µg/l	W	M	Sum	TG µg/l	W	M	
<b>Protozoa</b>														
	<i>Gymnodinium helveticum</i>		0,003					1000		3,326		2100	6,985	
<b>Ciliata</b>														
	<i>Codonella cratera</i>		0,020									3400	68,000	
	<i>Tintinnidium/Tintinnopsis</i> sp.		0,001					2200		2,112		2800	2,688	
	Ciliata indet. (groß)		0,005		1600	7,312		400		1,828		3600	16,452	
	Ciliata indet.		0,001		5600	6,720		1600		1,920				
<b>Rotatoria</b>														
	<i>Anuraeopsis fissa</i>													
	<i>Asplanchna priodonta</i>													
	<i>Brachionus angularis</i>													
	<i>Brachionus calyciflorus</i>		0,641									4,0	2,565	
	<i>Brachionus diversicornis</i>													
	<i>Collotheaca</i> sp.													
	<i>Conochiloides natans</i>		0,080									8,0	0,640	
	<i>Conochilus unicornis</i>		0,022					4,0		0,086		10,0	0,215	
	<i>Euchlanis</i> cf. <i>dilatata</i>													
	<i>Filinia terminalis</i>		0,045		x			2,7		0,121		2,0	0,090	
	<i>Kellictinia longispina</i>		0,011								x			
	<i>Keratella cochlearis</i>		0,004		8,0	0,031		5,3		0,021				
	<i>Keratella cochlearis</i> f. <i>tecta</i>										x			
	<i>Keratella quadrata</i>													
	<i>Keratella valga</i>		0,070									x		
	<i>Notholca</i> sp.		0,050											
	<i>Polyarthra dolichoptera</i> / <i>P. vulgaris</i>		0,053									8,0	0,423	
	<i>Pompholyx sulcata</i>													
	<i>Synchaeta</i> spp. (groß)		0,374									28,0	10,475	
	<i>Synchaeta</i> spp.													
	<i>Synchaeta</i> spp.		0,042		4,0	0,167		20,0		0,834		12,0	0,500	
	<i>Trichocerca capucina</i>													
	<i>Trichocerca pusilla</i>													
	<i>Trichocerca</i> cf. <i>porcellus</i>													
	<i>Trichocerca similis</i>													
<b>Cladocera</b>														
	<i>Bosmina coregoni</i>		2,974		14,0	41,633		17,3		51,447		20,0	59,476	
	<i>Bosmina longirostris</i>		1,100		5,0	5,499		9,3		10,227		2,0	2,199	
	<i>Chydorus sphaericus</i>													
	<i>Daphnia cucullata</i> & Hybriden													
	<i>Daphnia galeata</i> & Hybriden		19,419					2,7		52,432				
	<i>Daphnia hyalina</i> & Hybriden													
	<i>Daphnia longispina</i> -Komplex						x							
	<i>Diaphanosoma brachyurum</i>													
	<i>Leptodora kindtii</i>													
<b>Copepoda</b>														
	Nauplien		0,948		20,0	18,958		22,7		21,517		112,0	106,165	
	Calanoida													
	Copepodide		2,860		1,0	2,860		2,0		5,719		4,7	13,440	
	<i>Eudiaptomus gracilis</i>		10,292	1,0	1,0	10,292	1,3	1,3		13,379	0,7	0,7	1,3	13,379
	<i>Eudiaptomus graciloides</i>		12,213	1,0	1,0	12,213	1,3	1,3		15,877	0,7	0,7	0,7	8,549
	Cyclopoida													
	Copepodide		2,286		4,0	9,144		7,0		16,002		7,3	16,688	
	<i>Acanthocyclops</i> cf. <i>robustus</i>													
	<i>Cyclops kolensis</i>		4,945				1,0	1,0		4,945	4,7	4,7	23,242	
			3,378		2,0	2,0		2,0		6,755	1,3	1,3	4,391	
	<i>Cyclops vicinus</i>		15,154		1,0	1,0	15,154				0,7	0,7	10,608	
	<i>Mesocyclops leuckarti</i>													
	<i>Thermocyclops crassus</i>													
	<i>Thermocyclops oithonoides</i>													
<b>Sonstige:</b>														
	Bivalvia: <i>Dreissena</i> -Larven													
	Diptera: <i>Chaoborus</i> -Larven													

Tab. VIII: Jahreszeitliches Auftreten, Abundanzen und Trockengewicht [TG] der Zooplankton-Taxa im Lanker See (flaches Becken)

Datum	Parameter	Taxon	Körper-TG µg	24.04.02			28.05.02			26.06.02			
				W	M	Sum	TG µg/l	W	M	Sum	TG µg/l	W	M
<b>Protozoa</b>													
	<i>Gymnodinium helveticum</i>		0,003			4500	14,967						
<b>Ciliata</b>													
	<i>Codonella cratera</i>		0,020								1600	32,000	
	<i>Tintinnidium/Tintinnopsis</i> sp.		0,001			1900	1,824				1000	0,960	
	Ciliata Indet. (groß)		0,011			6800	31,076			2700	12,339		
	Ciliata indet.		0,001								3500	36,785	
<b>Rotatoria</b>													
	<i>Anuraeopsis fissa</i>												
	<i>Asplanchna priodonta</i>		0,475			2,0	0,950				40,0	19,004	
	<i>Brachionus angularis</i>												
	<i>Brachionus calyciflorus</i>		0,641			24,0	15,389						
	<i>Brachionus diversicornis</i>												
	<i>Collotheca</i> sp.												
	<i>Conochiloides natans</i>		0,080			4,0	0,320						
	<i>Conochilus unicornis</i>		0,022			48,0	1,032				576,0	12,384	
	<i>Euchlanis</i> cf. <i>dilatata</i>		0,104										
	<i>Filinia terminalis</i>		0,045			32,0	1,434						
	<i>Kellcottia longispina</i>		0,011			8,0	0,091						
	<i>Keratella cochlearis</i>		0,004			44,0	0,172			32,0	0,125		
	<i>Keratella cochlearis</i> f. <i>tecta</i>		0,003								1024,0	3,994	
	<i>Keratella quadrata</i>		0,075			48,0	3,600			8,0	0,600		
	<i>Keratella valga</i>		0,070			4,0	0,280				x		
	<i>Notholca</i> sp.		0,050			x							
	<i>Polyarthra dolichoptera</i> / <i>P. vulgaris</i>		0,053			288,0	15,235				x		
	<i>Pompholyx sulcata</i>												
	<i>Synchaeta</i> spp. (groß)		0,374			48,0	17,957						
	<i>Synchaeta</i> spp.		0,106								808,0	85,729	
	<i>Synchaeta</i> spp.		0,042			224,0	9,341						
<b>Trichocerca</b>													
	<i>Trichocerca capucina</i>										x		
	<i>Trichocerca pusilla</i>												
	<i>Trichocerca</i> cf. <i>porcellus</i>		0,034								240,0	8,064	
	<i>Trichocerca similis</i>		0,026			x					32,0	0,797	
<b>Cladocera</b>													
	<i>Bosmina coregoni</i>		2,974			25,3	75,237			12,7	37,767		
	<i>Bosmina longirostris</i>		1,100			6,7	7,368						
	<i>Chydorus sphaericus</i>		0,416							0,7	0,291		
	<i>Daphnia cucullata</i> & <i>Hybriden</i>		17,278			6,0	103,668			2,7	46,651		
	<i>Daphnia galeata</i> & <i>Hybriden</i>		19,419										
	<i>Daphnia hyalina</i> & <i>Hybriden</i>		35,345							10,0	353,445		
	<i>Daphnia longispina</i> -Komplex					x							
	<i>Diaphanosoma brachyurum</i>												
	<i>Leptodora kindtii</i>		1000,000							0,7	700,000		
<b>Copepoda</b>													
	Nauplien		0,938			168,0	157,618			54,0	50,663		
<b>Calanoida</b>													
	Copepodide		2,185			9,3	20,316			6,0	13,107		
	<i>Eudiaptomus gracilis</i>		10,292	0,8		0,8	8,233	2,7	2,7	5,3	54,546		
	<i>Eudiaptomus graciloides</i>		12,213	0,5	0,1	0,6	7,328	5,3	10,0	15,3	186,857	x	
<b>Cyclopoida</b>													
	Copepodide		1,281			112,0	143,461			3,3	4,227		
	<i>Acanthocyclops</i> cf. <i>robustus</i>					x					2,7	3,458	
	<i>Cyclops kolensis</i>		4,945	4,0		4,0	19,781						
	<i>Cyclops vicinus</i>		25,568	2,0		4,0	102,272						
			15,154	2,0		2,0	30,308						
	<i>Mesocyclops leuckarti</i>		3,052						x				
			1,483			4,0	4,0	5,931					
<i>Thermocyclops crassus</i>													
	<i>Thermocyclops oithonoides</i>		1,696	6,0		6,0	10,177						
Sonstige:													
	Bivalvia: <i>Dreissena</i> -Larven		0,288								16,0	4,605	
	Diptera: <i>Chaoborus</i> -Larven												

Tab. VIII: Jahreszeitliches Auftreten, Abundanzen und Trockengewicht [TG] der Zooplankton-Taxa im Lanker See (flaches Becken)

Datum	Parameter	Taxon	Körper-TG µg	30.07.02			02.09.02			30.09.02		
				W	M	Sum	Abund. [n/l]	TG µg/l	W	M	Sum	Abund. [n/l]
<b>Protozoa</b>												
	<i>Gymnodinium helveticum</i>								x			
<b>Ciliata</b>												
	<i>Conodella cratera</i>						x					
	<i>Tintinnidium/Tintinnopsis</i> sp.	0,001		x					x			x
	Ciliata indet. (groß)	0,005		2900	13,253							
	Ciliata indet.	0,001		4100	4,920		x					x
<b>Rotatoria</b>												
	<i>Anuraeopsis fissa</i>	0,070					x					
	<i>Asplanchna priodonta</i>	0,475		28,0	13,303							
	<i>Brachionus angularis</i>	0,080										
	<i>Brachionus calyciflorus</i>											
	<i>Brachionus diversicornis</i>	0,150										
	<i>Collotheaca</i> sp.	0,025		16,0	0,400					16,0	0,400	
	<i>Conochilooides natans</i>											
	<i>Conochilus unicornis</i>	0,022		64,0	1,376		24,0	0,516		20,0	0,430	
	<i>Euchlanis</i> cf. <i>dilatata</i>	0,104		8,0	0,833							
	<i>Filiinia terminalis</i>											
	<i>Kerilcottia longispina</i>	0,011					24,0	0,274				
	<i>Keratella cochlearis</i>	0,003		128,0	0,422		272,0	0,898		288,0	0,950	
	<i>Keratella cochlearis</i> f. <i>tecta</i>	0,003		120,0	0,300		392,0	0,980		56,0	0,140	
	<i>Keratella quadrata</i>	0,075		8,0	0,600							
	<i>Keratella valga</i>											
	<i>Notholca</i> sp.											
	<i>Polyarthra dolichoptera/P. vulgaris</i>	0,053		32,0	1,693		16,0	0,846		24,0	1,270	
	<i>Pompholyx sulcata</i>	0,030		24,0	0,708		176,0	5,192		48,0	1,416	
	<i>Synchaeta</i> spp. (groß)											
	<i>Synchaeta</i> spp.											
	<i>Synchaeta</i> spp.	0,042		184,0	7,673		120,0	5,004		32,0	1,334	
	<i>Trichocerca capucina</i>	0,071					20,0	1,426				
	<i>Trichocerca pusilla</i>	0,007		32,0	0,224							
	<i>Trichocerca</i> cf. <i>porcellus</i>	0,034								40,0	1,344	
	<i>Trichocerca similis</i>	0,025		48,0	1,195		88,0	2,191		48,0	1,195	
<b>Cladocera</b>												
	<i>Bosmina coregoni</i>	1,540		4,0	6,160		37,0	56,980		101,0	155,540	
	<i>Bosmina longirostris</i>											
	<i>Chydorus sphaericus</i>	0,416		10,7	4,452		94,0	39,113		5,0	2,081	
	<i>Daphnia cucullata</i> & <i>Hybriden</i>	7,240		5,0	36,202		103,0	745,751		18,0	130,325	
	<i>Daphnia galeata</i> & <i>Hybriden</i>											
	<i>Daphnia hyalina</i> & <i>Hybriden</i>	35,345										
	<i>Daphnia longispina</i> -Komplex											
	<i>Diaphanosoma brachyurum</i>	3,000		2,0	6,000		x					
	<i>Leptodora kindtii</i>	1000,000		4,0	4000,000							
<b>Copepoda</b>												
	Nauplien	0,872		42,0	36,641		308,0	268,699		81,0	70,664	
	<i>Caenoida</i>											
	Copepodide	3,488					5,0	17,442		7,0	24,419	
	<i>Eudiaptomus gracilis</i>	8,244										
	<i>Eudiaptomus graciloides</i>	8,731	1,0	1,0	2,0	17,462	2,0	10,0	12,0	104,773	2,0	2,0
	<i>Cyclopoida</i>											
	Copepodide	0,767		10,0	7,672		32,0	24,550		79,0	60,609	
	<i>Acanthocyclops</i> cf. <i>robustus</i>											
		1,578										
	<i>Cyclops kolensis</i>											
	<i>Cyclops vicinus</i>											
	<i>Mesocyclops leuckarti</i>	3,052		x		8,0		8,0	24,417	2,0	2,0	6,104
		1,483				8,0		8,0	11,862			
	<i>Thermocyclops crassus</i>	2,484								2,0	2,0	4,968
		1,293										
	<i>Thermocyclops oithonoides</i>	1,696	2,0	2,0	3,392	6,0		6,0	10,177			
	Sonstige:											
	Bivalvia: Dreissena-Larven	0,288		16,0	4,605							
	Diptera: Chaoborus-Larven											

**Tab. VIII:** Jahreszeitliches Auftreten, Abundanzen und Trockengewicht [TG] der Zooplankton-Taxa im Lanker See (flaches Becken)

Datum	Parameter	Taxon	Körper-TG µg	23.10.02			14.11.02		
				W	M	Sum	Abund. [n/l]	TG µg/l	W
<b>Protozoa</b>									
	<i>Gymnodinium helveticum</i>								
<b>Ciliata</b>									
	<i>Codonella cratera</i>								
	<i>Tintinnidium/Tintinnopsis</i> sp.		0,001				2691	2,583	
	Ciliata indel. (groß)		0,005		2350	10,740	5380	24,587	
	Ciliata indet.		0,001		6730	8,076	5045	6,054	
<b>Rotatoria</b>									
	<i>Anuraeopsis fissa</i>								
	<i>Asplanchna priodonta</i>								
	<i>Brachionus angularis</i>								
	<i>Brachionus calyciflorus</i>		0,641		x		13,3	8,528	
	<i>Brachionus diversicornis</i>						x		
	<i>Collotheaca</i> sp.								
	<i>Conochilooides natans</i>								
	<i>Conochilus unicornis</i>		0,022						
	<i>Euchlanis</i> cf. <i>dilatata</i>								
	<i>Filinia terminalis</i>								
	<i>Kellicottia longispina</i>		0,011		x				
	<i>Keratella cochlearis</i>		0,003		496,0	1,637	336,0	1,109	
	<i>Keratella cochlearis</i> f. <i>tecta</i>		0,003		32,0	0,080	24,0	0,060	
	<i>Keratella quadrata</i>								
	<i>Keratella valga</i>								
	<i>Notholca</i> sp.								
	<i>Polyarthra dolichoptera/P. vulgaris</i>		0,053						
	<i>Pompholyx sulcata</i>		0,030		56,0	1,652	60,0	1,770	
	<i>Synchaeta</i> spp. (groß)								
	<i>Synchaeta</i> spp.								
	<i>Synchaeta</i> spp.		0,042		80,0	3,336	48,0	2,002	
	<i>Trichocerca capucina</i>								
	<i>Trichocerca pusilla</i>		0,007						
	<i>Trichocerca</i> cf. <i>porcellus</i>		0,034		12,0	0,403			
	<i>Trichocerca similis</i>		0,025		8,0	0,199			
<b>Cladocera</b>									
	<i>Bosmina coregoni</i>		1,849		43,0	79,498	25,0	46,220	
	<i>Bosmina longirostris</i>		0,606				2,0	1,211	
	<i>Chydorus sphaericus</i>		0,416		6,0	2,497	1,0	0,416	
	<i>Daphnia cucullata</i> & Hybriden		8,132		21,0	170,770	17,0	138,242	
	<i>Daphnia galeata</i> & Hybriden						1,0	35,345	
	<i>Daphnia hyalina</i> & Hybriden		35,345						
	<i>Daphnia longispina</i> -Komplex								
	<i>Diaphanosoma brachyurum</i>		3,000		1,0	3,000			
	<i>Leptodora kindtii</i>								
<b>Copepoda</b>									
	Nauplien		0,872		22,0	19,193	8,0	6,979	
	Calanoida								
	Copepodide		3,488		7,0	24,419			
	<i>Eudiaptomus gracilis</i>		8,244						
	<i>Eudiaptomus graciloides</i>		8,731	4,0	8,0	69,849	7,0	4,0	11,0
	Cyclopoida		1,026		17,0	17,439			96,042
	Copepodide						11,0	11,284	
	<i>Acanthocyclops</i> cf. <i>robustus</i>		1,578						
	<i>Cyclops kolensis</i>		4,945	1,0	1,0	4,945			
	<i>Cyclops vicinus</i>								
<i>Mesocyclops leuckarti</i>									
	<i>Thermocyclops crassus</i>		2,484						
	<i>Thermocyclops oithonoides</i>								
Sonstige:									
	Bivalvia: Dreissena-Larven								
	Diptera: Chaoborus-Larven								

**Tab. IX: Prozentanteile (Individuen) der Rotatoria und Crustacea am Zooplankton und der jeweiligen Arten am Rotatoria-Plankton bzw. Crustacea-Plankton im Kleinen Plöner See und im Lanker See.**

Kleiner Plöner See, tiefste Stelle Taxon	Jan	Feb	Mär	Apr	Mai	Jun	Jul	Aug	Sep	Okt	Dez
	Prozentualer Anteil [%]										
<b>Rotatorien</b>	18	12	34	71	49	82	72	66	49	73	61
<i>Asplanchna priodonta</i>				1	<1		1				
<i>Brachionus angularis</i>					2						
<i>Brachionus calyciflorus</i>			8	6							2
<i>Brachionus diversicornis</i>									5		
<i>Collotheaca spp.</i>				1			2	1		1	
<i>Conochiloides natans</i>	29	39	9	<1							
<i>Conochilus unicornis</i>			4	12	3	10	20				2
<i>Euchlanis cf. dilatata</i>						14					
<i>Filinia longiseta inkl. var. limnetica</i>				<1				2			
<i>Filinia terminalis</i>		<1	17	8	12						
<i>Kellicottia longispina</i>				4	4	5	3	1			
<i>Keratella cochlearis</i>	71		26	9	63	33	44	75	30	79	79
<i>Keratella cochlearis f. tecta</i>							8	12	13	10	8
<i>Keratella quadrata</i>				3	18	2	1	1		2	4
<i>Notholca sp.</i>	29		13	1							
<i>Notholca acuminata</i>	29										
<i>Polyarthra dolichoptera/ P. vulgaris</i>		<1		14		4	7	3	7	1	
<i>Pompholyx sulcata</i>									8	6	5
<i>Synchaeta spp. (groß)</i>				7							
<i>Synchaeta spp.</i>		23	34			28	6		13		
<i>Trichocerca sp.</i>							<1				
<i>Trichocerca capucina</i>							4	1		1	
<i>Trichocerca pusilla</i>											
<i>Trichocerca cf. porcellus</i>							5				
<i>Trichocerca similis</i>						5	2	3	23		
<b>Crustacea (ohne Nauplien)</b>	70	68	18	19	23	7	20	16	29	22	33
<i>Bosmina coregoni</i>	38	17	24	15	4	2	2	3	6	28	42
<i>Bosmina longirostris</i>	15	15		6	3						10
<i>Ceriodaphnia sp.</i>									<1		
<i>Chydorus sphaericus</i>				3	1			28		3	
<i>Daphnia cucullata &amp; Hybriden</i>				<1	8	4			23	34	29
<i>Daphnia galeata &amp; Hybriden</i>	7	2	.5	<1	2						
<i>Daphnia hyalina &amp; Hybriden</i>					21	30					
<i>Daphnia longispina-Komplex</i>	7	2		7		18	<1				
<i>Diaphanosoma brachyurum</i>								1	4	1	
<i>Leptodora kindtii</i>											
<i>Cal. Copepodide</i>	2	4	7	11	32	18	8	13	20	8	2
<i>Eudiaptomus gracilis</i>		6		<1	4				1		2
<i>Eudiaptomus graciloides</i>	2	3	3	<1	6	4	11	24	5	4	10
<i>Cycl. Copepodide</i>	27	39	38	53	15	21	53	19	40	20	6
<i>Cyclops sp.</i>										<1	
<i>Cyclops kolensis</i> , Weibchen	1	8	14	1						1	
Männchen		8	10	1							
<i>Diacyclops bicuspatus</i> , Weibchen					<1						
Männchen											
<i>Mesocyclops leuckarti</i> , Weibchen				1	<1		5	1	1		
Männchen					<1			9	6		
<i>Thermocyclops crassus</i> , Weibchen										1	
Männchen											
<i>Thermocyclops oithonoides</i> , Weibchen				1	4	4	6	2	<1		
Männchen					1	1		6	2		

Tab. IX

Lanker See, tiefste Stelle Taxon	Jan	Feb	Mär	Apr	Mai	Jun	Jul	Aug	Sep	Okt	Nov
	Prozentualer Anteil [%]										
<b>Rotatoria</b>	<b>20</b>	<b>18</b>	<b>55</b>	<b>66</b>	<b>47</b>	<b>97</b>	<b>77</b>	<b>40</b>	<b>76</b>	<b>80</b>	<b>84</b>
<i>Anuraeopsis fissa</i>								4			
<i>Asplanchna priodonta</i>				1		<1	2				
<i>Brachionus angularis</i>							1				
<i>Brachionus calyciflorus</i>				2							<1
<i>Brachionus diversicornis</i>								2			
<i>Collotheca sp.</i>							1	2	2		
<i>Conochiloides natans</i>	8	3									
<i>Conochilus unicornis</i>				11		18	14			1	1
<i>Euchlanis cf. dilatata</i>						<1	2				
<i>Filinia longisetia inkl. var. limnetica</i>				<1							
<i>Filinia terminalis</i>				9	6	15					
<i>Kellicottia longispina</i>	5		1	<1		1		<1			<1
<i>Keratella cochlearis</i>	25	16	8	9	60	44	21	20	52	67	83
<i>Keratella cochlearis f. tecta</i>						4	20	39	23	16	6
<i>Keratella quadrata</i>				4	16	1		3	4	1	3
<i>Keratella valga</i>	15				1						
<i>Notholca sp.</i>	10	8	6	1							
<i>Polyarthra dolichoptera/ P. vulgaris</i>	15	11	10	38	5			6			<1
<i>Pompholyx sulcata</i>							6	13	14	10	5
<i>Synchaeta spp. (groß)</i>			35	2	4						
<i>Synchaeta spp.</i>						25					
<i>Synchaeta spp.</i>	30	57	28	24			18	5	<1	2	1
<i>Trichocerca capucina</i>							1				
<i>Trichocerca pusilla</i>							7			1	
<i>Trichocerca cf. porcellus</i>						5			1		<1
<i>Trichocerca similis</i>						2	7	6	4		<1
<b>Crustacea (ohne Nauplien)</b>	<b>58</b>	<b>50</b>	<b>13</b>	<b>17</b>	<b>24</b>	<b>1</b>	<b>12</b>	<b>36</b>	<b>16</b>	<b>17</b>	<b>15</b>
<i>Bosmina coregoni</i>	29	39	21	23	29		1	9	28	39	67
<i>Bosmina longirostris</i>	18	17	16	6						1	1
<i>Chydorus sphaericus</i>					5	8	46	26	5	15	6
<i>Daphnia cucullata &amp; Hybriden</i>				<1	7		4	24	10	12	12
<i>Daphnia galeata &amp; Hybriden</i>		7									
<i>Daphnia hyalina &amp; Hybriden</i>				2	9	1	1				
<i>Daphnia longispina-Komplex</i>	9	<1	<1	5		5					<1
<i>Diaphanosoma brachyurum</i>									6		
<i>Leptodora kindtii</i>					2		<1	<1	<1		
<i>Cal. Copepodide</i>	3	10	1	2	27	42	4	2	10	2	1
<i>Eudiaptomus gracilis</i>	2	1	1						1		
<i>Eudiaptomus graciloides</i>	5	3	1		13	11	3	2	3	1	6
<i>Cycl. Copepodide</i>	19	9	48	61	6	28	36	27	35	28	6
<i>Acanthocyclops cf. robustus</i> , Weibchen									<1	1	
Männchen							2	2		2	
<i>Cyclops kolensis</i> , Weibchen	5	9	11	2							
Männchen	8	4	2								
<i>Cyclops vicinus</i> , Weibchen			<1								
Männchen	3										
<i>Diacyclops bicuspidatus</i> , Weibchen					<1						
Männchen											
<i>Mesocyclops leucarti</i> , Weibchen								3	1		
Männchen					1		5	1	1	<1	
<i>Thermocyclops crassus</i> , Weibchen								2		1	
Männchen								1			
<i>Thermocyclops oithonoides</i> , Weibchen					2	3	1				
Männchen											

Tab. IX

Lanker See, flaches Becken Taxon	Jan	Feb	Mär	Apr	Mai	Jun	Jul	Aug	Sep	Okt	Nov
	Prozentualer Anteil [%]										
<b>Rotatoria</b>	<b>20</b>	<b>32</b>	<b>32</b>	<b>68</b>	<b>30</b>	<b>98</b>	<b>89</b>	<b>65</b>	<b>66</b>	<b>84</b>	<b>86</b>
<i>Anuraeopsis fissa</i>								<1			
<i>Asplanchna priodonta</i>				<1		1	4				
<i>Brachionus angularis</i>					6	3					
<i>Brachionus calyciflorus</i>										<1	3
<i>Brachionus diversicornis</i>											
<i>Collotheca sp.</i>							2		3	<1	
<i>Conochiloides natans</i>				11	1						
<i>Conochilus unicornis</i>				13	14	6		19	9	2	3
<i>Euchlanis cf. dilatata</i>							1				
<i>Filinia terminalis</i>	<1	8	3	4							
<i>Kellicottia longispina</i>				<1	1	17			2		<1
<i>Keratella cochlearis</i>	67	17			6	67	34	18	24	50	73
<i>Keratella cochlearis f. tecta</i>							10	17	35	10	5
<i>Keratella quadrata</i>				<1	6	17	<1	1			
<i>Keratella valga</i>						1					
<i>Notholca sp.</i>				<1	<1						
<i>Polyarthra dolichoptera/ P. vulgaris</i>				11	37		<1	5	1	4	
<i>Pompholyx sulcata</i>								3	16	8	8
<i>Synchaeta spp. (groß)</i>				39	6						12
<i>Synchaeta spp.</i>						27					
<i>Synchaeta spp.</i>	33	63	17	29				27	11	6	12
<i>Trichocerca capucina</i>							2				
<i>Trichocerca pusilla</i>						<1	5				
<i>Trichocerca cf. porcellus</i>						8			7	2	
<i>Trichocerca similis</i>					<1	1	7	8	8	1	
<b>Crustacea (ohne Nauplien)</b>	<b>48</b>	<b>45</b>	<b>19</b>	<b>17</b>	<b>36</b>	<b>&lt;1</b>	<b>5</b>	<b>18</b>	<b>25</b>	<b>13</b>	<b>12</b>
<i>Bosmina coregoni</i>	48	39	47	13	22		10	12	47	41	37
<i>Bosmina longirostris</i>	17	21	5	4							3
<i>Chydorus sphaericus</i>					1	<1	26	31	2	6	1
<i>Daphnia cucullata &amp; Hybriden</i>				3	5		12	34	8	20	25
<i>Daphnia galeata &amp; Hybriden</i>		6									
<i>Daphnia hyalina &amp; Hybriden</i>						18	<1				1
<i>Daphnia longispina-Komplex</i>	<1			<1				5	<1		1
<i>Diaphanosoma brachyurum</i>								5			
<i>Leptodora kindtii</i>						1	9	10			
<i>Cal. Copepodide</i>	3	5	11	5	11	59		2	3	7	
<i>Eudiaptomus gracilis</i>	3	3	3	<1	9						
<i>Eudiaptomus graciloides</i>	3	3	2	<1	27	<1	5	4	1	8	16
<i>Cycl. Copepodide</i>	14	16	17	59	6	34	24	10	37	16	16
<i>Acanthocyclops cf. robustus</i> , Weibchen											
Männchen				<1							
<i>Cyclops kolensis</i> , Weibchen		2	11	2							1
Männchen	7	5	3								
<i>Cyclops vicinus</i> , Weibchen				2							
Männchen	3		2	1							
<i>Mesocyclops leuckarti</i> , Weibchen					<1		<1	3	1		
Männchen					2			3			
<i>Thermocyclops crassus</i> , Weibchen									1		
Männchen											
<i>Thermocyclops oithonoides</i> , Weibchen					3		5	2			
Männchen					4		2	1			